

ВИЩИЙ ДЕРЖАВНИЙ НАВЧАЛЬНИЙ ЗАКЛАД УКРАЇНИ
УКРАЇНСЬКА МЕДИЧНА СТОМАТОЛОГІЧНА АКАДЕМІЯ
Кафедра патологічної анатомії з секційним курсом



Старченко І.І., Филенко Б.М.,
Ройко Н.В., Прилуцький О.К.

АТЛАС ПАТОЛОГІЧНОЇ ГІСТОЛОГІЇ

АТЛАС ПАТОЛОГИЧЕСКОЙ ГИСТОЛОГИИ

ATLAS of PATHOLOGICAL HISTOLOGY

Полтава 2017

Атлас патологічної гістології / І.І. Старченко, Б.М.Филенко Н.В. Ройко, О.К. Прилуцький // ВДНЗУ «УМСА». – Полтава, 2017. – 150 с.

Рецензенти:

Шепітько В.І. – д.мед.н., професор, завідувач кафедри гістології, цитології та ембріології ВДНЗУ «УМСА»

Дубінін С.І. – д.мед.н., професор, завідувач кафедри медичної біології ВДНЗУ «УМСА»

Атлас призначений для студентів медичних та стоматологічних факультетів вищих медичних навчальних закладів III-IV рівнів акредитації. В атласі подано гістологічні препарати із загальної та спеціальної патоморфології з коротким їх описанням, що допоможе студенту засвоїти знання з патоморфології. В навчальному посібнику 135 рисунків.

Атлас предназначен для студентов медицинских и стоматологических факультетов высших медицинских учебных заведений III-IV уровней аккредитации. В атласе представлены гистологические препараты из общей и специальной патоморфологии с кратким их описанием, что поможет студенту усвоить знания по патоморфологии. В учебном пособии 135 рисунков.

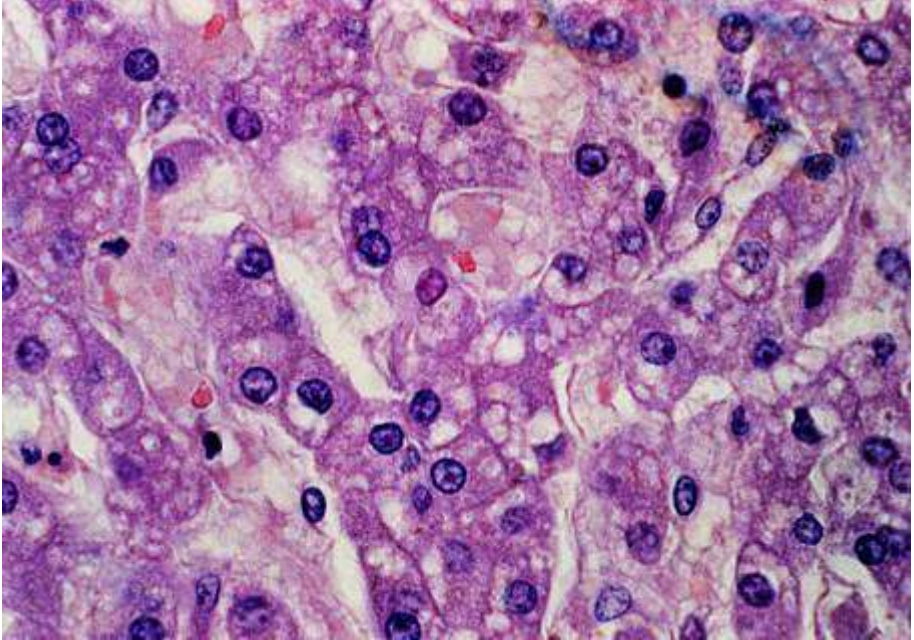
The atlas is intended for students of medical and dental faculties of higher medical schools of III-IV levels of accreditation. Histological preparations from general and special pathomorphology with a brief description of them are in the atlas, which will help to students get acquire knowledge of pathomorphology. There are 135 figures in the atlas.

ЗАГАЛЬНА
ПАТОМОРФОЛОГІЯ

ОБЩАЯ
ПАТОМОРФОЛОГИЯ

GENERAL
PATHOMORPHOLOGY

Гідропічна дистрофія печінки
Гидропическая дистрофия печени
Hydropic dystrophy of the liver



Забарвлення гематоксилином і еозином

Окраска гематоксилином и эозином

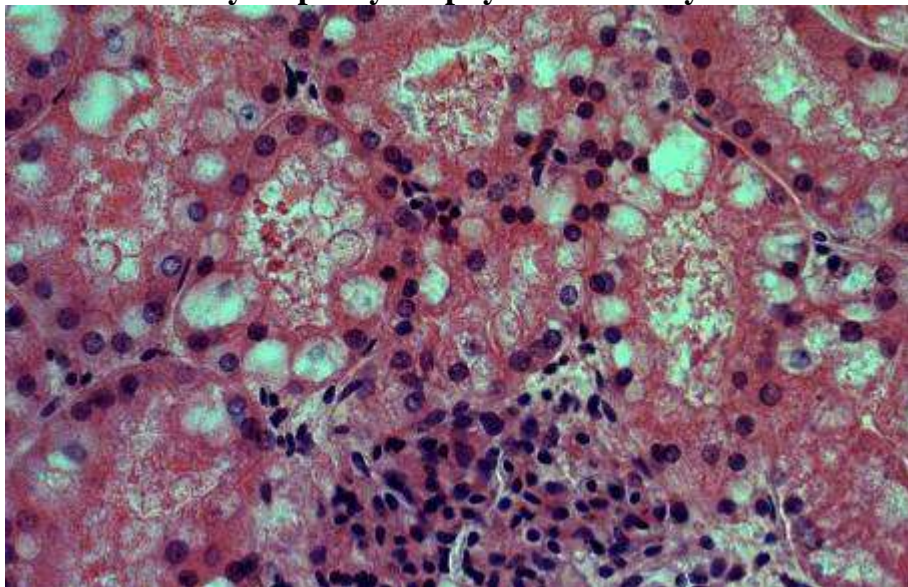
Staining with hematoxylin and eosin

В цитоплазмі гепатоцитів містяться прозорі вакуолі різних розмірів, заповнені цитоплазматичною рідиною.

В цитоплазме гепатоцитов содержатся прозрачные вакуоли разных размеров, заполненные цитоплазматической жидкостью.

The cytoplasm of hepatocytes contains transparent vacuoles of various sizes, filled with cytoplasmic fluid.

Гідропічна дистрофія нирки
Гидропическая дистрофия почки
Hydropic dystrophy of the kidney



Забарвлення гематоксилином і еозином

Окраска гематоксилином и эозином

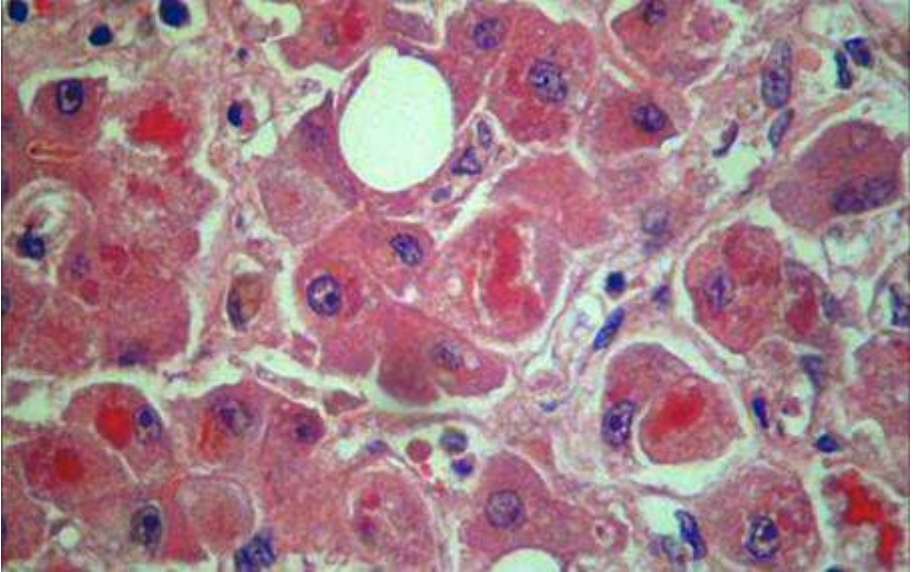
Staining with hematoxylin and eosin

Клітини епітелію каналців (нефротелію) збільшені, набряклі, контури їх розмиті. В цитоплазмі клітин визначаються прозорі вакуолі різних розмірів, заповнені цитоплазматичною рідиною.

Клетки эпителия канальцев (нефротелия) увеличены, набухшие, контуры их размыты. В цитоплазме клеток определяются прозрачные вакуоли различных размеров, заполненные цитоплазматической жидкостью.

Epithelial cells of the kidney tubules are enlarged, swollen, their contours are blurred. In cytoplasm of cells, transparent vacuoles of different sizes, filled with cytoplasmic fluid are determined.

Гіаліново-крапельна дистрофія печінки
Гиалиново-капельная дистрофия печени
Hyaline-droplet dystrophy of the liver



Забарвлення гематоксилином і еозином

Окраска гематоксилином и еозином

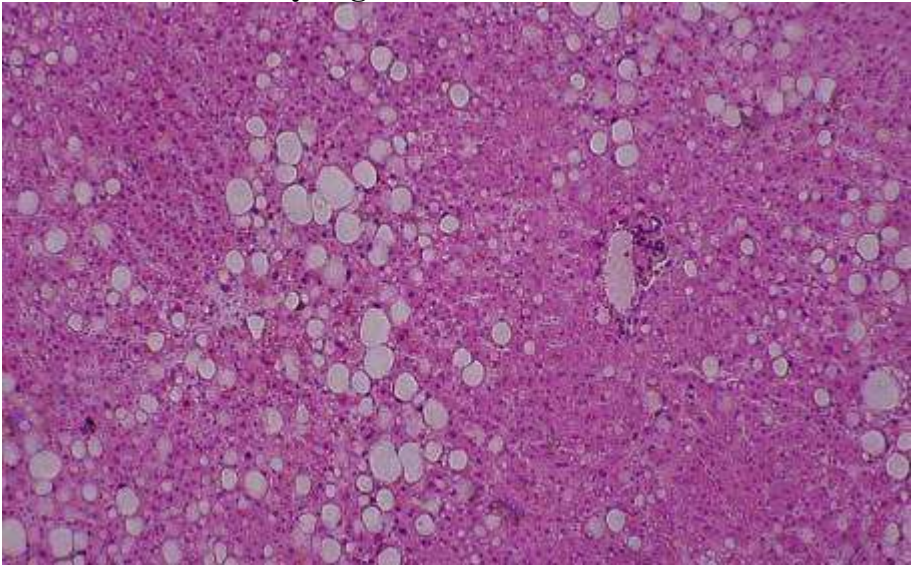
Staining with hematoxylin and eosin

Гепатоцити містять рожеві краплеподібні включення (тільца Меллорі).

Гепатоциты содержат розовые каплевидные включения (тельца Мэллори).

Hepatocytes contain pink inclusions (Mallory's body).

Жирова дистрофія печінки
Жировая дистрофия печени
Fatty degeneration of the liver



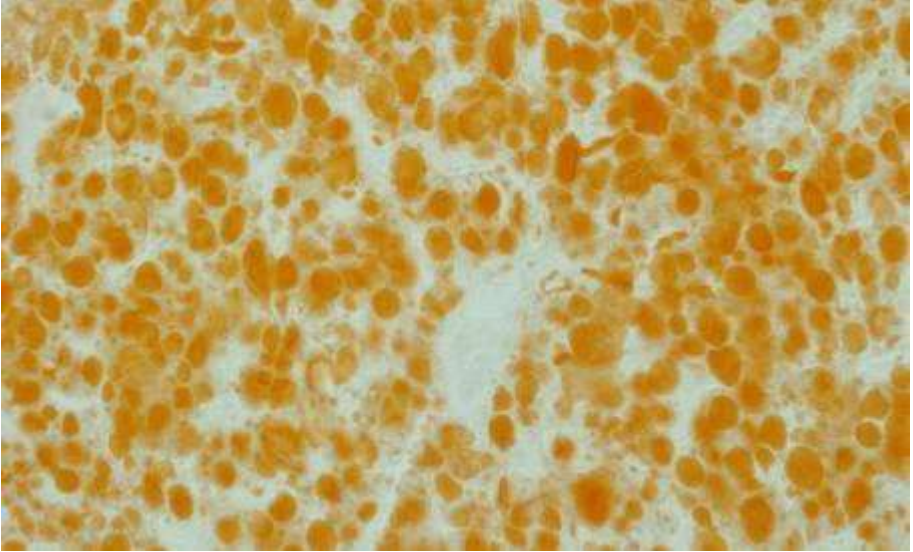
Забарвлення гематоксиліном і еозином
Окраска гематоксилином и еозином
Staining with hematoxylin and eosin

На периферії (переважно) і в центрах печінкових часточок виявляються гепатоцити, в цитоплазмі яких містяться оптично порожні вакуолі різних розмірів. Крупні вакуолі в окремих гепатоцитах відтісняють ядро до периферії («каблучкоподібні» клітини).

На периферии (преимущественно) и в центрах печеночных долек определяются гепатоциты, в цитоплазме которых содержатся оптически пустые вакуоли разных размеров. Крупные вакуоли в отдельных гепатоцитах оттесняют ядро на периферию («перстневидные» клетки).

On the periphery (mainly) and in the centers of the hepatic lobules there are hepatocytes with optically empty vacuoles of different sizes in the cytoplasm. Large vacuoles in individual hepatocytes push the nucleus to the periphery ("ring" cells).

Жирова дистрофія печінки
Жировая дистрофия печени
Fatty degeneration of the liver



Забарвлення суданом III

Окраска суданом III

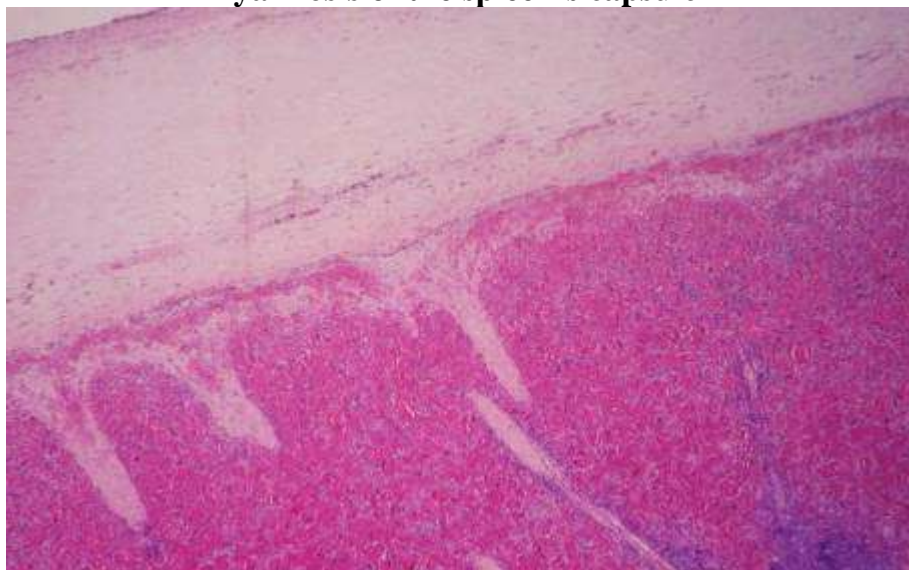
Staining with sudan III

В цитоплазмі гепатоцитів краплі жиру різних розмірів, які забарвлюються в жовто-помаранчевий колір.

В цитоплазме гепатоцитов капли жира различных размеров, которые окрашиваются в желто-оранжевый цвет.

in the cytoplasm of hepatocytes there are droplets of fat of various sizes, which are painted in a yellow-orange color.

Гіаліноз капсули селезінки
Гиалиноз капсулы селезінки
Hyalinosis of the spleen's capsule



Забарвлення гематоксилином і еозином

Окраска гематоксилином и еозином

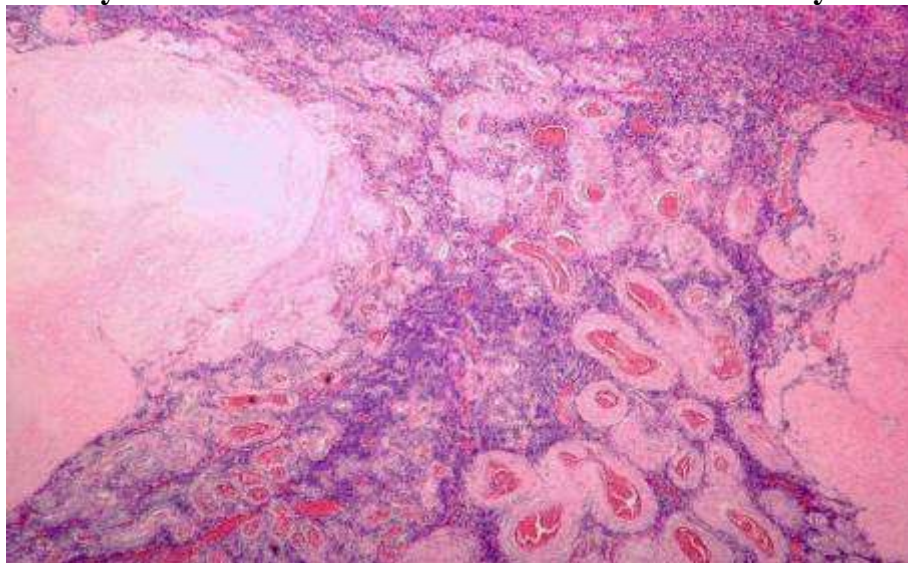
Staining with hematoxylin and eosin

Капсула селезінки значно потовщена за рахунок відкладення гомогенних еозинофільних речовин. Паренхіма не змінена.

Капсула селезенки значительно утолщена за счет отложения гомогенных эозинофильных веществ. Паренхима не изменена.

The spleen capsule is significantly thickened by the deposition of homogeneous eosinophilic substances. Parenchyma is not changed.

Гіаліноз артерій та білих тіл у яєчниках
Гиалиноз артерий и белых тел в яичнике
Hyalinosis of arteries and white bodies in the ovary



Забарвлення гематоксилином і еозином

Окраска гематоксилином и еозином

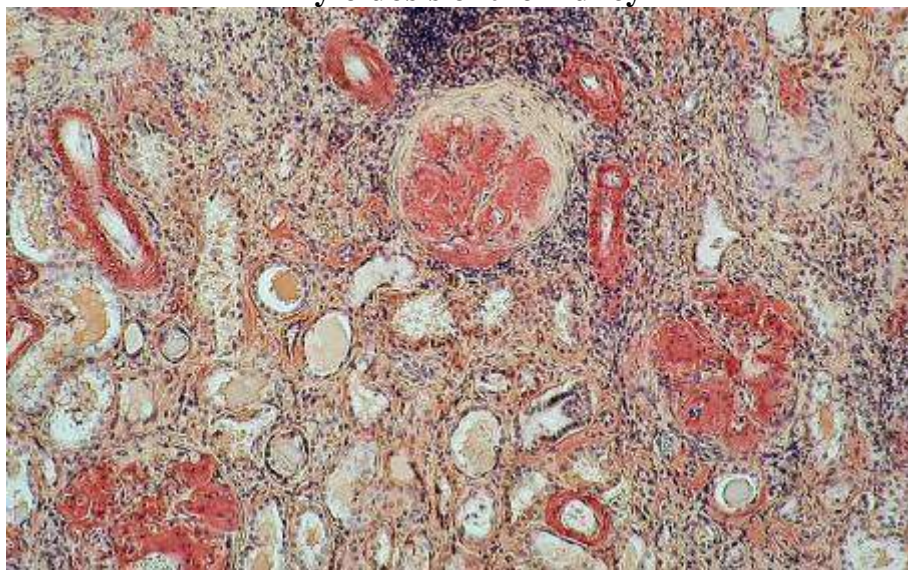
Staining with hematoxylin and eosin

Стінки дрібних артерій різко потовщені, гомогенні, рожевого кольору. Просвіт їх звужений. Білі тіла мають вигляд гомогенних рожевих утворень.

Стенки мелких артерий резко утолщены, гомогенные, розового цвета. Просвет их сужен. Белые тела имеют вид гомогенных розовых образований.

The walls of small arteries are sharply thickened, homogeneous, pink in color. Their lumen is narrowed. White bodies have the appearance of homogeneous pink formations.

Амілоїдоз нирки
Амилоидоз почки
Amyloidosis of the kidney



Забарвлення конго-червоним

Окраска конго-красным

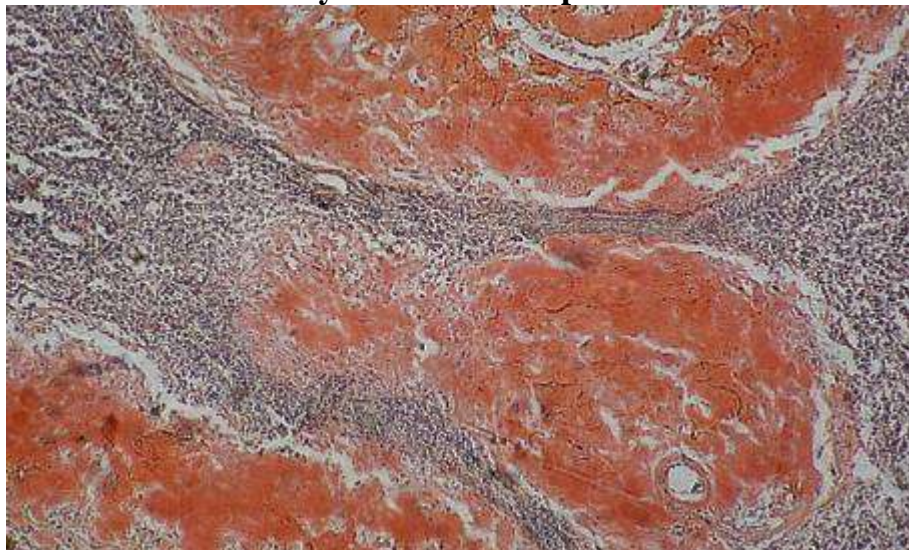
Staining with congo-red

Спостерігається відкладення амілоїду червоного кольору поміж петель капілярів у судинному клубочку, за ходом базальних мембран каналців та у стінках кровоносних судин.

Наблюдается отложение амилоида красного цвета между петель капилляров в сосудистом клубочке, по ходу базальных мембран канальцев и в стенках кровеносных сосудов.

There is a deposition of red amyloid between the capillary loops in the vascular glomerulus, along the basal membranes of the tubules and in the walls of the blood vessels.

Амілоїдоз селезінки
Амилоидоз селезінки
Amyloidosis of the spleen



Забарвлення конго-червоним

Окраска конго-красным

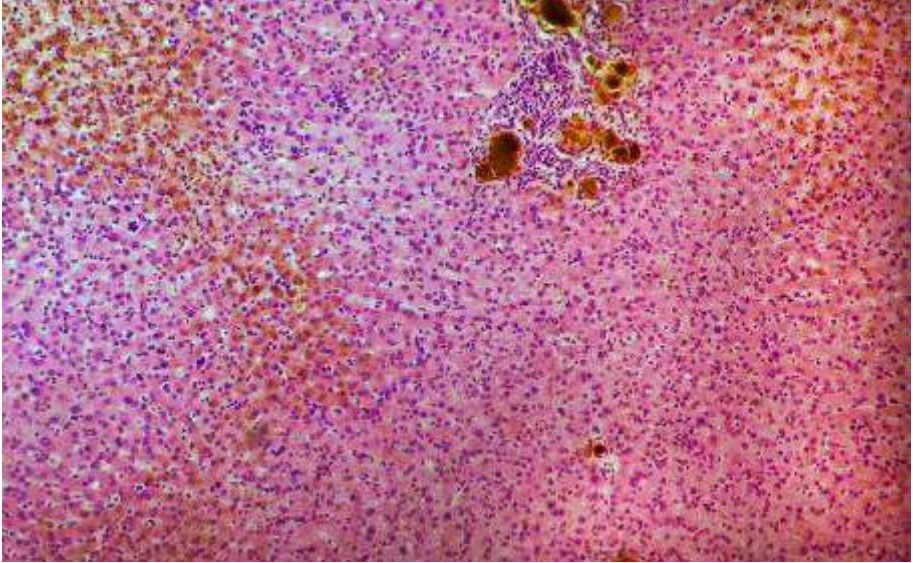
Staining with congo-red

Амілоїд відкладається в лімфатичних фолікулах. Амілоїдно-змінені фолікули збільшені, червоного кольору.

Амилоид откладывается в лимфатических фолликулах. Амилоидно-измененные фолликулы увеличены, красного цвета.

The amyloid is deposited in the lymphatic follicles. Amyloid-altered follicles are enlarged, red.

Печінка при обтураційній жовтяниці
Печень при обтурационной желтухе
Liver with obstructive jaundice



Забарвлення гематоксилином і еозином

Окраска гематоксилином и еозином

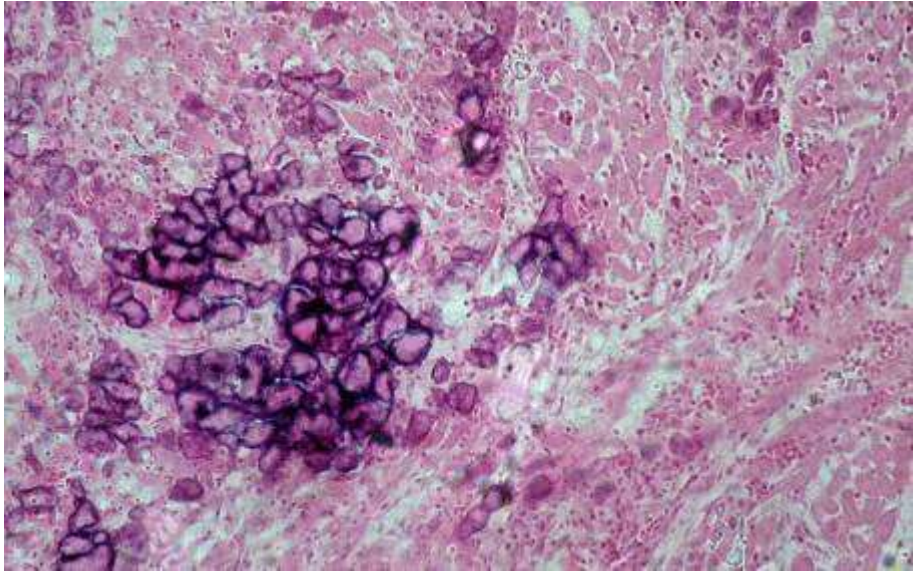
Staining with hematoxylin and eosin

Жовчні протоки та капіляри різко розширені, переповнені жовчю. В цитоплазмі окремих гепатоцитів спостерігається відкладення жовто-бурого пігменту (білірубіну).

Желчные протоки и капилляры резко расширены, переполнены желчью. В цитоплазме отдельных гепатоцитов наблюдается отложение желто-бурого пигмента (билирубина).

The bile ducts and capillaries are sharply enlarged, full of bile. The deposition of yellow-brown pigment (bilirubin) is observed in the cytoplasm of several hepatocytes.

Вапняні метастази у міокарді (метастатичне звапніння)
Известковые метастазы в миокарде (метастатическое
обызвествление)
Calcium metastases in the myocardium (metastatic
calcification)



Забарвлення гематоксиліном і еозином

Окраска гематоксилином и еозином

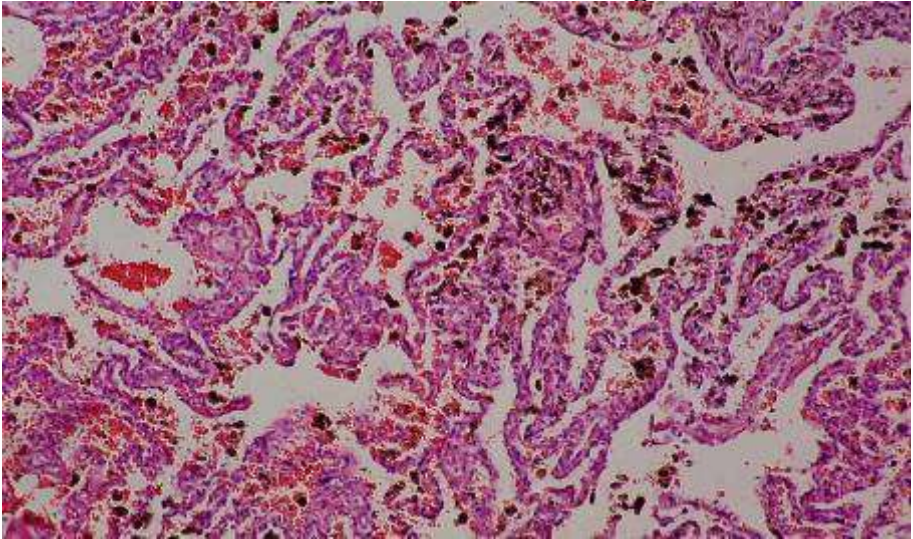
Staining with hematoxylin and eosin

В міокардіоцитах і стромі серця спостерігається відкладення солей кальцію у вигляді багаточисленних фіолетових утворень різних розмірів.

В миокардиоцитах и строме сердца наблюдается отложение солей кальция в виде многочисленных фиолетовых образований различных размеров.

Calcium salts in the form of numerous violet formations of various sizes are deposited in myocytes and stroma of the heart.

Бура індурація легень
Бурая индурация легких
Brown induration of the lung



Забарвлення гематоксиліном і еозином

Окраска гематоксилином и еозином

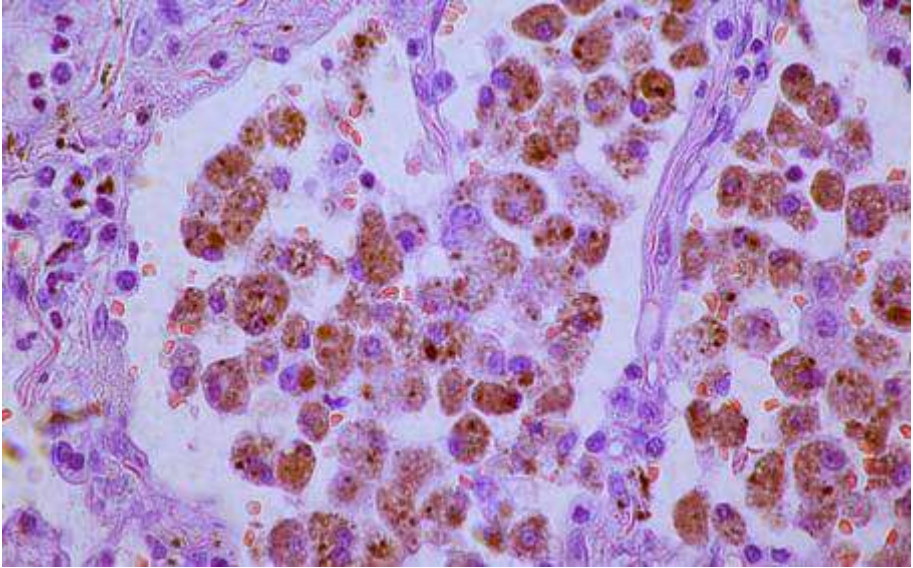
Staining with hematoxylin and eosin

В цитоплазмі клітин (сидеробластів, сидерофагів) і позаклітинно визначаються гранули бурого пігменту. Клітини з пігментом розташовуються в стромі легені і порожнинах альвеол. Міжальвеолярні перегородки потовщені, склерозовані. Судини легені повнокровні, розширені; крововиливи в міжальвеолярні перегородки.

В цитоплазме клеток (сидеробластов, сидерофагов) и внеклеточно определяются гранулы бурого пигмента. Клетки с пигментом располагаются в строме легкого и полостях альвеол. Межальвеолярные перегородки утолщены, склерозированы. Сосуды легкого полнокровные, расширенные; кровоизлияния в межальвеолярные перегородки.

Granules of brown pigment are determined in the cytoplasm of cells (sideroblasts, siderophages) and extracellular space. Pigmented cells are located in the lung stroma and the cavities of the alveoli. The interalveolar septa are thickened, sclerotized. Vessels of the lung are full-blooded, enlarged; there are hemorrhages in the interalveolar septa.

Бура індурація легень
Бурая индурация легких
Brown induration of the lung



Забарвлення гематоксилином і еозином

Окраска гематоксилином и еозином

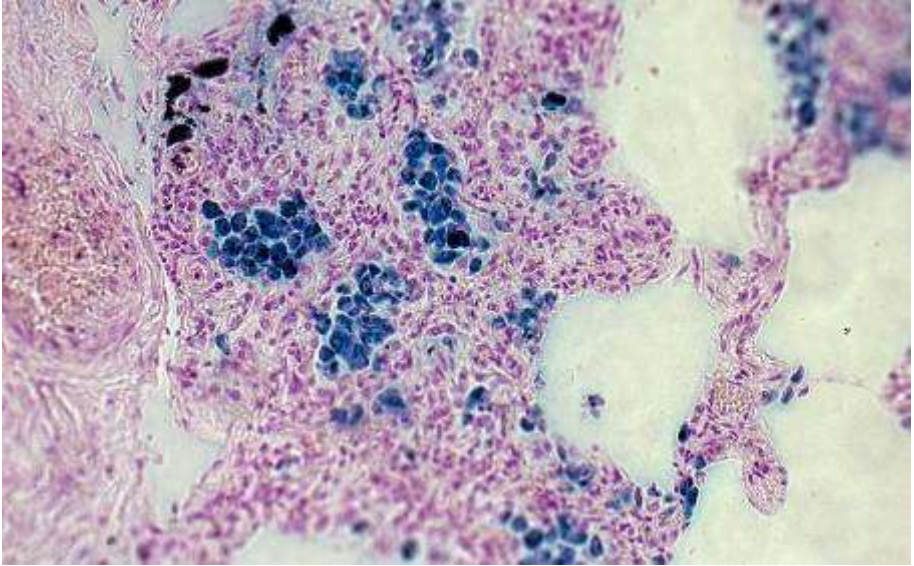
Staining with hematoxylin and eosin

При великому збільшенні в цитоплазмі клітин (сидеробластів, сидерофагів) виявляються гранули бурого пігменту (гемосидерину). Клітини з пігментом розташовуються в порожнинах альвеол.

При большом увеличении в цитоплазме клеток (сидеробластов, сидерофагов) определяются гранулы бурого пигмента (гемосидерина). Клетки с пигментом располагаются в полостях альвеол.

Granules of brown pigment (hemosiderin) are determined in the cytoplasm of cells (sideroblasts, siderophages). Pigmented cells are located in the cavities of the alveoli.

Бура індурація легень
Бурая индурация легких
Brown induration of the lung



Реакція Перлса

Реакция Перлса

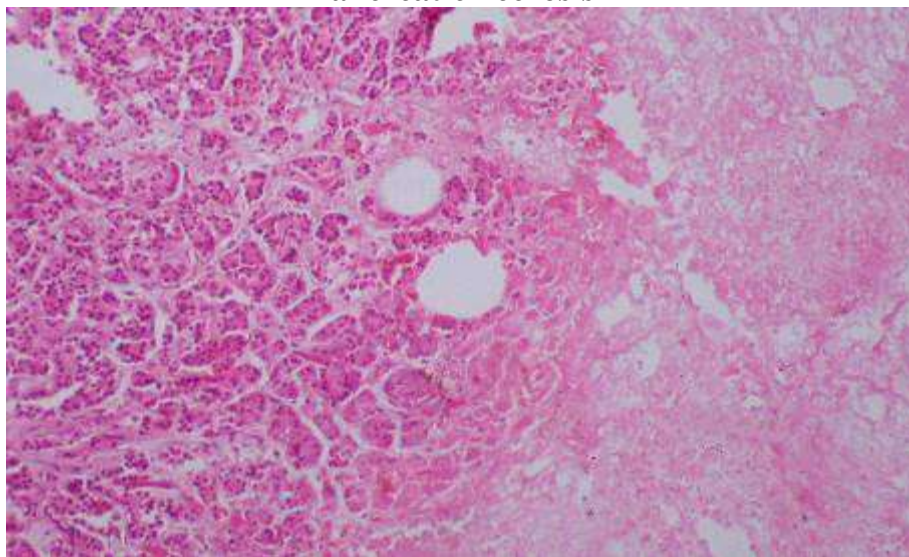
Perls reaction

В цитоплазмі клітин (сидеробластів і сидерофагів) пігмент гемосидерин забарвлюється у блакитний колір (утворення берлінської лазури).

В цитоплазме клеток (сидеробластов и сидерофагов) пигмент гемосидерин окрашивается в голубой цвет (образование берлинский лазури).

The pigment hemosiderin stains blue (the formation of Berlin's azure) in the cytoplasm of cells (sideroblasts and siderophages).

Панкреонекроз
Панкреонекроз
Pancreatic necrosis



Забарвлення гематоксиліном і еозином

Окраска гематоксилином и еозином

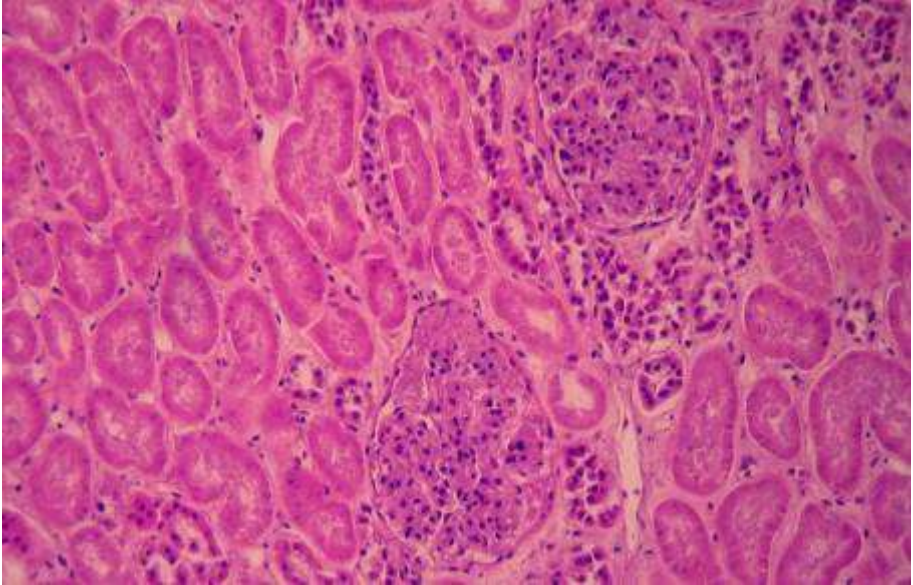
Staining with hematoxylin and eosin

Визначається безструктурна гомогенна еозинофільна ділянка, по периферії якої розташована збережена структура підшлункової залози.

Определяется бесструктурный гомогенный эозинофильный участок, по периферии которого расположена сохраненная структура поджелудочной железы.

An unstructured homogeneous eosinophilic region is defined, in the periphery of which the preserved structure of the pancreas is located.

Некроз епітелію каналців нирки
Некроз эпителия канальцев почки
Necrosis of the epithelium of the kidney's tubules



Забарвлення гематоксилином і еозином

Окраска гематоксилином и еозином

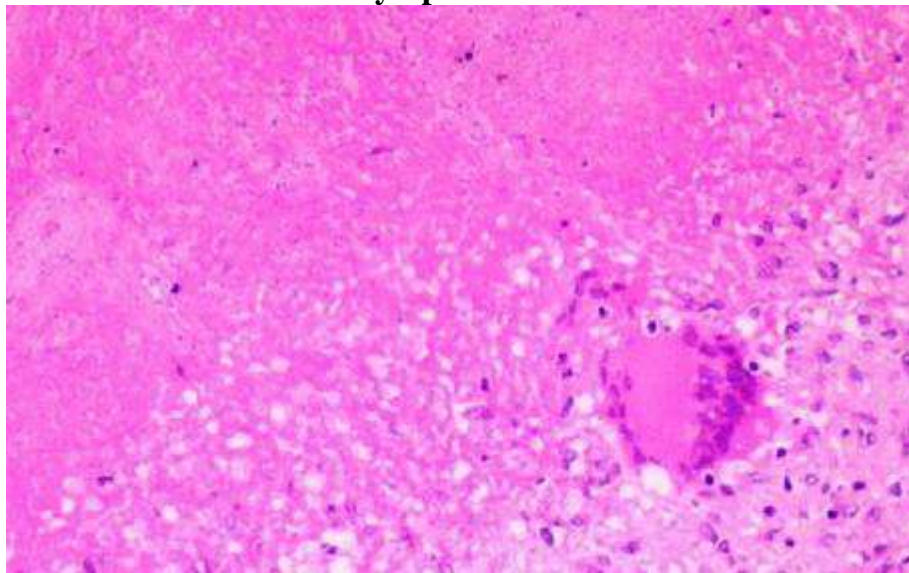
Staining with hematoxylin and eosin

При великому збільшенні в більшості епітеліоцитів каналців відсутні ядра (каріолізис), цитоплазма їх гомогенна, еозинофільна, люмінальні контури клітин не чіткі. Структура клубочків частково збережена.

При большем увеличении в большинстве эпителиоцитов канальцев отсутствуют ядра (кариолизис), цитоплазма их гомогенная, эозинофильная, люминальные контуры клеток не четкие. Структура клубочков частично сохранена.

At a large magnification there are no nuclei (karyolysis) in the majority of tubule epitheliocytes, their cytoplasm are homogeneous, eosinophilic, luminal contours of the cell are not clear. The structure of the glomeruli is partially preserved.

Некроз лімфовузла при туберкульозі
Некроз лимфоузла при туберкулезе
Necrosis of the lymph node in tuberculosis



Забарвлення гематоксилином і еозином

Окраска гематоксилином и еозином

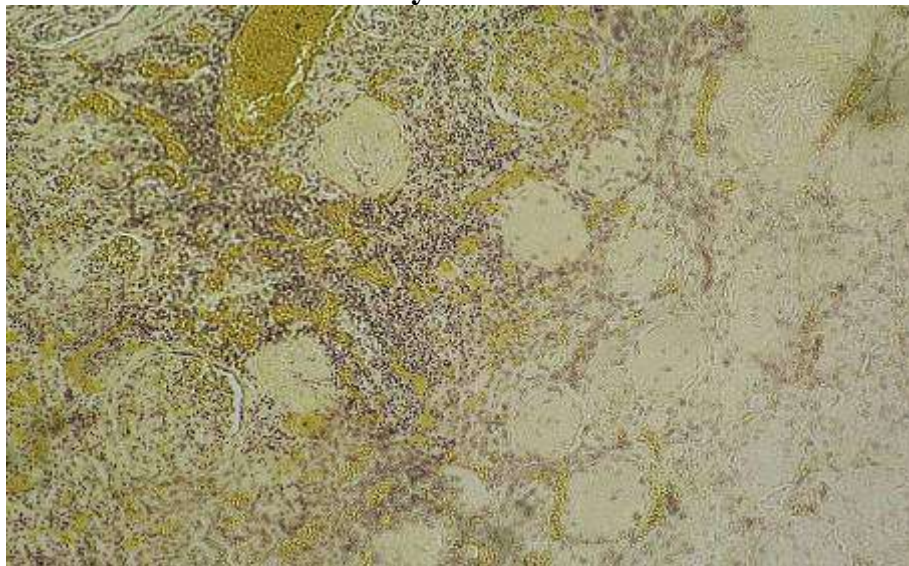
Staining with hematoxylin and eosin

Визначаються гомогенні рожеві маси тканинного детриту, навкруги якого інфільтрат із епітеліоїдних, лімфоїдних клітин та поодинокі клітини Пирогова-Лангханса.

Определяются гомогенные розовые массы тканевого детрита, вокруг которого инфильтрат из эпителиоидных, лимфоидных клеток и единичные клетки Пирогова-Лангханса.

The homogeneous pink masses of tissue detritus are determine, around which an infiltrate of epithelioid, lymphoid cells and single cells of Pirogov-Langhans.

Інфаркт нирки
Инфаркт почки
Kidney infarction



Забарвлення за Ван-Гізоном

Окраска по Ван-Гизону

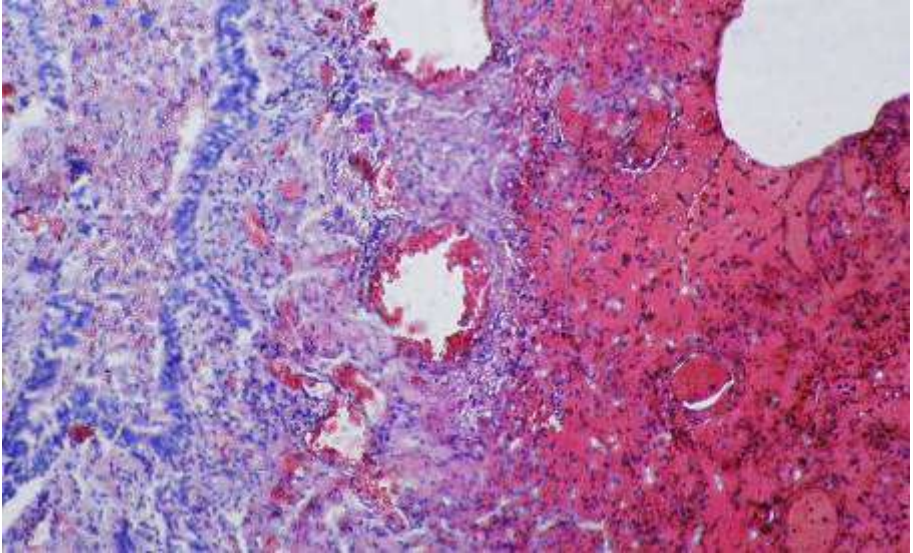
Van Gieson staining

Визначається безструктурна ділянка, на периферії якої розширені судини та діapedезні крововиливи, запальна інфільтрація.

Определяется бесструктурный участок, на периферии которого расширенные сосуды и диapedезные кровоизлияния, воспалительная инфильтрация.

An unstructured region is defined, on the periphery of which there are the dilated vessels and diapedemic hemorrhages, inflammatory infiltration.

Інфаркт легені
Инфаркт легкого
Lung infarction



Забарвлення гематоксиліном і еозином

Окраска гематоксилином и эозином

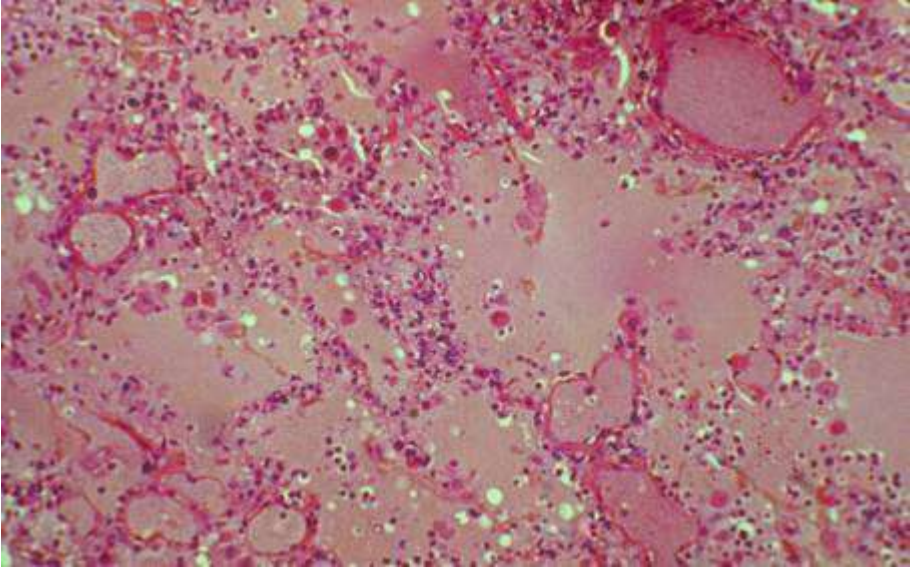
Staining with hematoxylin and eosin

У легені осередок некрозу, в якому спостерігається крововилив в порожнини альвеол. Міжальвеолярні перегородки зруйновані. В окремих кровоносних судинах – тромби.

В легком очаг некроза, в котором наблюдаются кровоизлияния в полости альвеол. Межальвеолярные перегородки разрушены. В отдельных кровеносных сосудах - тромбы.

There are foci of necrosis in a lung, with hemorrhages in the cavity of the alveoli are defined. The interalveolar septa are destroyed. Blood clots are in blood vessels.

Набряк легень
Отек легких
Pulmonary edema



Забарвлення гематоксилином і еозином

Окраска гематоксилином и эозином

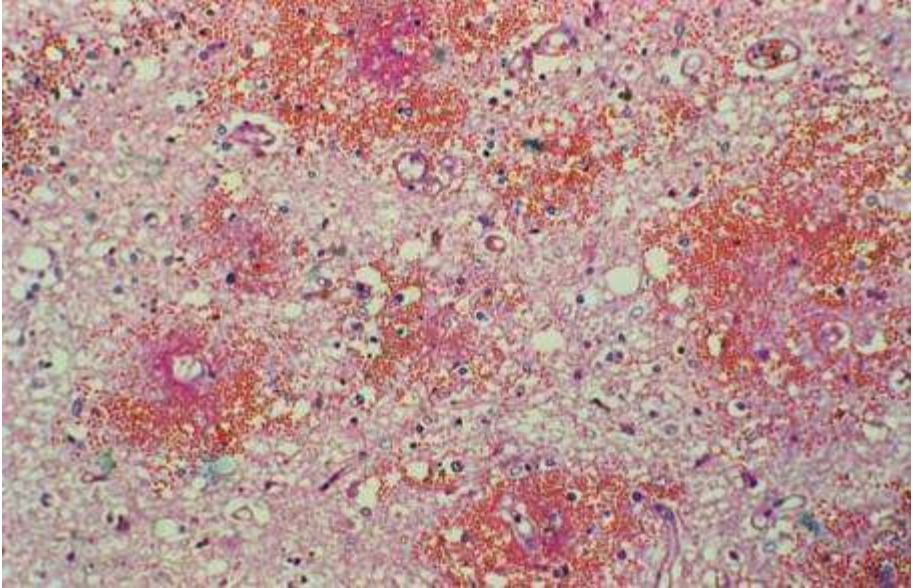
Staining with hematoxylin and eosin

В просвіті альвеол рожевого кольору набряковий вміст, поодинокі клітини. Кровоносні судини різко розширені з явищами повнокрів'я.

В просвете альвеол отечное содержимое розового цвета, единичные клетки. Кровеносные сосуды резко расширены с явлениями полнокровия.

Edematous contents of pink color, single cells are in the lumen of the alveoli. The blood vessels are sharply enlarged with the phenomena of plethora.

Крововиливи у головний мозок
Кровоизлияния в мозг
Hemorrhages in the brain



Забарвлення гематоксилином і еозином

Окраска гематоксилином и эозином

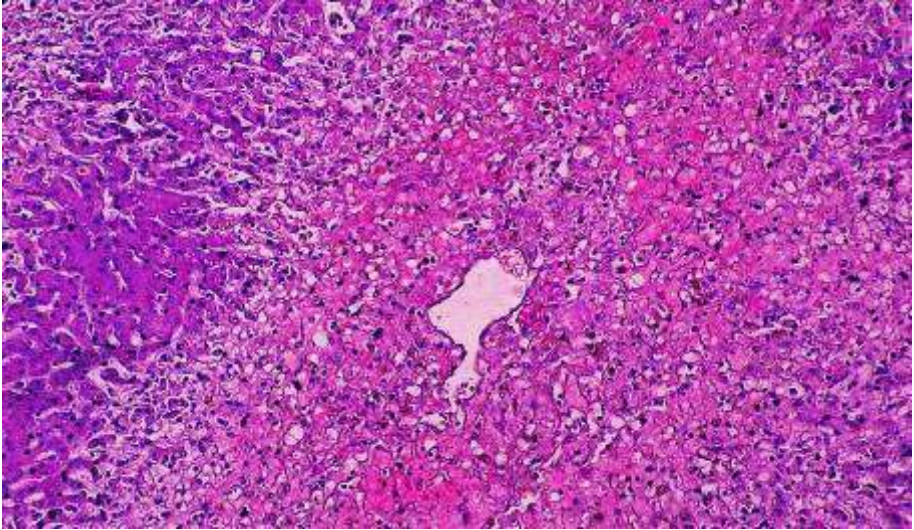
Staining with hematoxylin and eosin

Навколо кровоносних судин дрібновогнищеві скупчення еритроцитів, речовина мозку набрякла.

Вокруг кровеносных сосудов мелкоочаговые скопления эритроцитов, вещество мозга отечное.

Small foci of erythrocytes are around the blood vessels, the substance of the brain is swollen.

«Мускатна» печінка
«Мускатная» печень
Nutmeg liver



Забарвлення гематоксиліном і еозином

Окраска гематоксилином и эозином

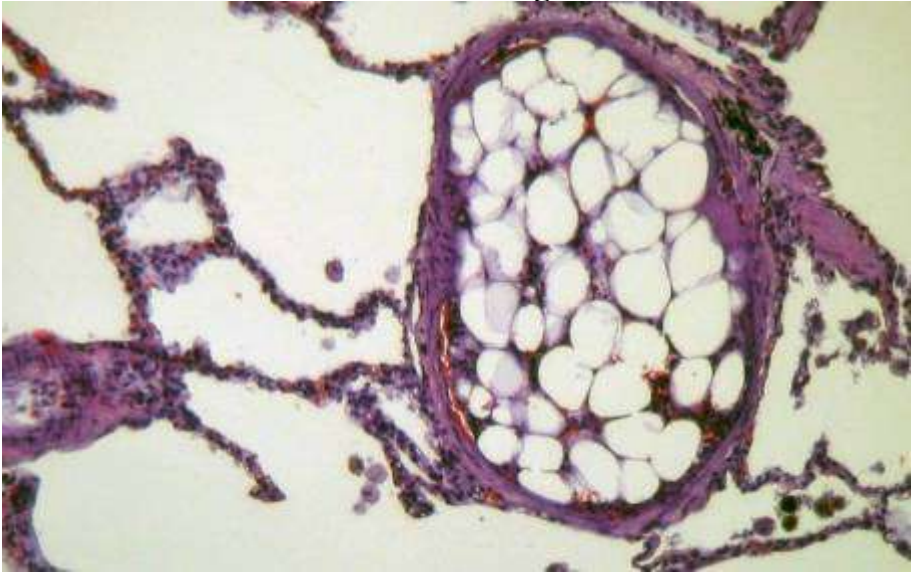
Staining with hematoxylin and eosin

Центральні вени різко розширені. В центрах часточок синусоїдні капіляри розширені, заповнені кров'ю. Печінкові балки, що знаходяться між ними, навпаки, звужені (атрофія від тиску), місцями не визначаються зовсім. По периферії часточок застій виражений значно слабше, печінкові балки і капіляри мають звичайний вигляд, гепатоцити з явищами жирової дістрофії.

Центральные вены резко расширены. В центрах долек синусоидные капилляры расширены, заполнены кровью. Печеночные балки, находящиеся между ними, наоборот, сужены (атрофия от давления), местами не определяются вовсе. По периферии долек застой выражен значительно слабее, печеночные балки и капилляры имеют обычный вид, гепатоциты с явлениями жировой дистрофии.

The central veins are greatly expanded. In the centers of the lobules the sinusoidal capillaries are dilated, filled with blood. Hepatic beams located between them, are narrowed (atrophy from pressure), some of them are not determined at all. On the periphery of the lobes the congestion is much less pronounced, the liver beams and capillaries have a normal appearance, hepatocytes with the phenomena of fatty dystrophy.

Жирова емболія судин легені
Жировая эмболия сосудов легкого
Fat embolism of lung vessels



Забарвлення гематоксилином і еозином

Окраска гематоксилином и эозином

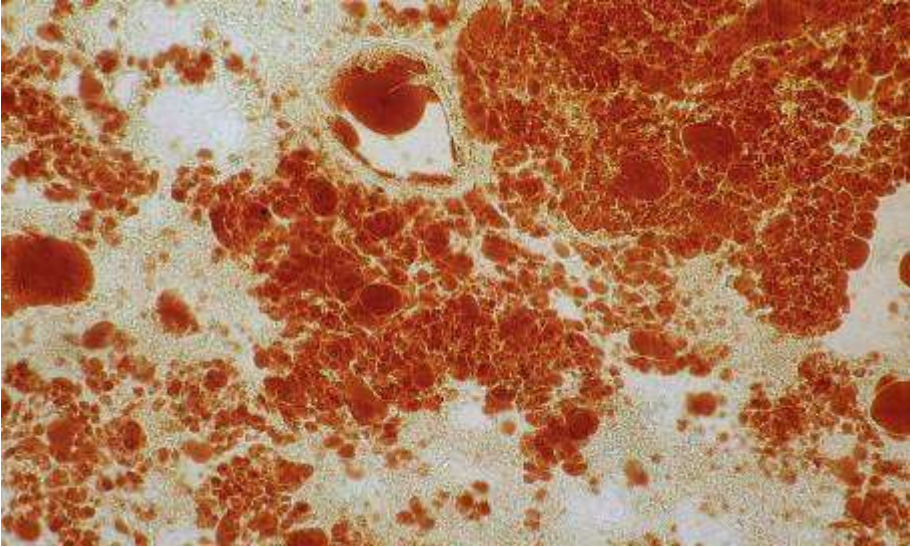
Staining with hematoxylin and eosin

Просвіт кровоносної судини заповнений жировими клітинами, цитоплазма яких має "оптично порожній" вигляд.

Просвет кровеносного сосуда заполнен жировыми клетками, цитоплазма которых имеет "оптически пустой" вид.

The lumen of the blood vessel is filled with fat cells, the cytoplasm of which has an "optically empty" appearance.

Жирова емболія судин легені
Жировая эмболия сосудов легкого
Fat embolism of lung vessels



Забарвлення суданом III

Окраска суданом III

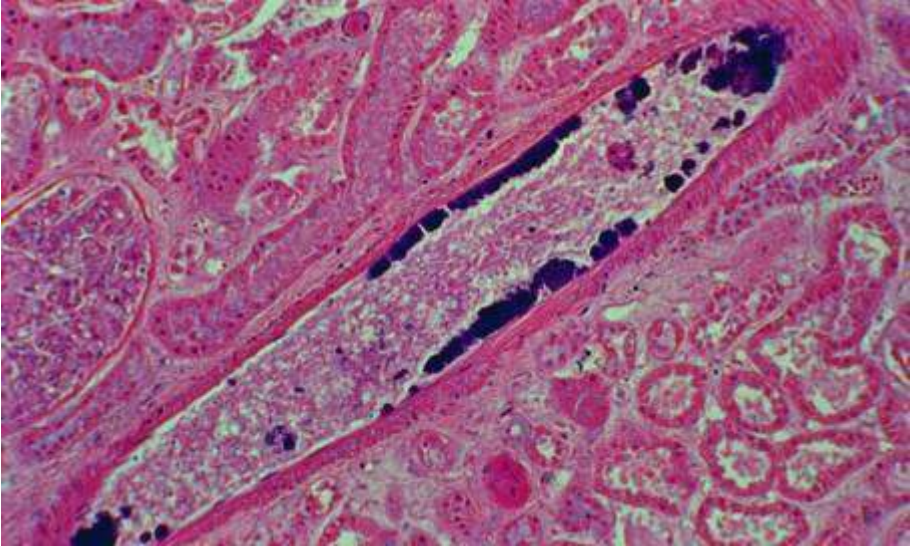
Staining with sudan III

Більшість кровоносних судин легені заповнена краплями жиру, які пофарбовані в червоно-помаранчевий колір.

Большинство кровеносных сосудов легкого заполнено каплями жира, которые окрашены в красно-оранжевый цвет.

Most of the blood vessels of the lung are filled with fat drops, painted in red-orange.

Мікробна емболія судин нирки
Микробная эмболия сосудов почки
Microbial embolism of kidney vessels



Забарвлення гематоксилином і еозином

Окраска гематоксилином и эозином

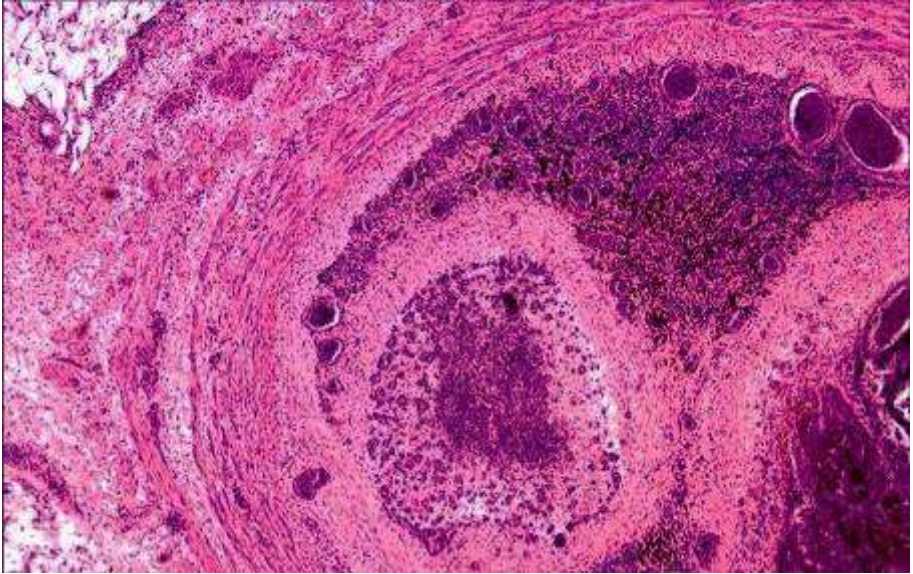
Staining with hematoxylin and eosin

В кровоносній судині пристінково визначаються базофільні гомогенні маси – колонії мікроорганізмів.

В кровеносном сосуде пристеночно определяются базофильные гомогенные массы - колонии микроорганизмов.

In a blood vessel there are the basophilic homogeneous masses - colonies of microorganisms.

Тромб з явищами організації та каналізації
Тромб с явлениями организации и канализации
Thrombus with the phenomena of organization and canalization



Забарвлення гематоксиліном і еозином

Окраска гематоксилином и еозином

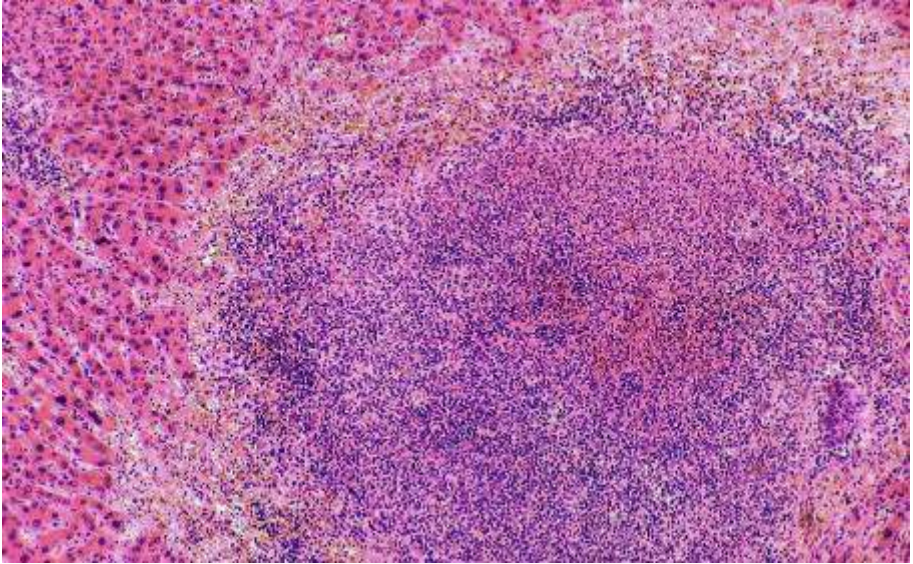
Staining with hematoxylin and eosin

В просвіті судини обтурируючий тромб. Значна частина тромботичних мас заміщена сполучною тканиною, що вростає з боку інтими. Видно щілини, в яких визначаються форменні елементи крові – каналізація тромбу.

В просвете сосуда обтурирующий тромб. Значительная часть тромботических масс замещена соединительной тканью, которая врастает со стороны интимы. Видно щели, в которых определяются форменные элементы крови - канализация тромба.

The occluding thrombus is in the lumen of the vessel. A significant part of the thrombotic masses is replaced by a connective tissue that grows from the side of the intima. You can see the cracks in which the elements of the blood are determined - the canalization of the thrombus.

Абсцес печінки
Абсцесс печени
Abscess of liver



Забарвлення гематоксиліном і еозином

Окраска гематоксилином и еозином

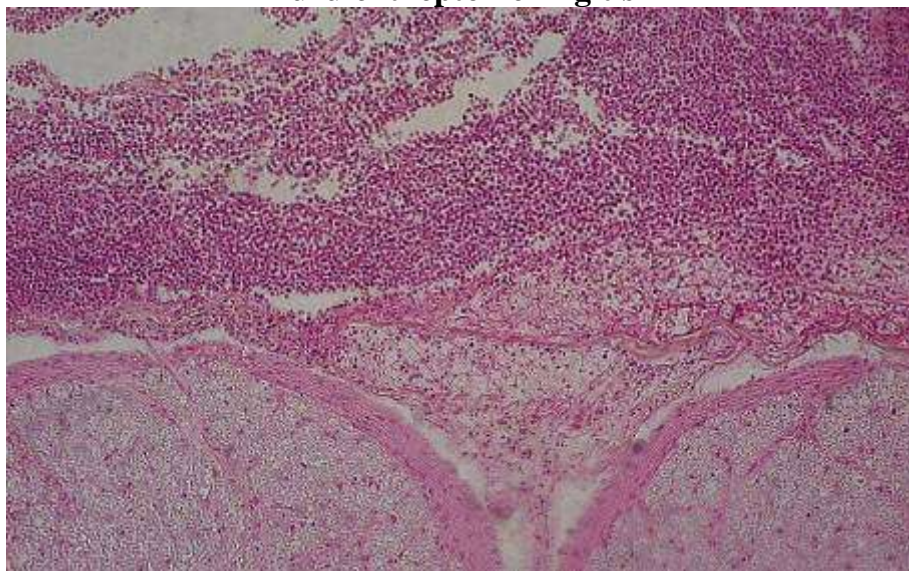
Staining with hematoxylin and eosin

Визначається вогнище зруйнованої тканини, інфільтроване нейтрофільними лейкоцитами, оточене тканиною печінки.

Определяется очаг разрушенной ткани, инфильтрированный нейтрофильными лейкоцитами, окруженный тканью печени.

The focus of the destroyed tissue, infiltrated by neutrophilic leukocytes is surrounded by a tissue of the liver.

Гнійний лептоменінгіт
Гнойный лептоменингит
Purulent leptomeningitis



Забарвлення гематоксиліном і еозином

Окраска гематоксилином и еозином

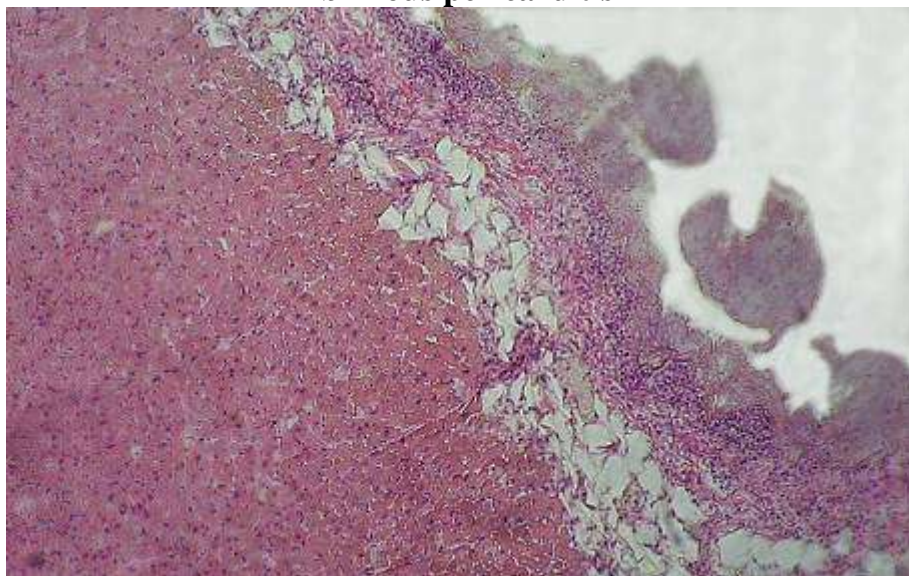
Staining with hematoxylin and eosin

В м'якій оболонці головного мозку, в субарахноїдальному просторі значна лейкоцитарна інфільтрація, поодинокі нитки фібрину. Тканина мозку без суттєвих змін.

В мягкой оболочке головного мозга, в субарахноидальном пространстве значительная лейкоцитарная инфильтрация, единичные нити фибрина. Ткань мозга без существенных изменений.

Significant leukocyte infiltration, single filaments of fibrin are in the soft meninge of the brain, in the subarachnoid space. Brain tissue without significant changes.

Фібринозний перикардит
Фибринозный перикардит
Fibrinous pericarditis



Забарвлення гематоксиліном і еозином

Окраска гематоксилином и еозином

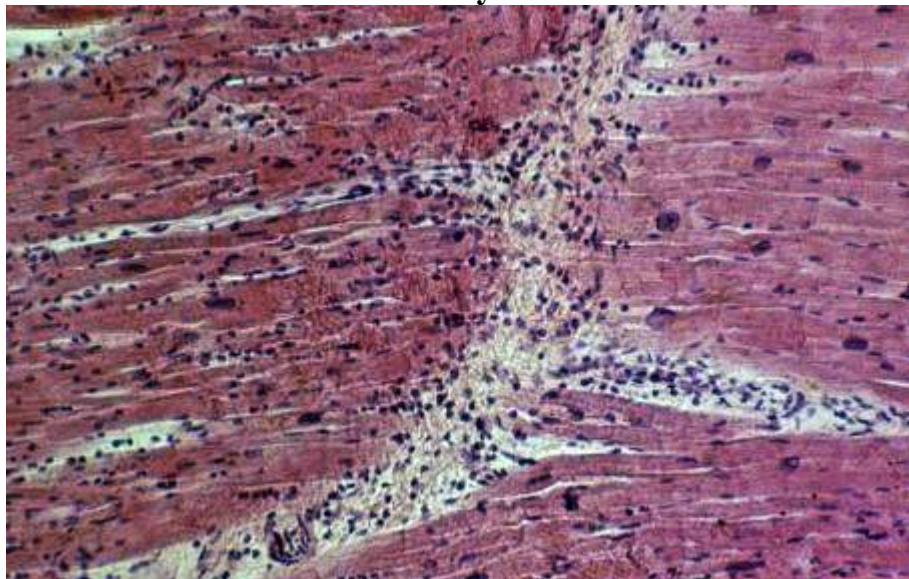
Staining with hematoxylin and eosin

На епікарді визначаються гомогенні фіолетові нашарування – плівки фібрину. В епікарді - помірна лейкоцитарна інфільтрація, міокард без суттєвих змін.

На эпикарде определяются гомогенные фиолетовые наложения - пленки фибрина. В эпикарде - умеренная лейкоцитарная инфильтрация, миокард без существенных изменений.

Homogeneous violet overlays, fibrin pellicles are determined on the epicardium. Moderate leukocyte infiltration is in the epicardium, myocardium is without significant changes.

Проміжний міокардит
Межуточный миокардит
Interstitial myocarditis



Забарвлення гематоксилином і еозином

Окраска гематоксилином и еозином

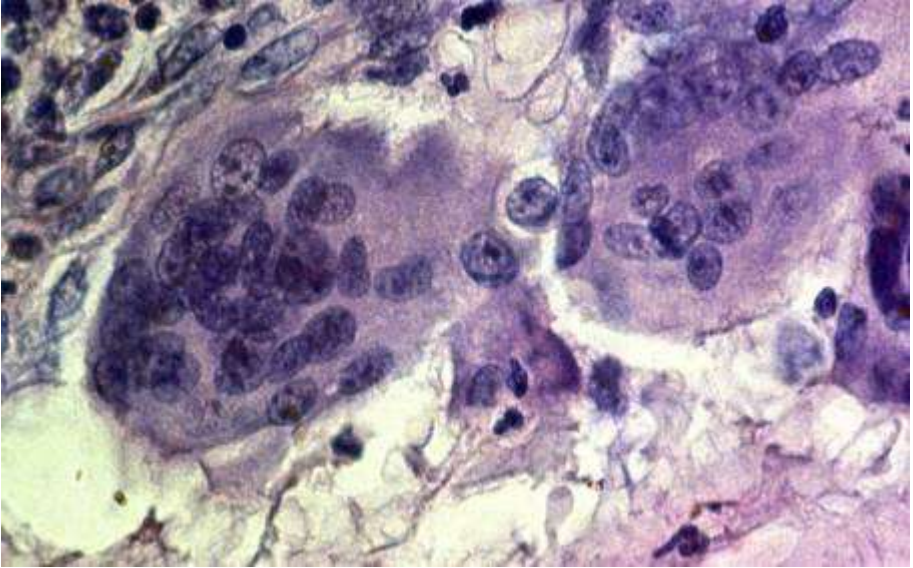
Staining with hematoxylin and eosin

В стромі (прошарках сполучної тканини) міокарда запальна інфільтрація з переважанням лімфоцитів, плазматичних клітин.

В строме (слоях соединительной ткани) миокарда воспалительная инфильтрация с преобладанием лимфоцитов, плазматических клеток.

Inflammatory infiltration with a predominance of lymphocytes, plasma cells is in the stroma (layers of connective tissue) of the myocardium.

Гігантські клітини сторонніх тіл
Гигантские клетки инородных тел
Giant cells of foreign bodies



Забарвлення гематоксилином і еозином

Окраска гематоксилином и еозином

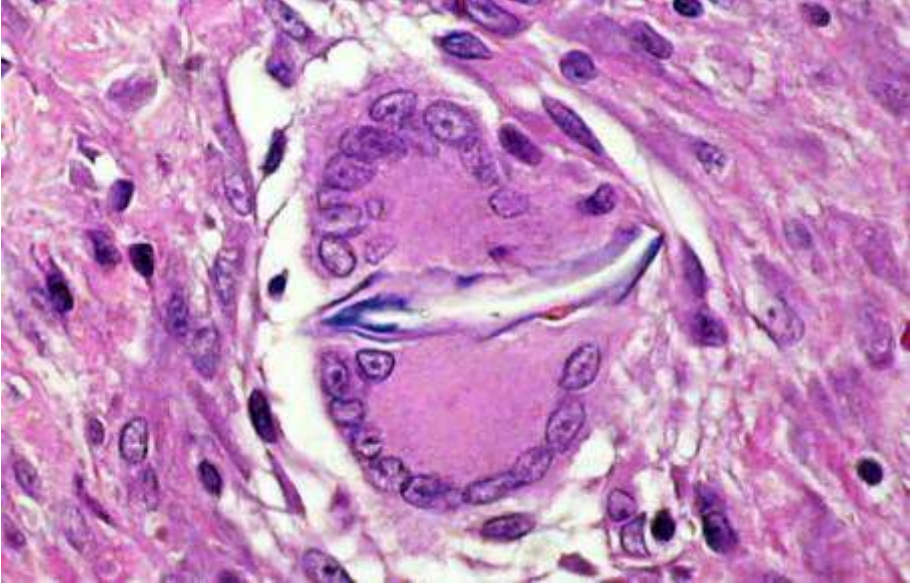
Staining with hematoxylin and eosin

Клітини мають дуже великі розміри та декілька десятків ядер, розташованих в цитоплазмі рівномірно.

Клетки имеют очень большие размеры и несколько десятков ядер, расположенных в цитоплазме равномерно.

The very large cells contain several tens of nuclei located in the cytoplasm evenly.

Гігантські клітини Пирогова–Лангханса
Гигантские клетки Пирогова–Лангханса
Giant Pirogov-Langhans cells



Забарвлення гематоксилином і еозином

Окраска гематоксилином и еозином

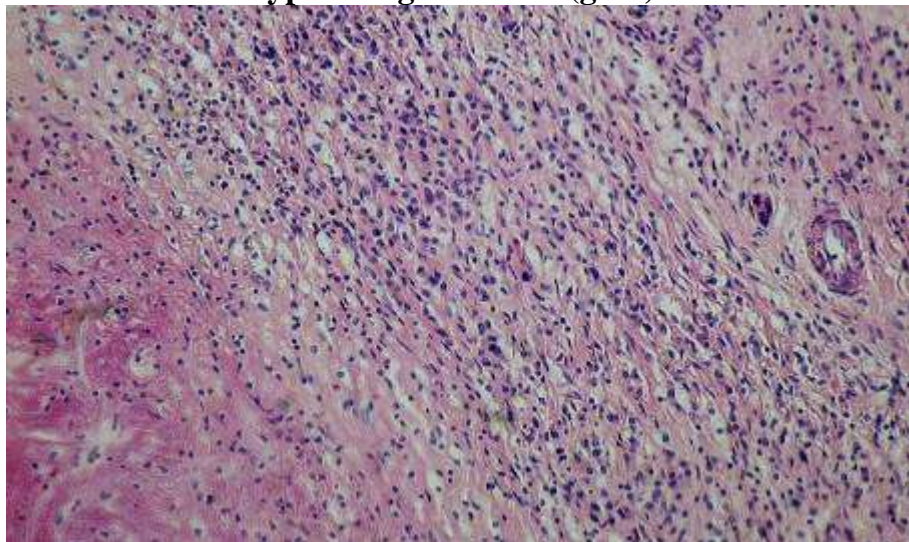
Staining with hematoxylin and eosin

Клітини мають дуже великі розміри та безліч ядер, розташованих по периферії цитоплазми у вигляді підкови.

Клетки имеют очень большие размеры и множество ядер, расположенных по периферии цитоплазмы в виде подковы.

The very large cells contain many nuclei located along the periphery of the cytoplasm as a horseshoe.

Сифілітична гранульома (гума)
Сифилитическая гранулема (гумма)
Syphilitic granuloma (gum)



Забарвлення гематоксилином і еозином

Окраска гематоксилином и еозином

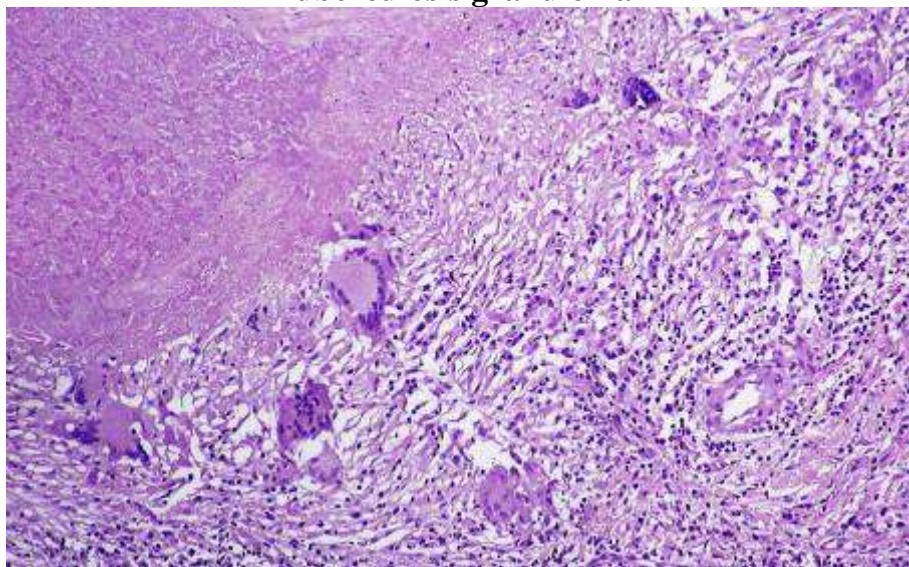
Staining with hematoxylin and eosin

Вогнище некрозу оточено запальним інфільтратом, що складається з лімфоцитів, плазмоцитів, епітеліоїдних клітин, навколо - сполучна тканина з великою кількістю кровоносних судин, в окремих з яких - явища ендovasкуліту.

Очаг некроза окружен воспалительным инфильтратом, состоящим из лимфоцитов, плазмочитов, эпителиоидных клеток, вокруг - соединительная ткань с большим количеством кровеносных сосудов, в некоторых из них - явления эндovasкулита.

The focus of necrosis is surrounded by an inflammatory infiltrate consisting of lymphocytes, plasmocytes, epithelioid cells, around - connective tissue with a large number of blood vessels, the phenomenon of endovasculitis is in some of them.

Туберкульозна гранульома
Туберкулезная гранулема
Tuberculosis granuloma



Забарвлення гематоксиліном і еозином

Окраска гематоксилином и еозином

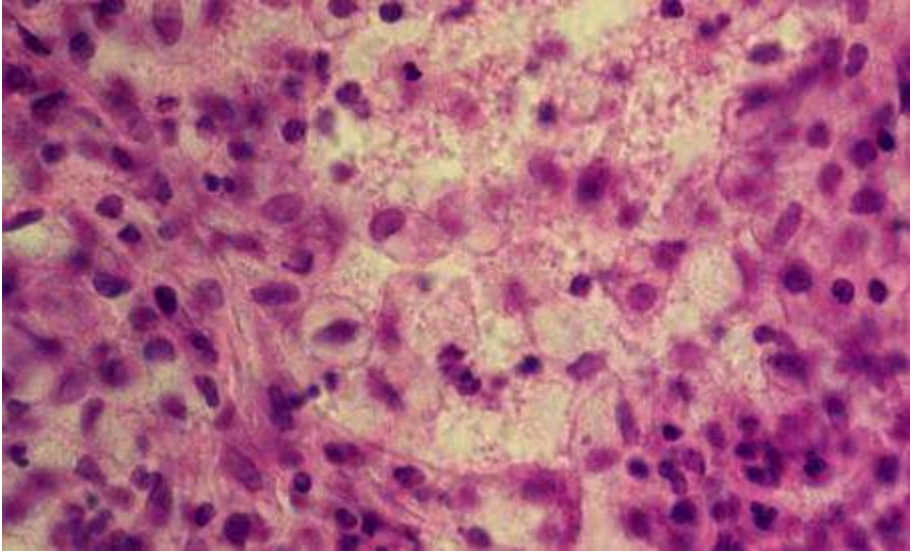
Staining with hematoxylin and eosin

Навколо вогнища казеозного некрозу, вал із епітеліоїдних клітин, лімфоцитів з наявністю макрофагів, серед яких розташовані гігантські багатоядерні клітини Пирогова-Лангханса.

Вокруг очага казеозного некроза - вал из эпителиоидных клеток, лимфоцитов с наличием макрофагов, среди которых расположены гигантские многоядерные клетки Пирогова-Лангханса.

Around the focus of caseous necrosis there is a layer of epithelioid cells, lymphocytes with the presence of macrophages, among which there are the giant multinucleated cells of Pirogov-Langhans.

Склеромна гранульома
Склеромная гранулема
Scleroma granuloma



Забарвлення гематоксилином і еозином

Окраска гематоксилином и еозином

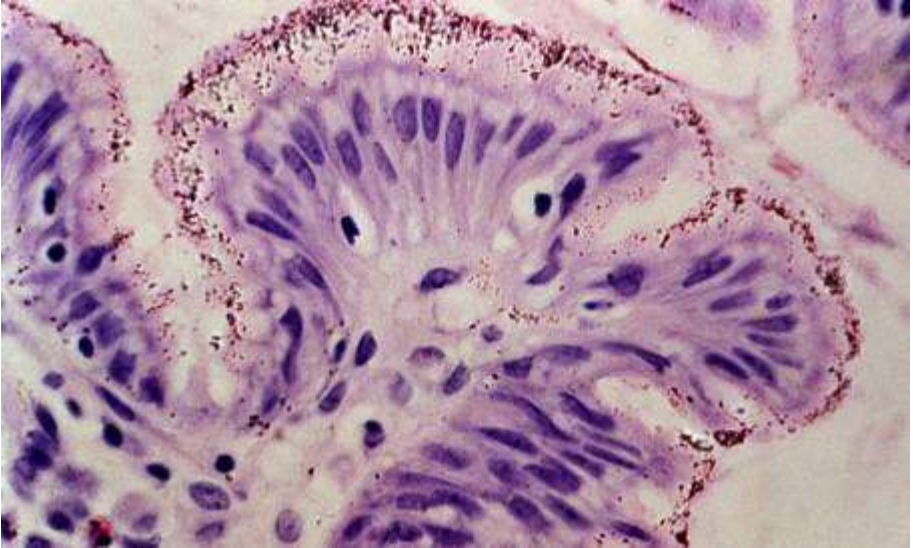
Staining with hematoxylin and eosin

В запальному інфільтраті переважають плазматичні клітини, визначаються крупні макрофаги зі світлою цитоплазмою – клітини Мікуліча.

В воспалительном инфильтрате преобладают плазматические клетки, определяются крупные макрофаги со светлой цитоплазмой - клетки Микулича.

Plasma cells, large macrophages with a light cytoplasm (Mikulich cells) are dominated in the inflammatory infiltrate.

Залозистий поліп
Железистый полип
Adenomatous polypus



Забарвлення гематоксилином і еозином

Окраска гематоксилином и еозином

Staining with hematoxylin and eosin

Спостерігається розростання залозистого (призматичного) епітелію разом з підлеглою сполучною тканиною, в якій визначаються явища набряку та запальна інфільтрація

Наблюдается разрастание железистого (призматического) эпителия вместе с подлежащей соединительной тканью, в которой отмечаются явления отека и воспалительная инфильтрация

There is a proliferation of glandular (prismatic) epithelium together with the underlying connective tissue, in which the phenomena of edema and inflammatory infiltration are noted

Гострокінцева кондилома
Остроконечная кондилома
Pointed condyloma



Забарвлення гематоксиліном і еозином

Окраска гематоксилином и еозином

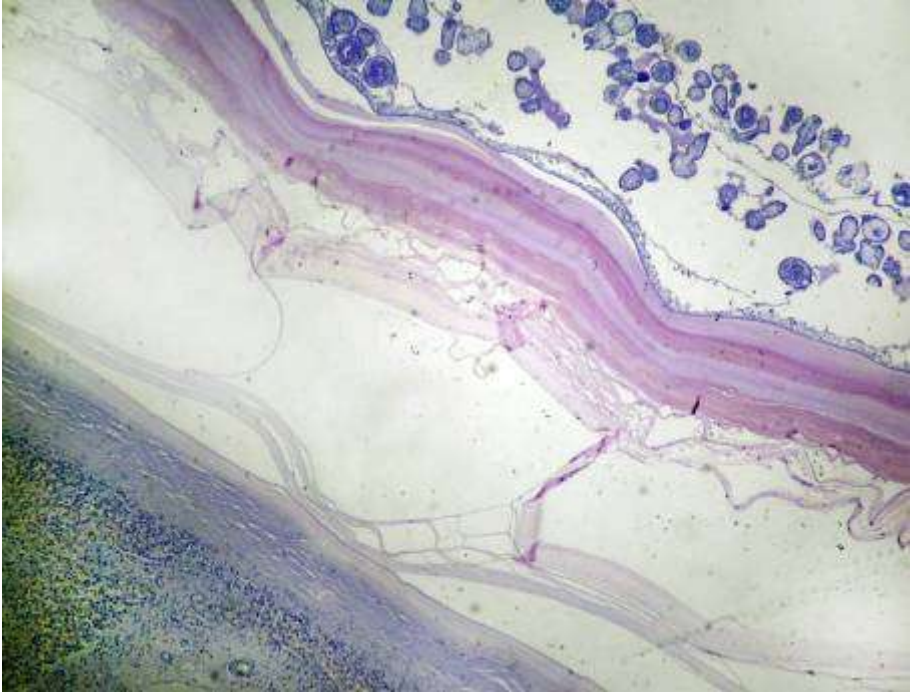
Staining with hematoxylin and eosin

Спостерігається розростання сполучної тканини, яка утворює сосочки, покриті багат шаровим плоским епітелієм зі зроговінням.

Наблюдается разрастание соединительной ткани, которая образует сосочки, покрытые многослойным плоским эпителием с ороговением.

There is a proliferation of connective tissue, which forms papillae covered by multilayered squamous epithelium with keratinization.

Ехінококкоз печінки
Эхинококкоз печени
Echinococcosis of the liver



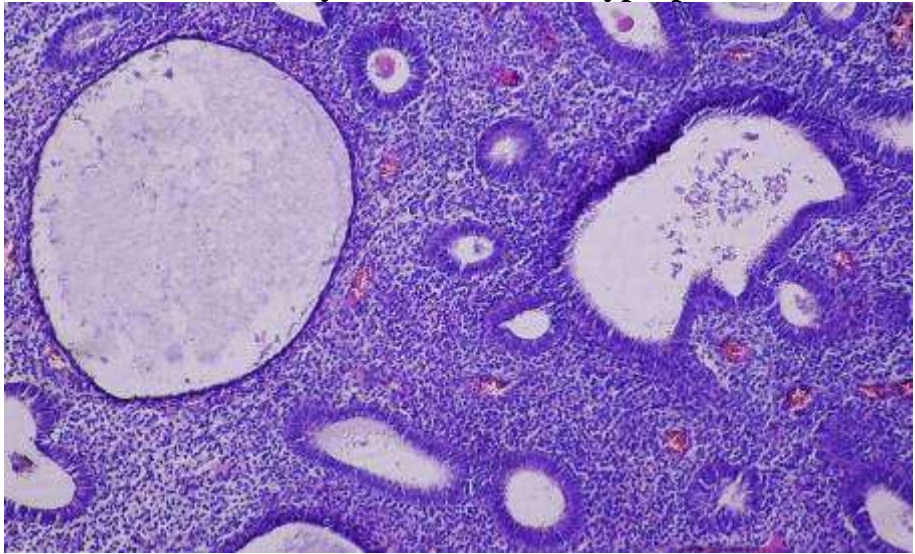
Забарвлення гематоксилином і еозином
Окраска гематоксилином и еозином
Staining with hematoxylin and eosin

Навколо гельмінта утворена капсула, яка побудована зі сполучної тканини. В ділянках капсули, прилеглих до хітинової оболонки гельмінта, визначається запальна інфільтрація.

Вокруг гельминта образована капсула, которая построена из соединительной ткани. В участках капсулы, прилегающих к хитиновой оболочке гельминта, определяется воспалительная инфильтрация.

A capsule which constructed of connective tissue is formed around the helminth. In areas of the capsule adjacent to the chitinous membrane of the helminth inflammatory infiltration is determined.

Залозисто-кістозна гіперплазія ендометрію
Железисто-кистозная гиперплазия эндометрия
Glandular cystic endometrial hyperplasia



Забарвлення гематоксилином і еозином

Окраска гематоксилином и еозином

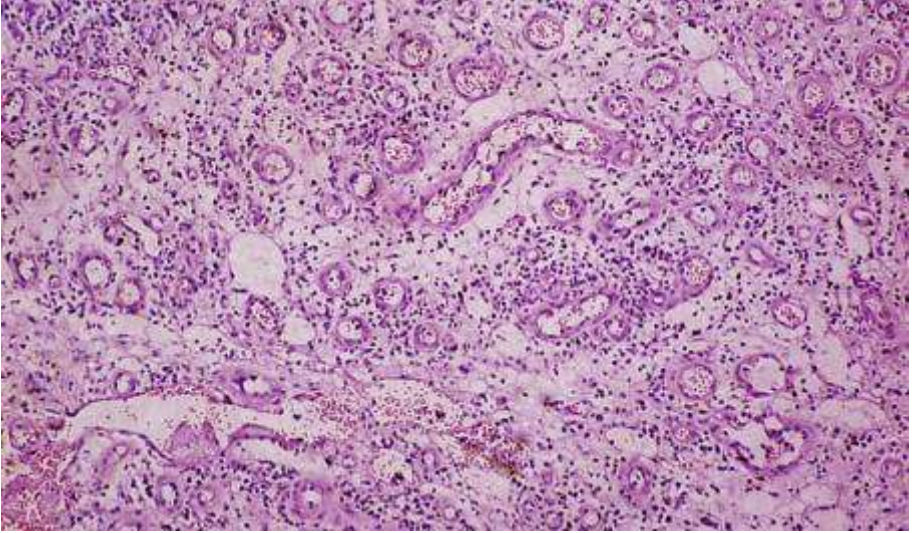
Staining with hematoxylin and eosin

Кількість залоз у вишкребі збільшена, окремі з них розширені (кістозно змінені), збільшена кількість клітин цитогенної стромы.

Количество желез в соскобе увеличено, некоторые из них расширены (кистозно изменены), увеличено количество клеток цитогенной стромы.

The number of glands in the scraping is increased, some of them are enlarged (cystic changes), the number of cells of the cytogenous stroma is increased.

Грануляційна тканина
Грануляционная ткань
Granulating tissue



Забарвлення гематоксилином і еозином

Окраска гематоксилином и еозином

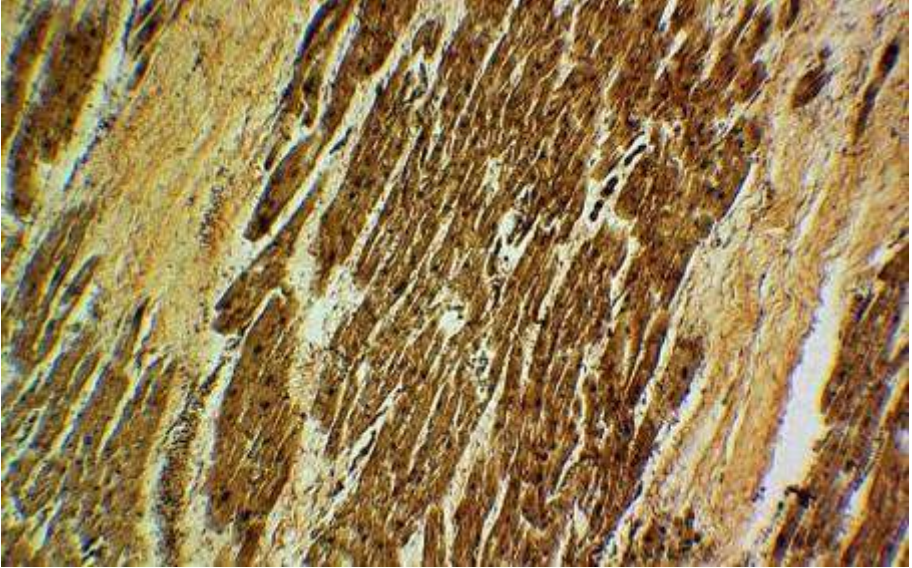
Staining with hematoxylin and eosin

До складу тканини входить велика кількість тонкостінних судин та клітинних елементів макрофагально-моноцитарного ряду, лімфоцитів, малоспеціалізованих фібробластів. Фібрилярний компонент розвинений слабо.

В состав ткани входит большое количество тонкостенных сосудов и клеточных элементов макрофагально-моноцитарного ряда, лимфоцитов, малоспециализированных фибробластов. Фибриллярный компонент развит слабо.

The tissue consists of a large number of thin-walled vessels and cellular elements of the macrophage-monocyte series, lymphocytes, low-specialized fibroblasts. The fibrillar component is poorly developed.

Кардіосклероз
Кардиосклероз
Cardiosclerosis



Забарвлення за Ван-Гізеном

Окраска по Ван-Гизону

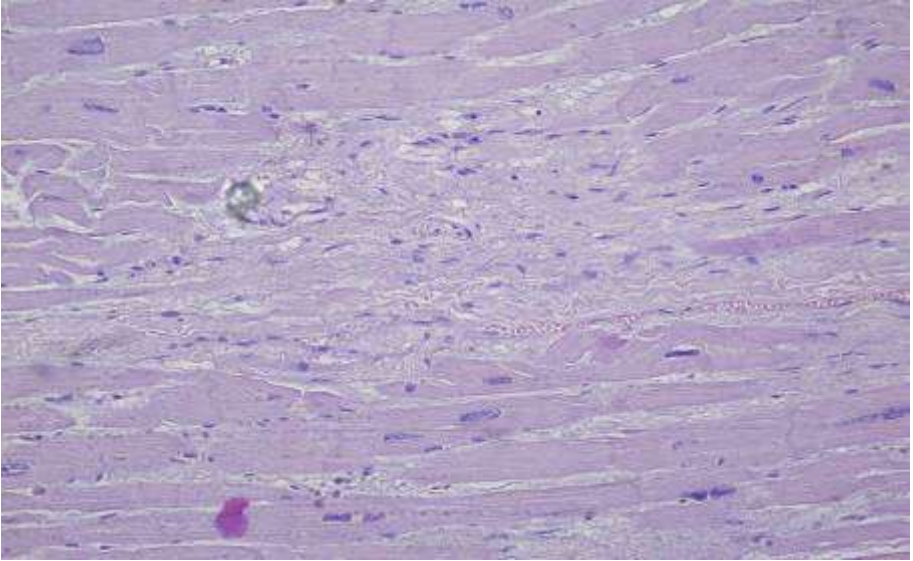
Van Gieson staining

Серед м'язової тканини ділянки розростання грубоволокнистої сполучної (фіброзної) тканини, яка забарвлюється пікрофуксином в жовто-червоний колір.

Среди мышечной ткани участки разрастания грубоволокнистой соединительной (фиброзной) ткани, которая окрашивается пикрофуксином в желто-красный цвет.

Among the muscle tissues there are the areas of growth of coarse fibrous connective (fibrous) tissue, which is stained with picrofuxine in a yellow-red color.

Кардіосклероз
Кардиосклероз
Cardiosclerosis



Забарвлення гематоксиліном і еозином

Окраска гематоксилином и еозином

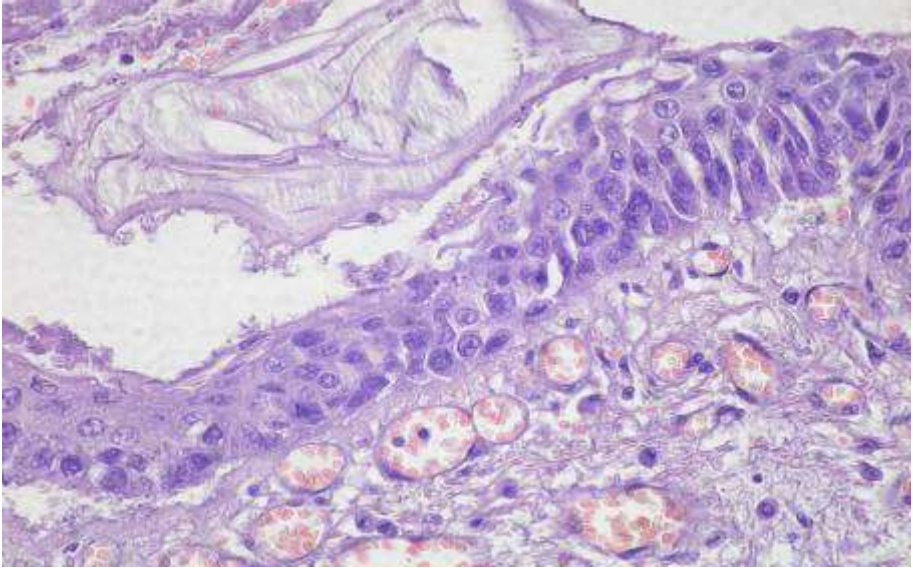
Staining with hematoxylin and eosin

Серед гіпертрофованої м'язової тканини ділянки розростання грубоволокнистої сполучної (фіброзної) тканини.

Среди гипертрофированной мышечной ткани участки разрастания грубоволокнистой соединительной (фиброзной) ткани.

There are areas of proliferation of coarse-fibrous connective (fibrous) tissue among hypertrophied muscle tissues.

Метаплазія слизової оболонки бронху
Метаплазия слизистой оболочки бронха
Metaplasia of the bronchial mucosa



Забарвлення гематоксилином і еозином

Окраска гематоксилином и еозином

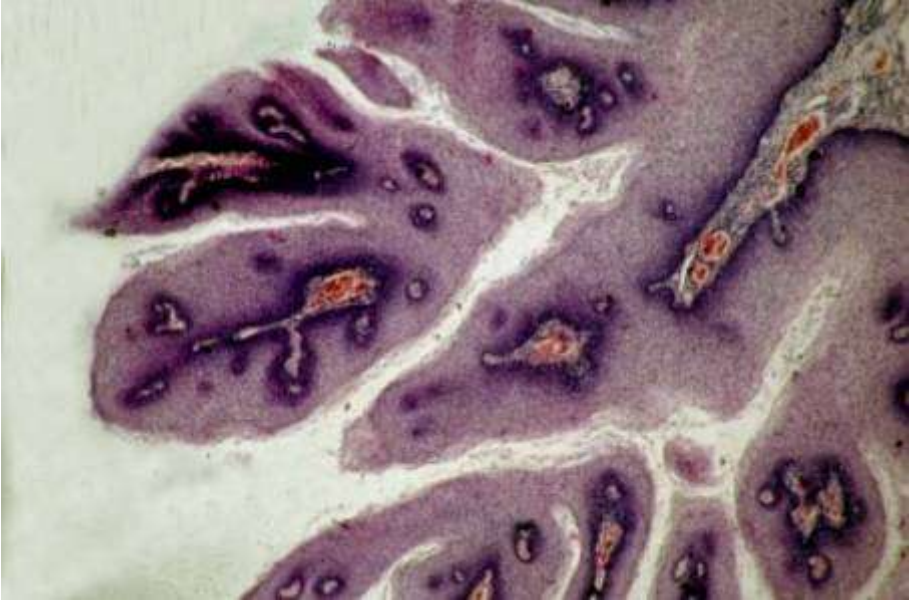
Staining with hematoxylin and eosin

Ділянка слизової оболонки зі зміною циліндричного одношарового епітелію на багат шаровий плоский.

Участок слизистой оболочки с изменением цилиндрического однослойного эпителия на многослойный плоский.

There is an area of the mucosa with a change in the cylindrical single-layered epithelium to a multilayered epithelium.

Папілома
Папиллома
Papilloma



Забарвлення гематоксилином і еозином

Окраска гематоксилином и еозином

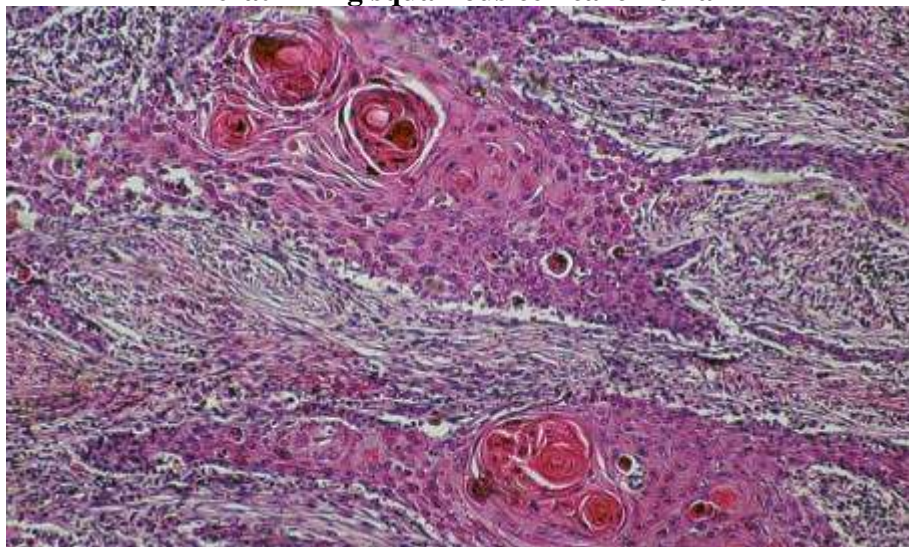
Staining with hematoxylin and eosin

В пухлині добре виражена строма, що представлена сполучною тканиною зі значною кількістю кровоносних судин, яка утворює вирости-сосочки. Сосочки покриті багат шаровим плоским епітелієм, кількість шарів якого збільшена.

В опухоли хорошо выражена строма, представленная соединительной тканью с большим количеством кровеносных сосудов, которая образует выросты-сосочки. Сосочки покрыты многослойным плоским эпителием, количество слоев которого увеличено.

In the tumor, a stroma is well expressed, represented by a connective tissue with a large number of blood vessels, which forms outgrowths-papillae. The papillae are covered with multilayer squamous epithelium, the number of layers of which is increased.

Плоскоклітинний зроговілий рак
Плоскоклеточный ороговевающий рак
Keratinizing squamous cell carcinoma



Забарвлення гематоксилином і еозином

Окраска гематоксилином и еозином

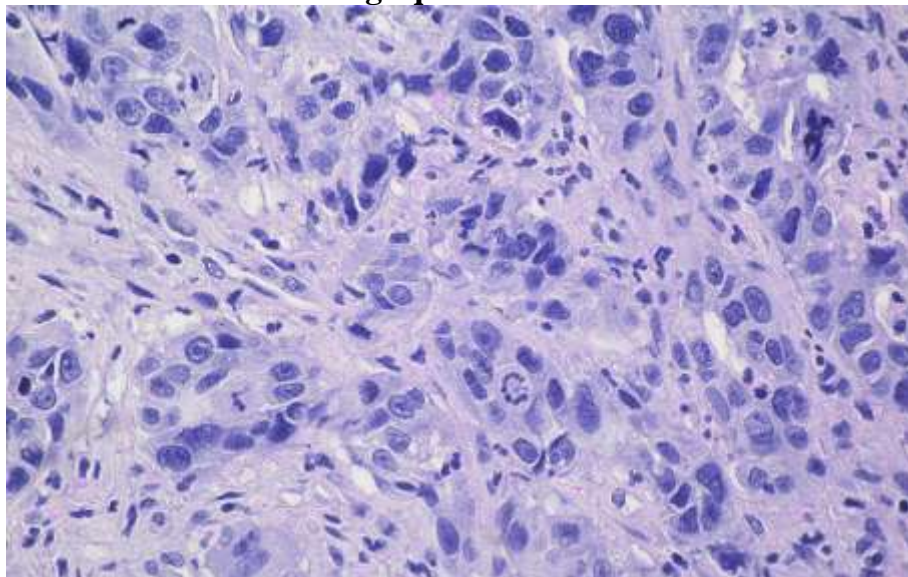
Staining with hematoxylin and eosin

Пухлина складається з тяжів і пластів атипичного плоского епітелію, які проростають у підлеглу тканину. Клітини пухлини поліморфні. Зустрічаються вогнища утворення кератину всередині епітеліальних пластів у вигляді округлої форми концентричних структур («ракові перлини»).

Опухоль состоит из тяжей и пластов атипичного плоского эпителия, которые прорастают в подлежащую ткань. Клетки опухоли полиморфные. Встречаются очаги образования кератина внутри эпителиальных пластов в виде концентрических структур округлой формы («раковые жемчужины»).

The tumor consists of strands and layers of atypical squamous epithelium, which grow into the underlying tissue. Tumor cells are polymorphic. There are foci of keratin formation inside epithelial layers in the form of concentric structures of rounded shape ("cancer pearls").

Плоскоклітинний незроговілий рак
Плоскоклеточный неороговевающий рак
Nonkeratinizing squamous cell carcinoma



Забарвлення гематоксиліном і еозином

Окраска гематоксилином и еозином

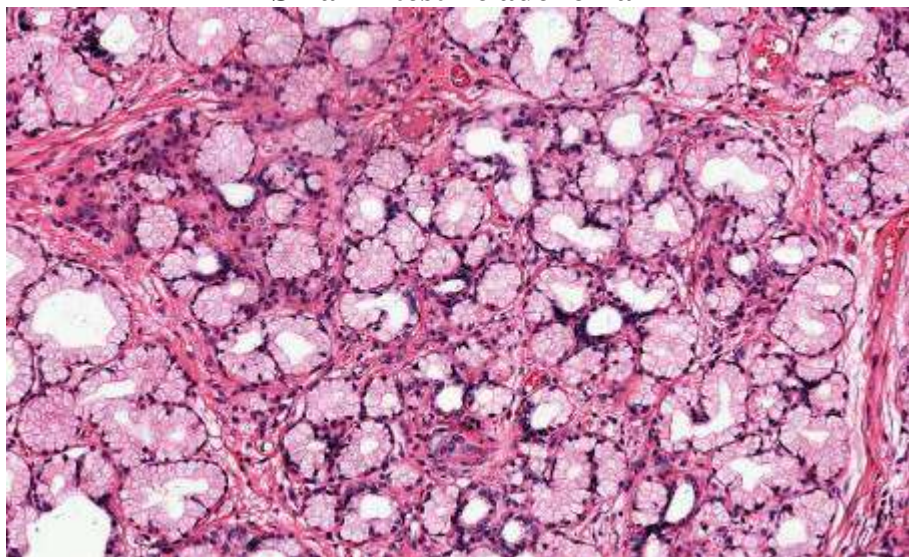
Staining with hematoxylin and eosin

Пухлина складається з тяжів і пластів атипового плоского епітелію з великою кількістю патологічних мітозів.

Опухоль состоит из тяжей и пластов атипичного плоского эпителия с большим количеством патологических митозов.

The tumor consists of strands and layers of atypical squamous epithelium with a large number of pathological mitoses.

Аденома тонкої кишки
Аденома тонкой кишки
Small intestine adenoma



Забарвлення гематоксилином і еозином

Окраска гематоксилином и еозином

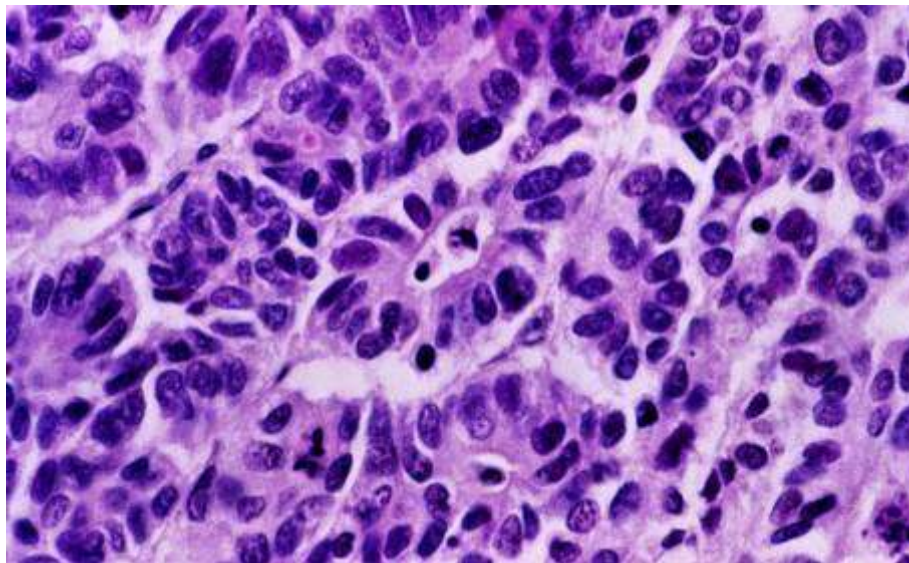
Staining with hematoxylin and eosin

Пухлина побудована з комплексів, які нагадують секреторні (кінцеві) відділи залоз, без ознак клітинного атипізму.

Опухоль построена из комплексов, которые напоминают секреторные (конечные) отделы желез, без признаков клеточного атипизма.

The tumor is constructed of complexes that resemble secretory (terminal) gland sections, with no signs of cellular atypism.

Аденокарцинома
Аденокарцинома
Adenocarcinoma



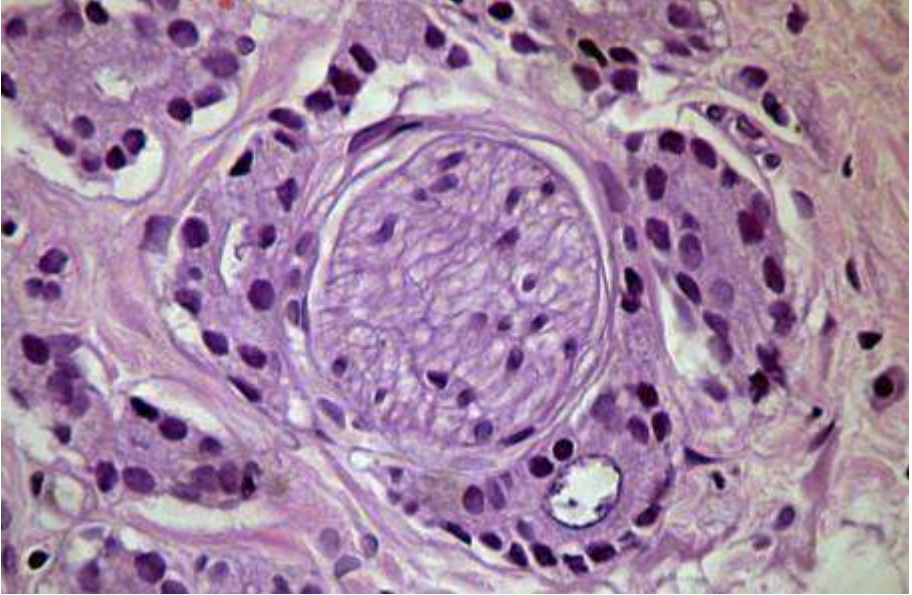
Забарвлення гематоксиліном і еозином
Окраска гематоксилином и еозином
Staining with hematoxylin and eosin

Пухлина представлена залозистими комплексами різної форми і величини, які утворені атиповими епітеліальними клітинами з гіперхромними ядрами, фігурами патологічних мітозів.

Опухоль представлена железистыми комплексами различной формы и величины, которые образованы атипичными эпителиальными клетками с гиперхромными ядрами, фигурами патологических митозов.

The tumor is represented by glandular complexes of various shapes and sizes, which are formed by atypical epithelial cells with hyperchromic nuclei with figures of pathological mitoses.

Периневральні метастази
Периневральные метастазы
Perineural metastases



Забарвлення гематоксилином і еозином

Окраска гематоксилином и еозином

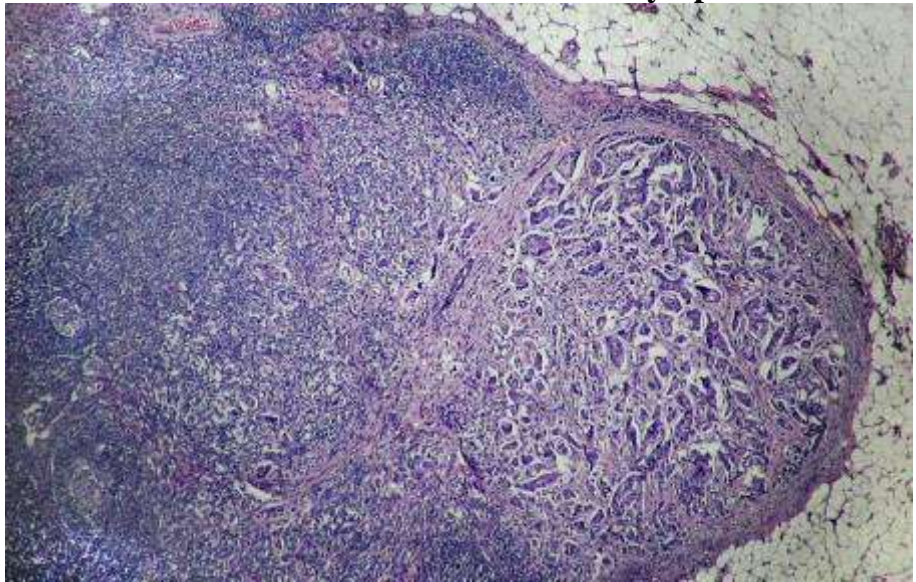
Staining with hematoxylin and eosin

Навколо нервового стовбура визначаються атипові залозисті структури – метастази аденокарциноми.

Вокруг нервного ствола определяются атипичные железистые структуры - метастазы аденокарциномы.

Atypical glandular structures (metastases of adenocarcinoma) are determined around the nerve trunk.

Метастаз залозистого раку у лімфатичний вузол
Метастаз железистого рака в лимфатический узел
Metastasis of adenocarcinoma in the lymph node



Забарвлення гематоксиліном і еозином

Окраска гематоксилином и еозином

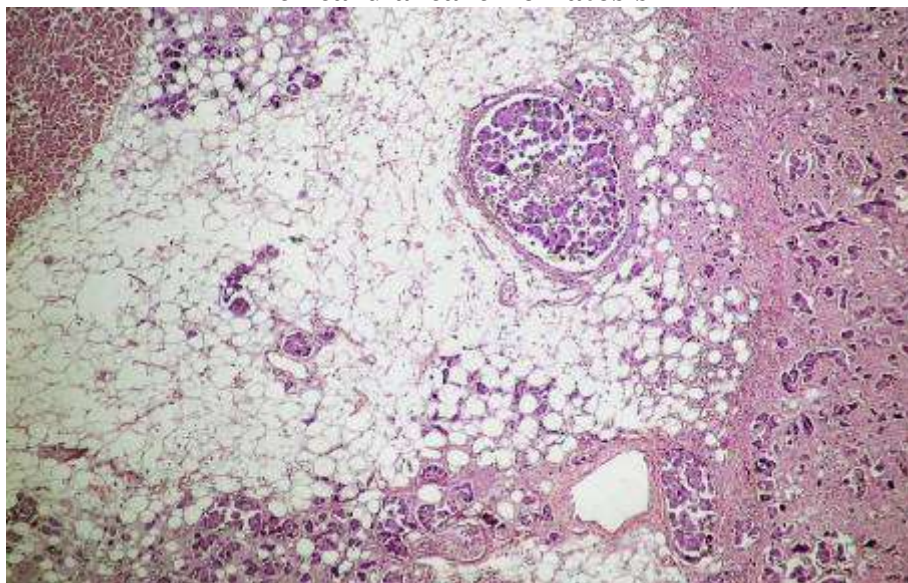
Staining with hematoxylin and eosin

В лімфатичному вузлі під капсулою визначаються атипові залозисті комплекси – лімфогенні метастази аденокарциноми.

В лимфатическом узле под капсулой определяются атипичные железистые комплексы - лимфогенные метастазы аденокарциномы.

Atypical glandular complexes are defined in the lymph node under the capsule - lymphogenous metastases of adenocarcinoma.

Канцероматоз перикарду
Канцероматоз перикарда
Pericardial carcinomatosis



Забарвлення гематоксиліном і еозином

Окраска гематоксилином и еозином

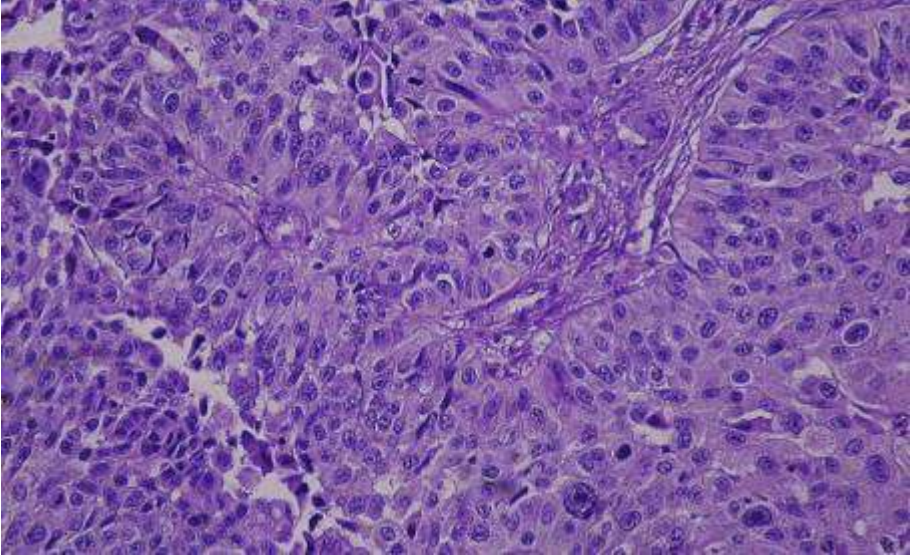
Staining with hematoxylin and eosin

В тканині перикарду та в просвіті лімфатичних судин визначаються комплекси атипових пухлинних клітин.

В ткани перикарда и в просвете лимфатических сосудов определяются комплексы атипичных опухолевых клеток.

Complexes of atypical tumor cells are determined in the pericardial tissue and in the lumen of the lymph vessels.

Перехідноклітинний рак сечового міхура
Переходноклеточный рак мочевого пузыря
Transitional cell carcinoma of the bladder



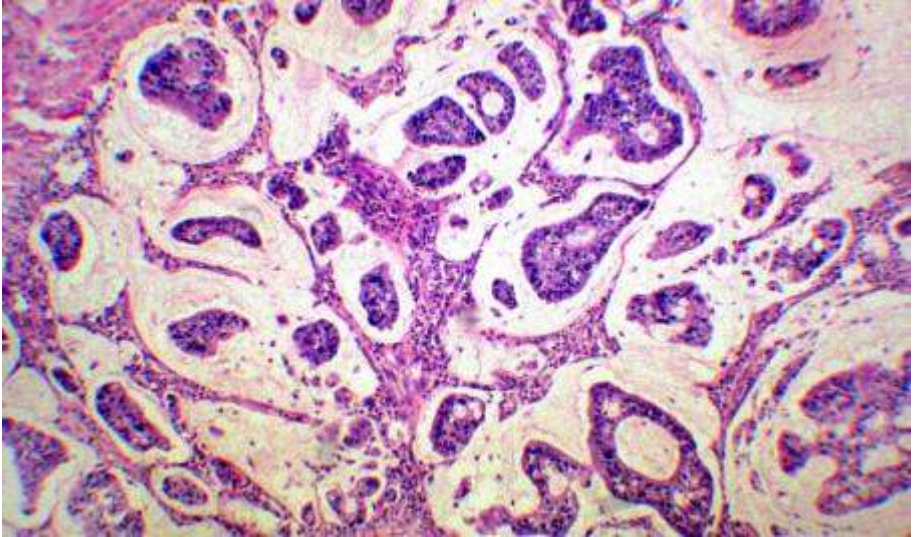
Забарвлення гематоксиліном і еозином
Окраска гематоксилином и еозином
Staining with hematoxylin and eosin

Строма пухлини представлена сполучною тканиною, яка утворює вирости-сосочки. Сосочки покриті багат шаровим епітелієм з вираженим клітинним атипізмом і поліморфізмом, патологічними мітозами.

Строма опухоли представлена соединительной тканью, которая образует выросты-сосочки. Сосочки покрыты многослойным эпителием с выраженным клеточным атипизмом и полиморфизмом, патологическими митозами.

The stroma of the tumor is represented by a connective tissue that forms outgrowths-papillae. Papillae are covered by multilayered epithelium with cellular atypism and polymorphism, pathological mitoses.

Слизовий рак
Слизистый рак
Mucus cancer



Забарвлення гематоксилином і еозином

Окраска гематоксилином и еозином

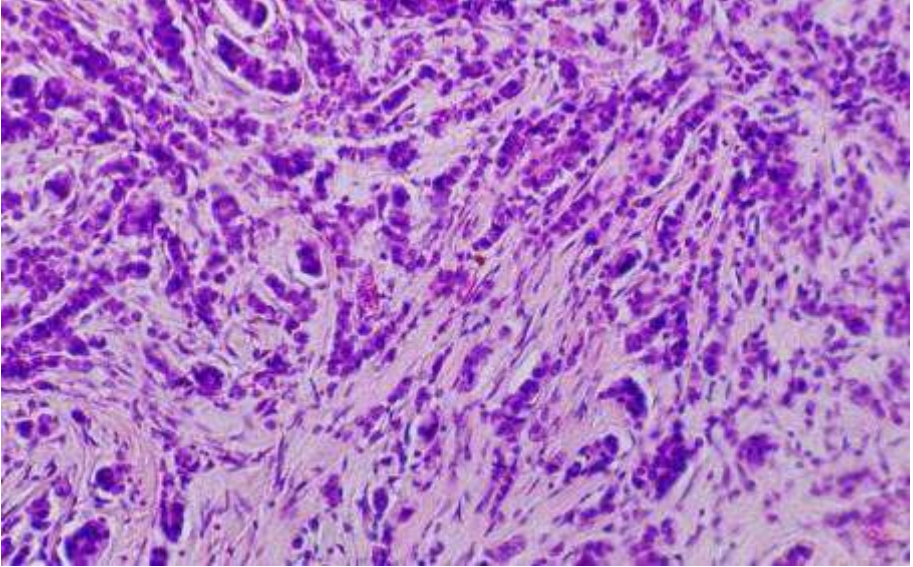
Staining with hematoxylin and eosin

Солідно-криброзні структури утворені атиповими епітеліальними клітинами та оточені великою кількістю слизу, що продукується раковими клітинами.

Солидно-криброзные структуры образованы атипичными эпителиальными клетками и окружены большим количеством слизи, которая продуцируется раковыми клетками.

Solid-cribrose structures are formed by atypical epithelial cells and surrounded by a large amount of mucus that is produced by cancer cells.

**Скір
Скирр
Scirrhou cancer**



Забарвлення гематоксилином і еозином

Окраска гематоксилином и еозином

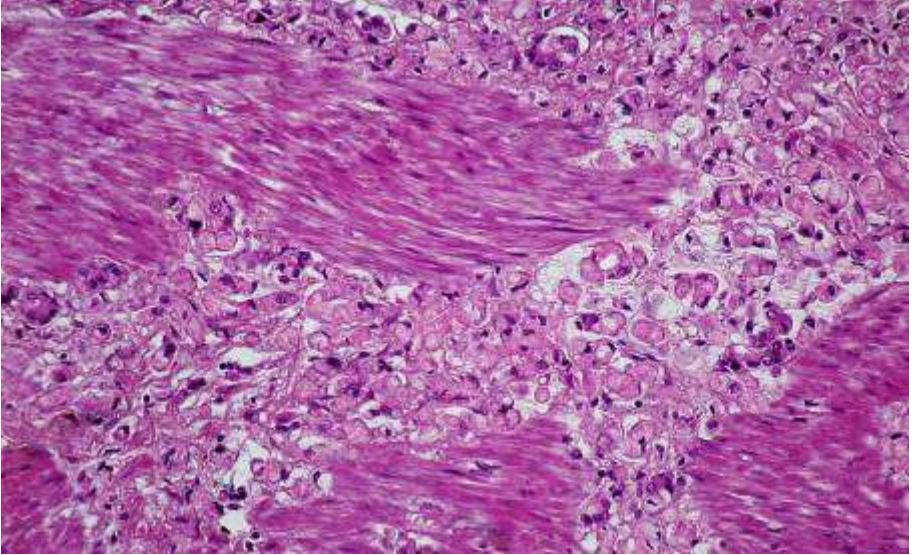
Staining with hematoxylin and eosin

Пухлина представлена атипovими гіперхромними клітинами, розташованими у вигляді ланцюжків серед грубоволокнистої сполучної тканини (строми), кількість якої переважає над паренхімою пухлини.

Опухоль представлена атипичными гиперхромными клетками, расположенными в виде цепочек среди грубоволокнистой соединительной ткани (стромы), количество которой преобладает над паренхимой опухоли.

The tumor is represented by atypical hyperchromic cells, arranged in the form of chains among the coarse-fibrous connective tissue (stroma), the amount of which predominates over the parenchyma of the tumor.

Каблучкоподібний рак шлунку
Перстневидноклеточный рак желудка
Ring-cell carcinoma of the stomach



Забарвлення гематоксилином і еозином

Окраска гематоксилином и еозином

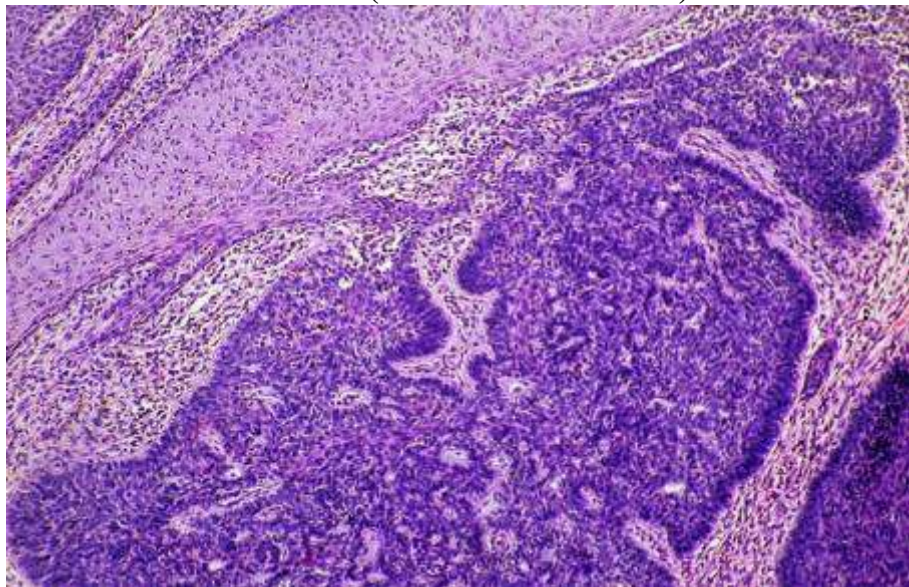
Staining with hematoxylin and eosin

Пухлина представлена клітинами, в цитоплазмі яких міститься велика кількість слизу. Слизові вакуолі відтісняють ядро на периферію, утворюючи "каблучкоподібні" клітини.

Опухоль представлена клетками, в цитоплазме которых содержится большое количество слизи. Слизистые вакуоли оттесняют ядро на периферию, образуя "перстневидные" клетки.

The tumor is represented by cells with a large amount of mucus in the cytoplasm. Mucous vacuoles push the nucleus to the periphery, forming "ring" cells.

Базаліома (базально-клітинний рак)
Базалиома (базально-клеточный рак)
Basaloma (basal cell carcinoma)



Забарвлення гематоксиліном і еозином

Окраска гематоксилином и еозином

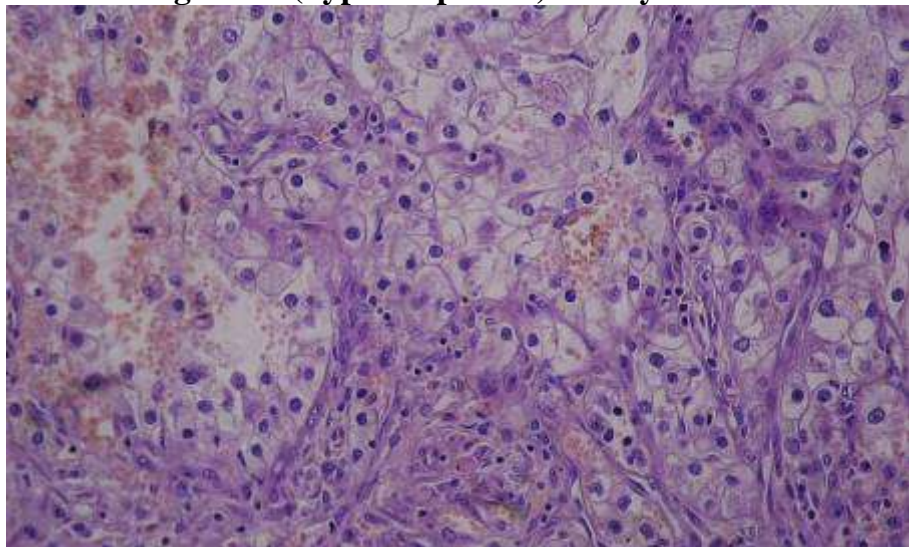
Staining with hematoxylin and eosin

Пухлина побудована з дрібних темних клітин, що нагадують базальні клітини епідермісу. Клітини пухлини утворюють тяжі та гніздові скупчення.

Опухоль построена из мелких темных клеток, напоминающих базальные клетки эпидермиса. Клетки опухоли образуют тяжи и гнездовые скопления.

The tumor is built of small dark cells resembling the basal cells of the epidermis. Tumor cells form strands and nesting clusters.

Світлоклітинний (гіпернефроїдний) рак нирки
Светлоклеточный (гипернефроидный) рак почки
Light-cell (hyper-nephritic) kidney cancer



Забарвлення гематоксилином і еозином

Окраска гематоксилином и еозином

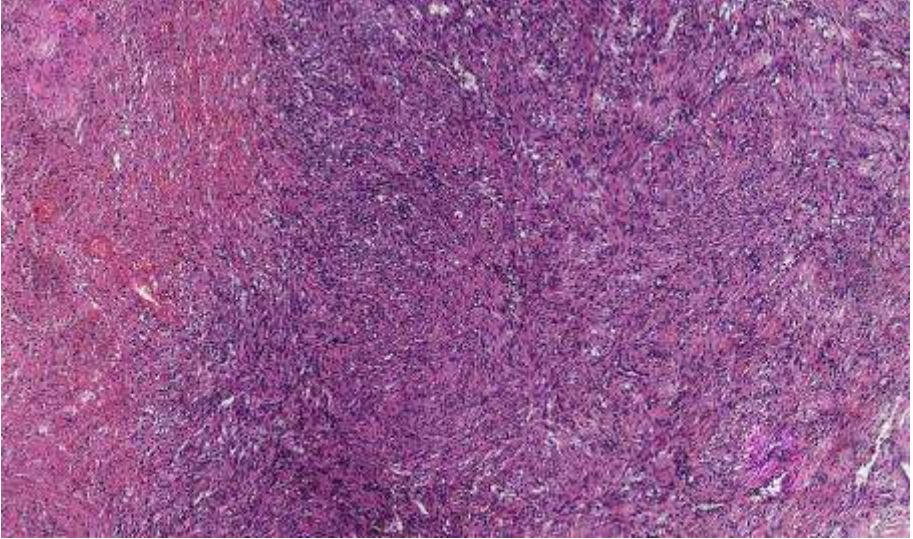
Staining with hematoxylin and eosin

Великі світлі клітини з оптично пустою цитоплазмою і мономорфними круглими темними ядрами формують альвеолярні структури, які розділені вузькими прошарками сполучної тканини із синусоїдними судинами; наявні некрози та крововиливи.

Крупные светлые клетки с оптически пустой цитоплазмой и мономорфными круглыми темными ядрами формируют альвеолярные структуры, которые разделены узкими прослойками соединительной ткани с синусоидными сосудами; имеются некрозы и кровоизлияния.

Large light cells with an optically empty cytoplasm and monomorphic round dark nuclei form alveolar structures that are separated by narrow interlayers of connective tissue with sinusoidal vessels; there are necrosis and hemorrhages present.

Дерматофіброма
Дерматофиброма
Dermatofibroma



Забарвлення гематоксилином і еозином

Окраска гематоксилином и еозином

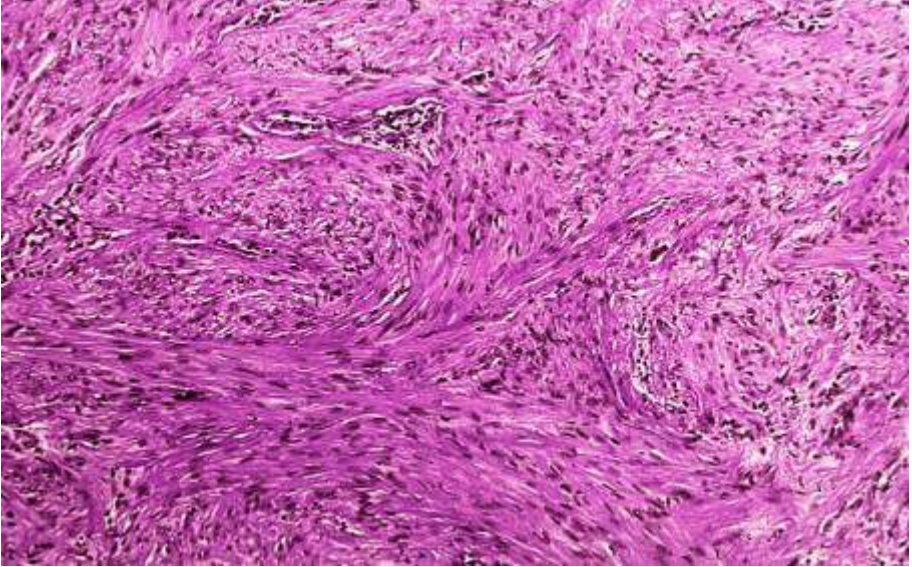
Staining with hematoxylin and eosin

Пухлина побудована з клітин типу фібробластів та гістіоцитів. Клітини та волокна пухлини утворюють ритмічні "муарові" структури. Пухлина містить велику кількість капілярних кровоносних судин.

Опухоль построена из клеток типа фибробластов и гистиоцитов. Клетки и волокна опухоли образуют ритмические "муаровые" структуры. Опухоль содержит большое количество капиллярных кровеносных сосудов.

The tumor constructed by cells like fibroblasts and histiocytes. Cells and fibers of the tumor form rhythmic "moiré" structures. The tumor contains a large number of capillary blood vessels.

Лейоміома тіла матки
Лейомиома тела матки
Leiomyoma of the uterus body



Забарвлення гематоксилином і еозином

Окраска гематоксилином и еозином

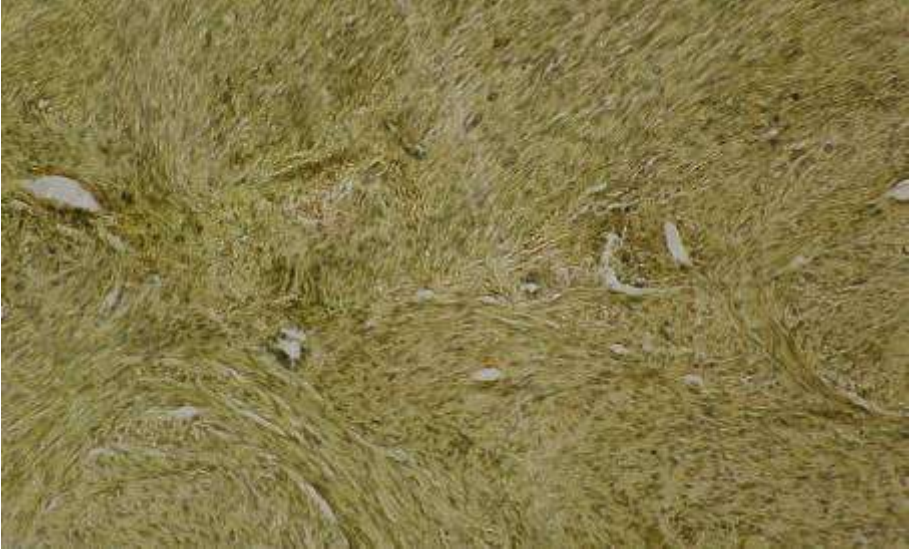
Staining with hematoxylin and eosin

Пухлина представлена хаотично розташованими пучками гладком'язових клітин різної величини з нерівномірно вираженою сполучною тканиною (тканинний атипізм). Пухлинні міоцити мономорфні, без ознак клітинної атипії, мітози (типові) поодинокі.

Опухоль представлена хаотично расположенными пучками гладкомышечных клеток различной величины с неравномерно выраженной соединительной тканью (тканевой атипизм). Опухолевые миоциты мономорфные, без признаков клеточной атипии, митозы (типичные) единичные.

The tumor is represented by chaotically located bundles of smooth muscle cells of various sizes with unevenly expressed connective tissue (tissue atypism). Tumor myocytes are monomorphic, with no signs of cellular atypia, mitoses (typical) are single.

Лейоміома тіла матки
Лейомиома тела матки
Leiomyoma of the uterus body



Забарвлення за Ван-Гізоном

Окраска по Ван-Гизону

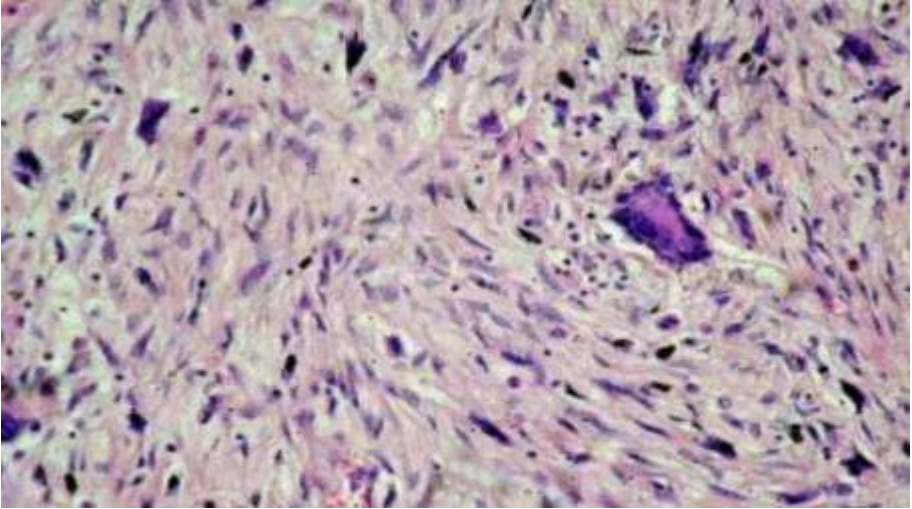
Van Gieson staining

Пухлина представлена хаотично розташованими пучками гладком'язових клітин різної величини (тканинний атипізм). Пухлинні міоцити мономорфні, без ознак клітинної атипії, мітози (типові) рідкісні.

Опухоль представлена хаотично расположенными пучками гладкомышечных клеток различной величины (тканевой атипизм). Опухолевые миоциты мономорфные, без признаков клеточной атипии, митозы (типичные) редкие.

The tumor is represented by chaotically located bundles of smooth muscle cells of various sizes with unevenly expressed connective tissue (tissue atypism). Tumor myocytes are monomorphic, with no signs of cellular atypia, mitoses (typical) are single.

Поліморфноклітинна саркома
Полиморфноклеточная саркома
Polymorphocellular sarcoma



Забарвлення гематоксином і еозином

Окраска гематоксином и еозином

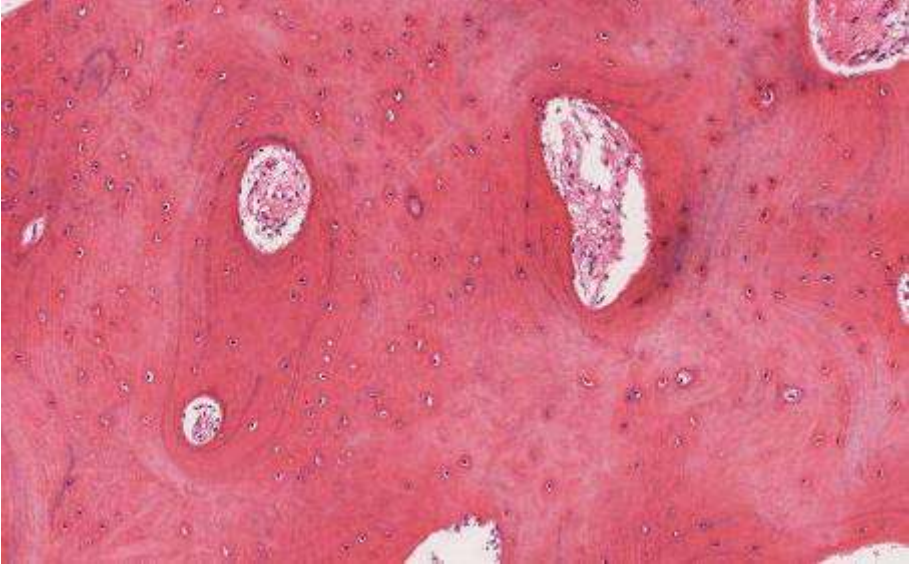
Staining with hematoxylin and eosin

Паренхіма пухлини представлена комплексами клітин, різних розмірів та форми, з гіперхромними ядрами. Зустрічаються гігантські багатоядерні клітини, велика кількість фігур патологічних мітозів (тканинний і клітинний атипізм). Строма слабо розвинена і представлена тонкими пучками колагенових волокон.

Паренхима опухолі представлена комплексами кліток, різних розмірів та форми, з гіперхромними ядрами. Встречаються гігантські багатоядерні клітини, велика кількість фігур патологічних мітозів (тканевий і клітинний атипізм). Строма слабо розвинена і представлена тонкими пучками колагенових волокон.

The parenchyma of the tumor is represented by complexes of cells, of various sizes and shapes, with hyperchromic nuclei. There are giant multi-nuclear cells, a large number of figures of pathological mitoses (tissue and cellular atypism). The stroma is poorly developed and is represented by thin bundles of collagen fibers.

Остеома
Остеома
Osteoma



Забарвлення гематоксиліном і еозином

Окраска гематоксилином и еозином

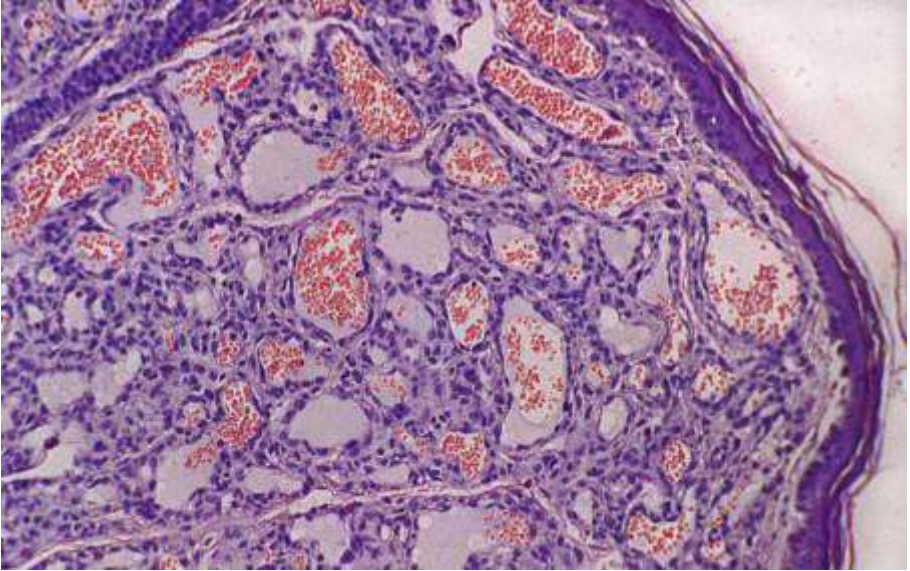
Staining with hematoxylin and eosin

Пухлина складається з грубоволокнистої і пластинчастої кістки і містить системи, що нагадують центральні (гаверсові) канали.

Опухоль состоит из грубоволокнистой и пластинчатой кости, содержит системы, напоминающие центральные (гаверсовы) каналы.

The tumor consists of a coarse-fiber and lamellar bone, contains systems resembling the central (Havers) canals.

Капілярна гемангіома
Капиллярная гемангиома
Capillary hemangioma



Забарвлення гематоксилином і еозином

Окраска гематоксилином и еозином

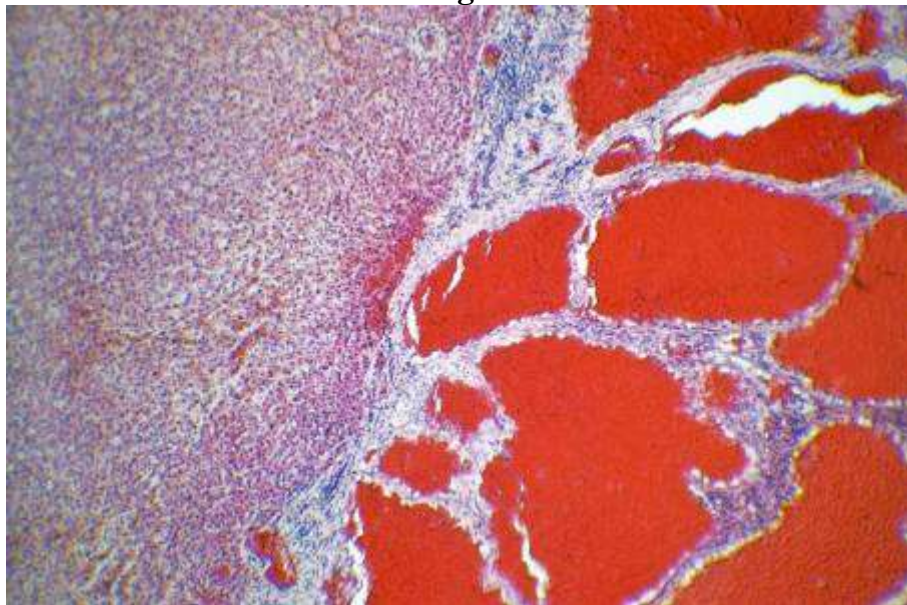
Staining with hematoxylin and eosin

Пухлина представлена судинами капілярного типу, що розгалуджуються. Судини розташовані в пухкій стромі. Більшість судин містить форменні елементи крові.

Опухоль представлена разветвляющимися сосудами капиллярного типа. Сосуды расположены в рыхлой строме. Большинство сосудов содержит форменные элементы крови.

The tumor is represented by branched capillary vessels. The vessels are located in a loose stroma. Most blood vessels contain elements of blood.

Кавернозна гемангіома печінки
Кавернозная гемангиома печени
Cavernous hemangioma of the liver



Забарвлення гематоксилином і еозином

Окраска гематоксилином и еозином

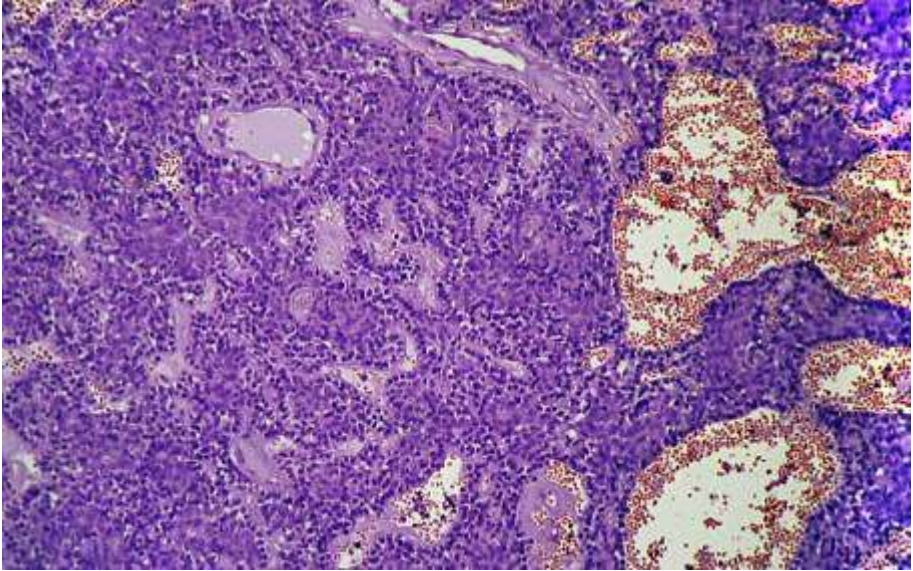
Staining with hematoxylin and eosin

Пухлина складається з крупних судинних тонкостінних порожнин (каверн), вистелених ендотеліальними клітинами. Порожнини заповнені згортками крові.

Опухоль состоит из крупных сосудистых тонкостенных полостей (каверн), выстланных эндотелиальными клетками. Полости заполнены сгустками крови.

The tumor consists of large vascular thin-walled cavities (caverns) lined with endothelial cells. The cavities are filled with blood clots.

Гломус-ангіома
Гломус-ангіома
Glomus-angioma



Забарвлення гематоксилином і еозином

Окраска гематоксилином и еозином

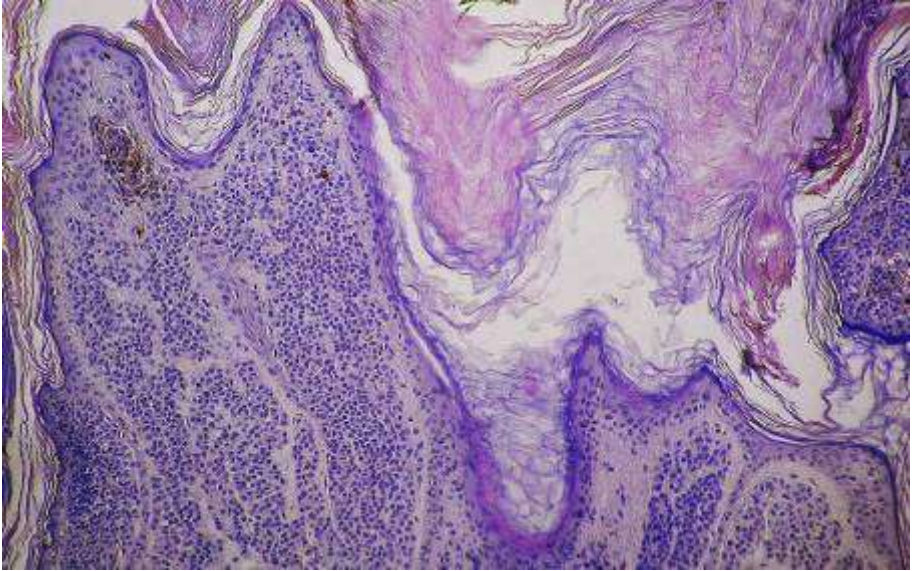
Staining with hematoxylin and eosin

Пухлина складається з кровоносних, переважно щілиноподібних судин, вистелених ендотелієм та оточених муфтами з епітеліоїдних (гломусних) клітин. На периферії пухлини спостерігаються гемогломуси у вигляді судин венозного типу.

Опухоль состоит из кровеносных, преимущественно щелевидных сосудов, выстланных эндотелием и окруженных муфтами из эпителиоидных (гломусных) клеток. На периферии опухоли наблюдаются гемогломусы в виде сосудов венозного типа.

The tumor consists of bloody, mostly slitlike vessels lined with endothelium and surrounded by clutches of epithelioid (glomus) cells. At the periphery of the tumor, hemoglobulins are seen in the form of vessels of venous type.

Змішаний неvus
Смешанный неvus
Mixed nevus



Забарвлення гематоксилином і еозином

Окраска гематоксилином и еозином

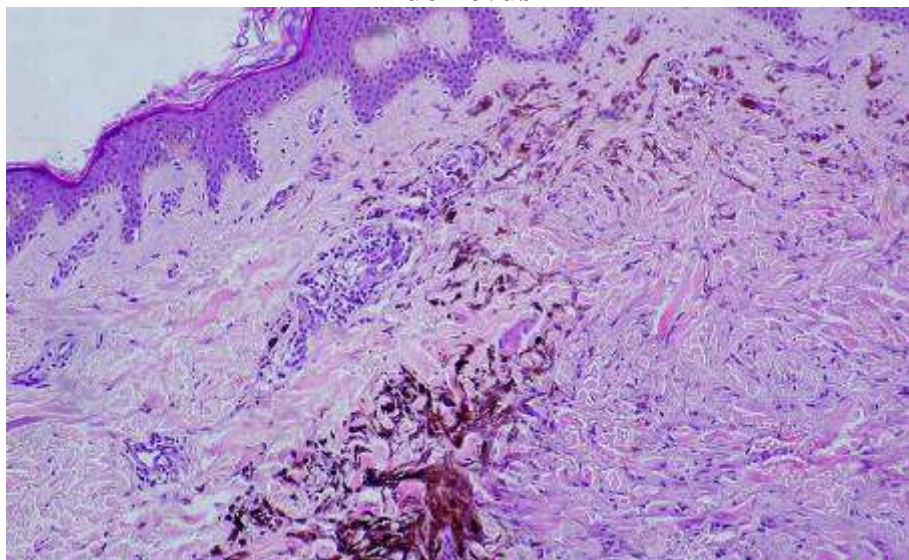
Staining with hematoxylin and eosin

Тяжі та гнізда неvусних клітин розташовані як в дермі, так і в ділянці епідермально-дермальної межі. Визначається коричнево-бурий пігмент – меланін.

Тяжи и гнезда неvусных клеток расположены как в дерме, так и в области эпидермально-дермальной границы. Определяется коричнево-бурый пигмент – меланин.

Nests of nevus cells are located both in the dermis and in the epidermal-dermal border region. A brownish pigment, melanin, is determined.

Блакитний невус
Голубой невус
Blue nevus



Забарвлення гематоксиліном і еозином

Окраска гематоксилином и еозином

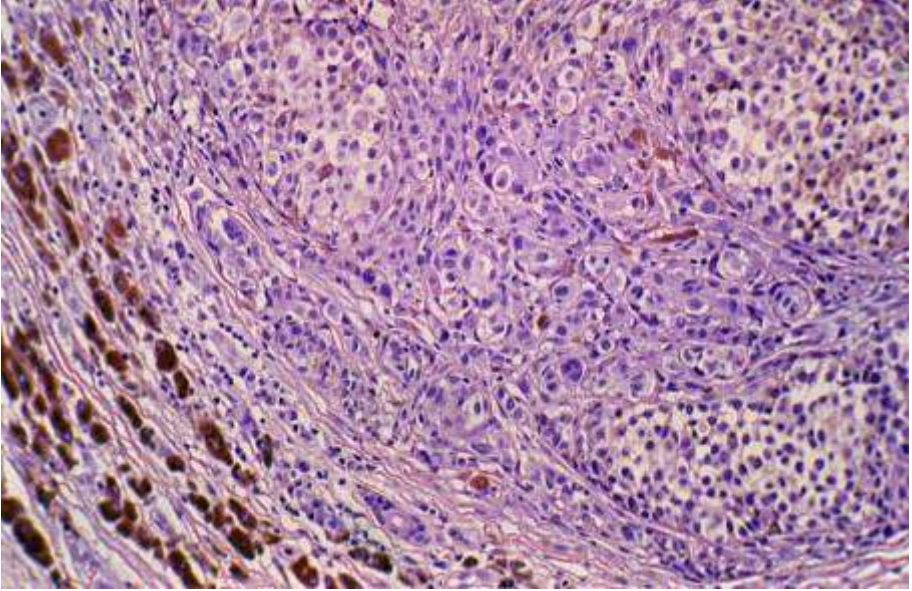
Staining with hematoxylin and eosin

В дермі спостерігається розростання меланоцитів витягнутої форми, які мають тенденцію до групового розташування.

В дерме наблюдается разрастание меланоцитов вытянутой формы, которые имеют тенденцию к групповому расположению.

Proliferation of melanocytes of elongated shape, which tend to be grouped is observed in the dermis.

Невус з балоноподібних клітин
Невус из балоновидных клеток
Nevus from balloon cells



Забарвлення гематоксиліном і еозином

Окраска гематоксилином и еозином

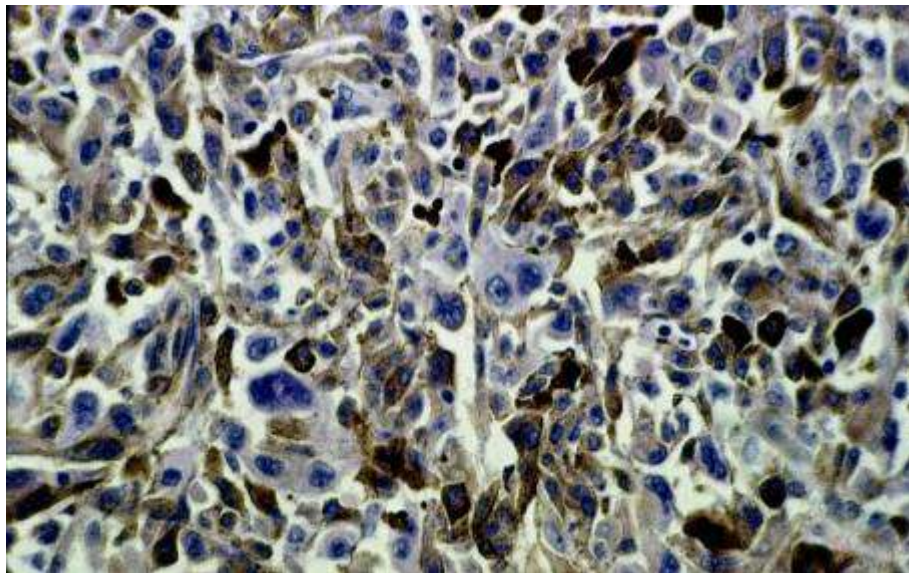
Staining with hematoxylin and eosin

Складається з крупних мономорфних клітин з прозорою цитоплазмою, дрібними ядрами. Визначається коричнево-бурий пігмент – меланін.

Состоит из крупных мономорфных клеток с прозрачной цитоплазмой, мелкими ядрами. Определяется коричнево-бурый пигмент - меланин.

It consists of large monomorphic cells with a transparent cytoplasm, small nuclei. A brown pigment, melanin, is determined.

Меланома
Меланома
Melanoma



Забарвлення гематоксилином і еозином

Окраска гематоксилином и еозином

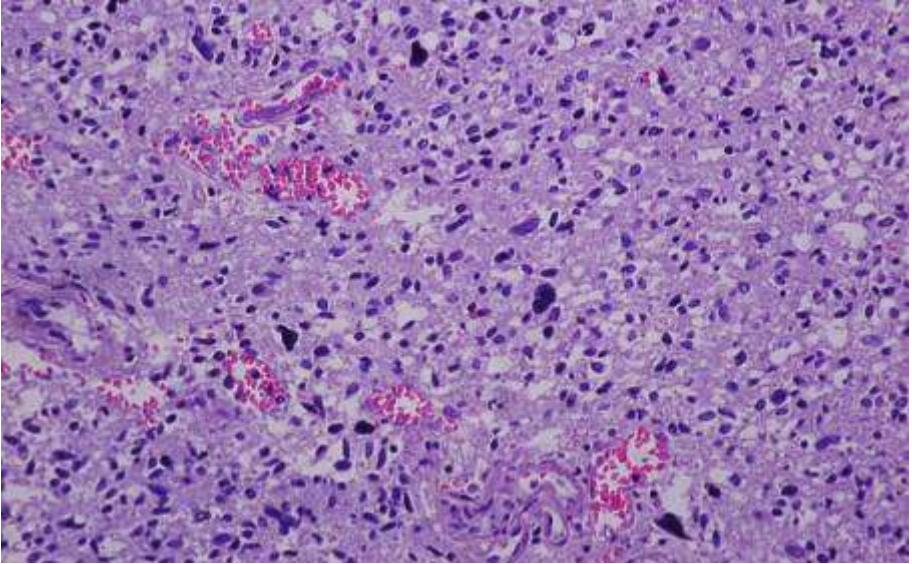
Staining with hematoxylin and eosin

Пухлина складається з потворних клітин з вираженим поліморфізмом, в цитоплазмі більшості з яких визначається коричнево-бурий пігмент – меланін.

Опухоль состоит из уродливых клеток с выраженным полиморфизмом, в цитоплазме большинства из которых определяется коричнево-бурый пигмент - меланин.

The tumor consists of malformed cells with polymorphism, in the cytoplasm of most of which brown pigment (melanin) is determined.

Гліобластома
Глиобластома
Glyoblastoma



Забарвлення гематоксилином і еозином

Окраска гематоксилином и еозином

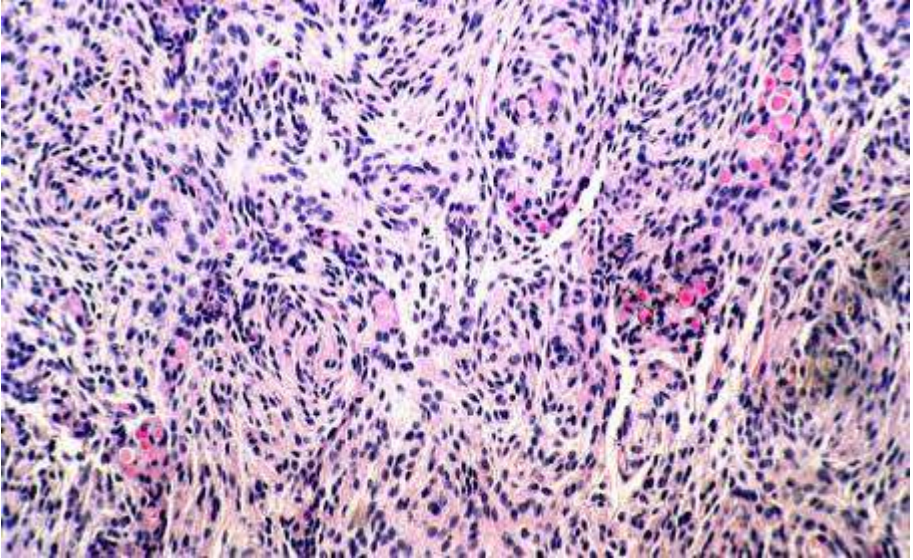
Staining with hematoxylin and eosin

Пухлина побудована з клітин різної форми, що відрізняються розмірами та формою ядер, наявна велика кількість мітозів (виражений клітинний поліморфізм). Пухлина має велику кількість кровоносних судин.

Опухоль построена из клеток различной формы, отличающихся размерами и формой ядер. Имеется большое количество митозов (выраженный клеточный полиморфизм). Опухоль содержит большое количество кровеносных сосудов.

The tumor is constructed of cells of different shapes, size and shape of the nuclei. There is a large number of mitoses (cellular polymorphism). The tumor contains a large number of blood vessels.

Менінгіома
Менингиома
Meningioma



Забарвлення гематоксилином і еозином

Окраска гематоксилином и еозином

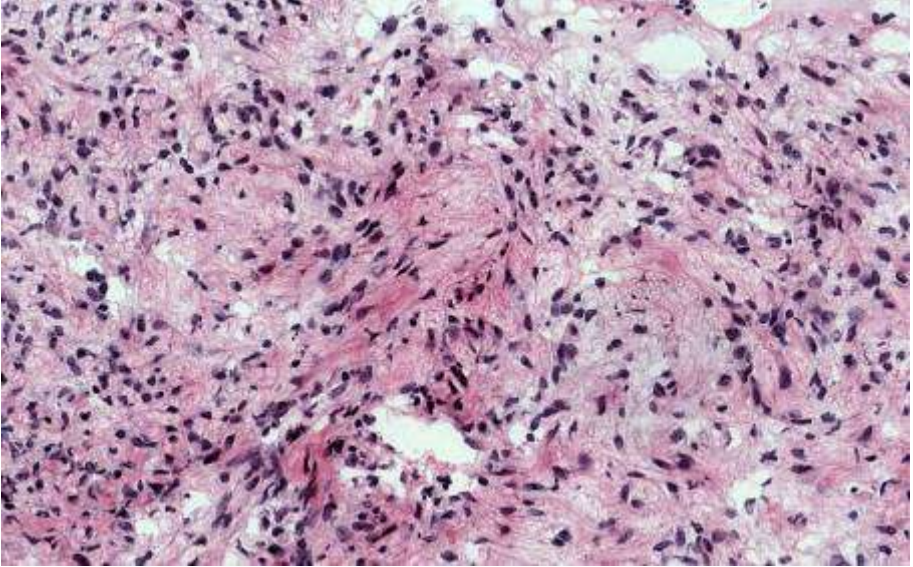
Staining with hematoxylin and eosin

Пухлина побудована з ендотеліоподібних клітин, що утворюють гнізdnі скупчення. Спостерігаються мікроконцентричні структури зі звапнінням (псамомні тільця).

Опухоль построена из эндотелиоподобных клеток, образующих гнездные скопления. Наблюдаются микроконцентрические структуры с обызвествлением (псамомные тельца).

The tumor is constructed of endothelial-like cells forming nesting clusters. Microconcentric structures with calcification (psaminic corpuscles) are observed.

Астроцитома
Астроцитома
Astrocytoma



Забарвлення гематоксилином і еозином

Окраска гематоксилином и еозином

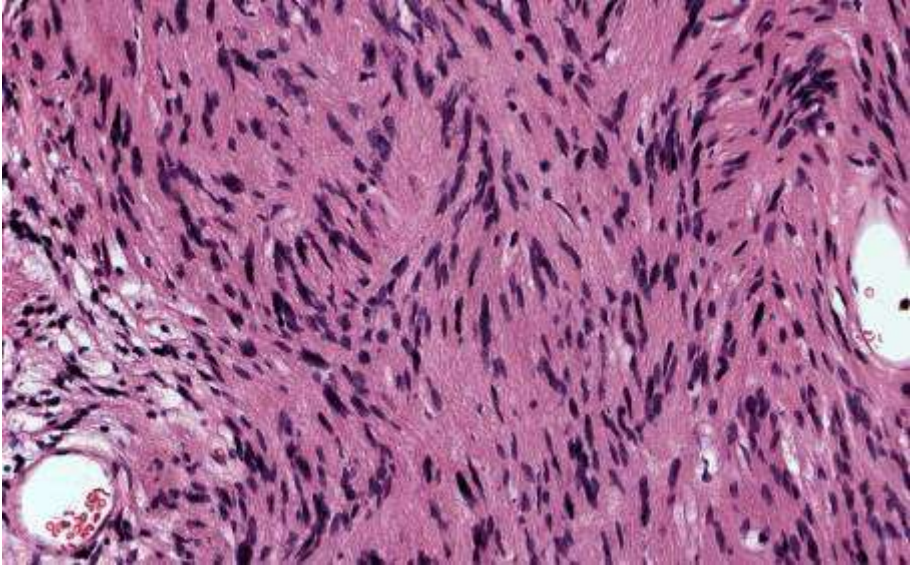
Staining with hematoxylin and eosin

Пухлина побудована з клітин схожих на астроцити, відростки яких переплітаються між собою, утворюючи густу сітку.

Опухоль построена из клеток похожих на астроциты, отростки которых переплетаются между собой, образуя густую сетку.

The tumor is consist of cells similar to astrocytes, the processes of which are intertwined with each other, forming a dense mesh.

Неврилемома (шваннома)
Неврилеммома (шваннома)
Neurilemoma (Schwannoma)



Забарвлення гематоксиліном і еозином

Окраска гематоксилином и еозином

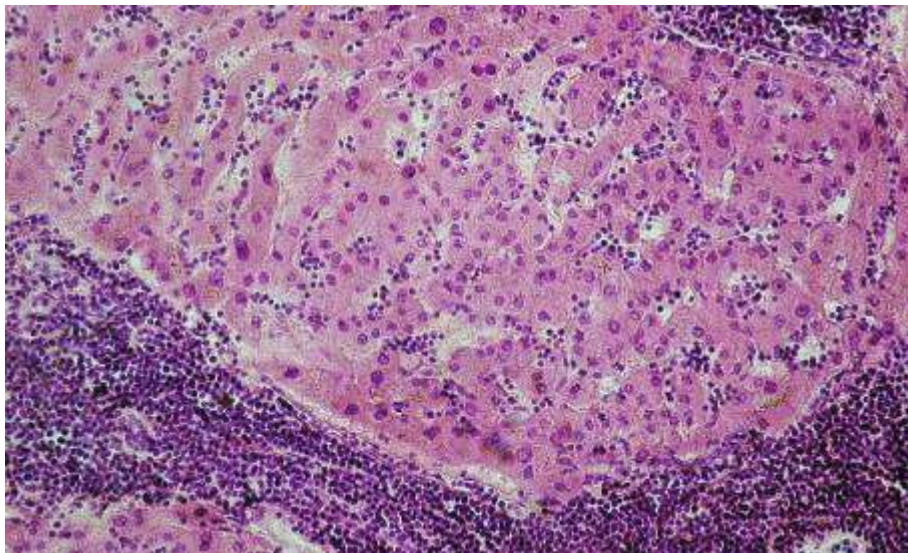
Staining with hematoxylin and eosin

Пухлина побудована з веретеноподібних клітин з паличкоподібними ядрами. Клітини та волокна пухлини утворюють ритмічні структури (ядерні палісади, тільця Верокаї).

Опухоль построена из веретенообразных клеток с палочковидными ядрами. Клетки и волокна опухоли образуют ритмичные структуры (ядерные палисады, тельца Верокаи).

The tumor is constructed of spindle-shaped cells with rod-shaped nuclei. Cells and fibers of the tumor form rhythmic structures (nuclear palisades, bodies of Verokai).

Лейкемічна інфільтрація печінки при гострому лейкозі
Лейкемическая инфильтрация печени при остром лейкозе
Leukemia infiltration of liver in acute leukemia



Забарвлення гематоксилином і еозином

Окраска гематоксилином и еозином

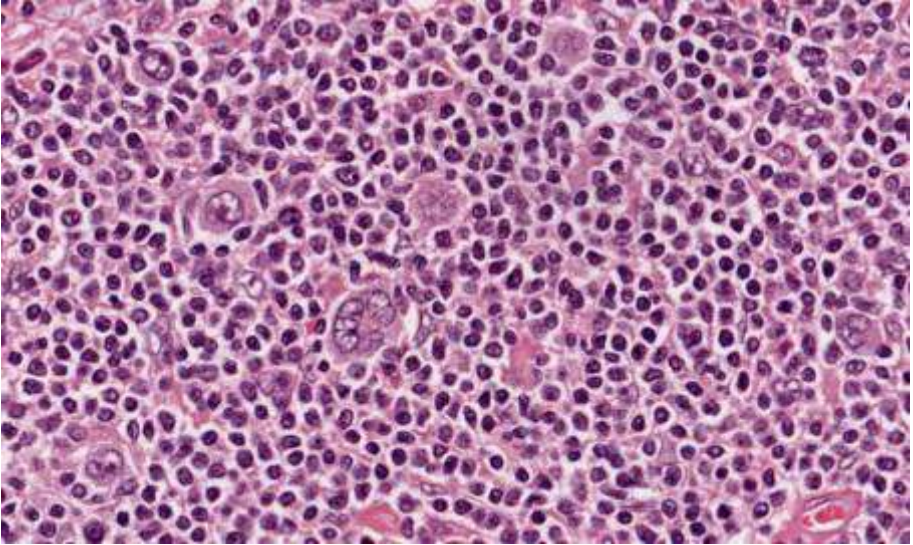
Staining with hematoxylin and eosin

Дрібні мономорфні клітини утворюють значні інфільтрати в перипортальній сполучній тканині та за ходом синусоїдних капілярів.

Мелкие мономорфные клетки образуют значительные инфильтраты в перипортальной соединительной ткани и по ходу синусоидных капилляров.

Small monomorphic cells form significant infiltrates in the periportal connective tissue and along the sinusoidal capillaries.

Лімфогранулематоз
Лимфогранулематоз
Lymphogranulomatosis



Забарвлення гематоксилином і еозином

Окраска гематоксилином и еозином

Staining with hematoxylin and eosin

Типова будова лімфатичного вузла змінена за рахунок проліферації лімфоцитів, гістіоцитів, ретикулярних клітин. Визначаються одноклітинні гігантські клітини (великі клітини Ходжкіна) та багатоядерні клітини Рід-Березовського – Штернберга.

Типичное строение лимфатического узла изменено за счет пролиферации лимфоцитов, гистиоцитов, ретикулярных клеток. Определяются одноклеточные гигантские клетки (крупные клетки Ходжкина) и многоядерные клетки Рид-Березовского - Штернберга.

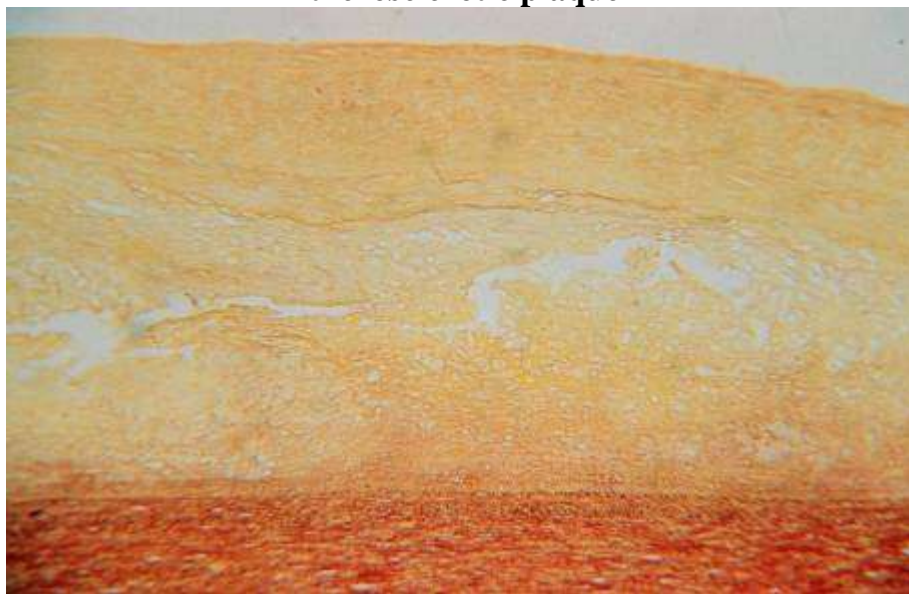
The typical structure of the lymph node is changed due to the proliferation of lymphocytes, histiocytes, and reticular cells. Single-core giant cells (large Hodgkin cells) and multinuclear Rid-Berezovsky-Sternberg cells are determined.

СПЕЦІАЛЬНА
ПАТОМОРФОЛОГІЯ

СПЕЦИАЛЬНАЯ
ПАТОМОРФОЛОГИЯ

SPECIAL
PATHOMORPHOLOGY

Атеросклеротична бляшка
Атеросклеротическая бляшка
Atherosclerotic plaque



Забарвлення за Хартон

Окраска по Харту

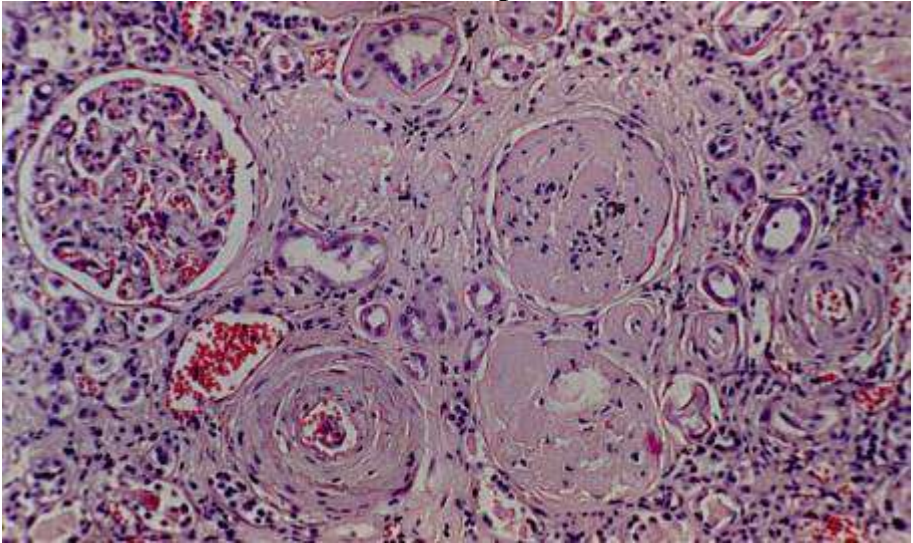
Hart staining

В центрі атеросклеротичної бляшки визначаються гомогенні маси помаранчевого кольору, покришка бляшки представлена гіалінізованою сполучною тканиною.

В центре атеросклеротической бляшки определяются гомогенные массы оранжевого цвета, покрывка бляшки представлена гиалинизированной соединительной тканью.

Homogeneous masses of orange color are determined in the center of the atherosclerotic plaque, the plaque cover is represented by a hyalineized connective tissue.

Артериолосклеротичний нефросклероз
Артериолосклеротический нефросклероз
Arteriosclerotic nephrosclerosis



Забарвлення гематоксилином і еозином

Окраска гематоксилином и еозином

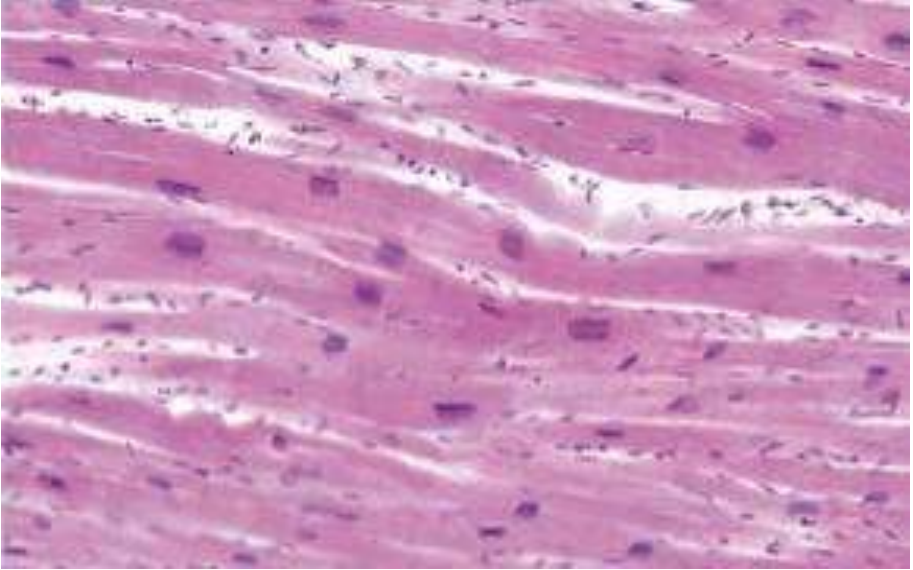
Staining with hematoxylin and eosin

Стінки артеріол різко потовщені, гомогенні, безструктурні, просвіт звужений, місцями облітерований. Колапс клубочків із заміщенням сполучною тканиною або масами гіаліну з утворенням «гіалінових» куль. Канальці атрофовані. Кількість проміжної сполучної тканини збільшена. Збережені нефрони компенсаторно гіпертрофовані.

Стенки артериол резко утолщены, гомогенны, бесструктурны, просвет их сужен, местами облитерирован. Коллапс клубочков с замещением соединительной тканью или массами гиалина с образованием «гиалиновых» шаров. Канальцы атрофированы. Количество межуточной соединительной ткани увеличено. Сохраненные нефроны компенсаторно гипертрофированы.

Walls of arterioles are sharply thickened, homogeneous, structureless, their lumen is narrowed, sometimes obliterated. There are collapse of glomeruli with the replacement of connective tissue or hyaline masses with the formation of "hyaline" balls. The tubules are atrophied. The amount of interstitial connective tissue is increased. The normal nephrons are compensatory hypertrophied.

Гіпертрофія міокарда
Гипертрофия миокарда
Hypertrophy of the myocardium



Забарвлення гематоксилином і еозином

Окраска гематоксилином и еозином

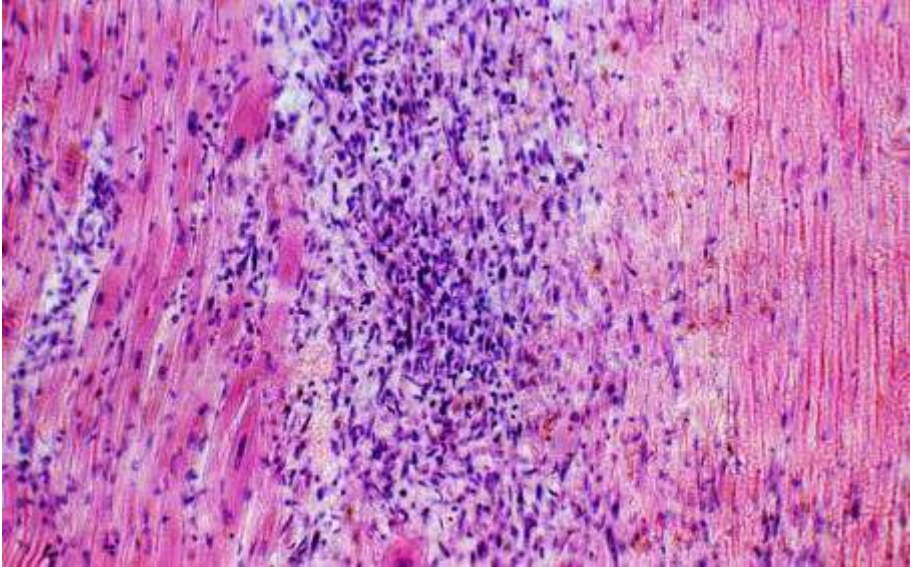
Staining with hematoxylin and eosin

Кардіоміоцити потовщені, їх ядра різко збільшені, круглі, гіперхромні.

Кардиомиоциты утолщены, их ядра резко увеличены, круглые, гиперхромные.

Cardiomyocytes are thickened, their nuclei sharply enlarged, round, hyperchromic.

Інфаркт міокарда Инфаркт міокарда Myocardial infarction



Забарвлення гематоксиліном і еозином

Окраска гематоксилином и еозином

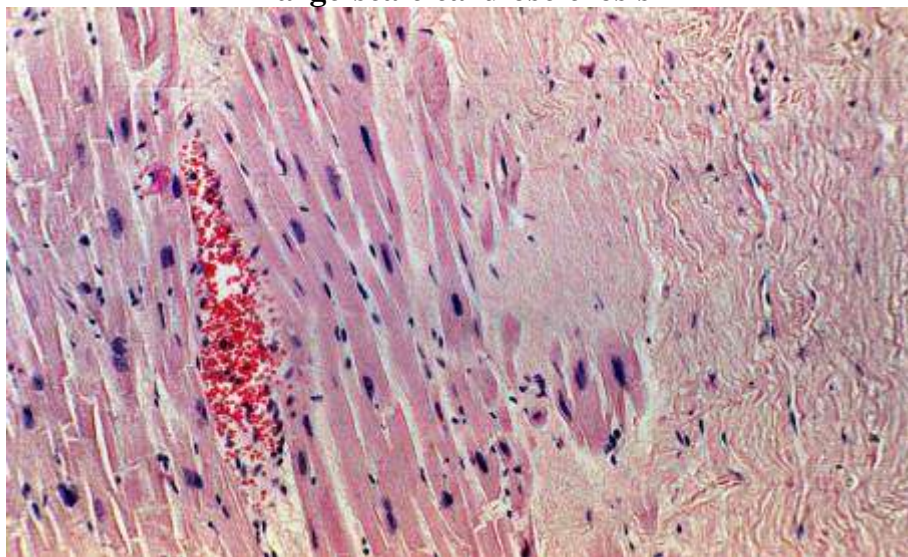
Staining with hematoxylin and eosin

Некротично змінені кардіоміоцити з каріолізисом, коагуляцією і розпадом на грудочки міоплазми, відсутністю поперечної посмугованості і меж клітин; інфільтрація поліморфноядерними лейкоцитами, макрофагами, плазматичними клітинами; (демаркаційне запалення) ділянки збереженого міокарда.

Некротически измененные кардиомиоциты с кариолизисом, коагуляцией и распадом на глыбки миоплазмы, отсутствие поперечной исчерченности и границ клеток; инфильтрация полиморфноядерными лейкоцитами, макрофагами, плазматическими клетками (демаркационное воспаление) участка сохраненного миокарда.

There are necrotic altered cardiomyocytes with karyolysis, coagulation and disintegration on the myoplasmal lumps, absence of transverse striation and cell boundaries; infiltration of polymorphonuclear leukocytes, macrophages, plasma cells (demarcation inflammation) of the site of the preserved myocardium.

Крупновогнищевый кардиосклероз
Крупноочаговый кардиосклероз
Large-scale cardiosclerosis



Забарвлення гематоксилином і еозином

Окраска гематоксилином и еозином

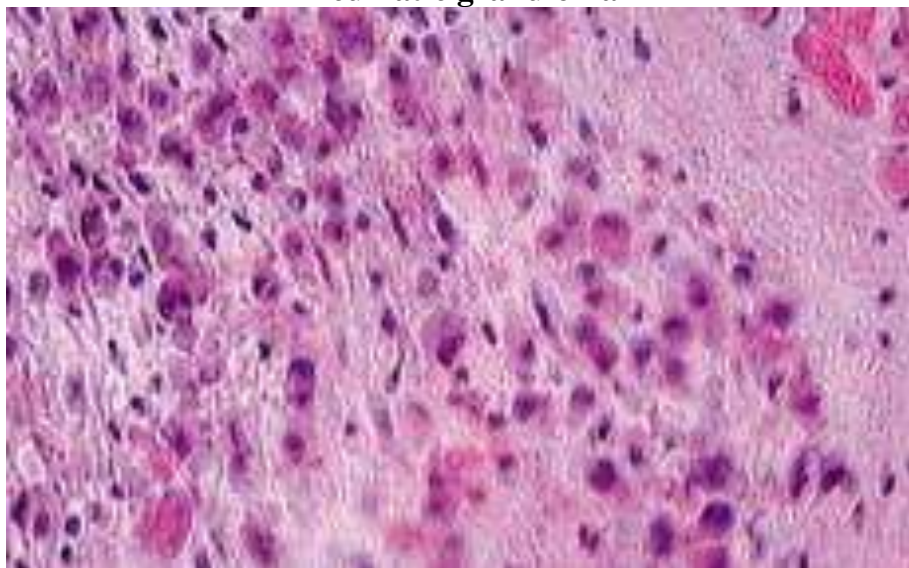
Staining with hematoxylin and eosin

У міокарді спостерігається ділянка грубоволокнистої сполучної тканини, м'язові волокна навколо рубця потовщені, з великими ядрами (замісна гіпертрофія).

В миокарде наблюдается участок грубоволокнистой соединительной ткани, мышечные волокна вокруг рубца утолщенные, с большими ядрами (заместительная гипертрофия).

There is a section of coarse-fibrous connective tissue in the myocardium, the muscle fibers around the scar are thickened, with large nuclei (replacement hypertrophy).

Ревматична гранульома
Ревматическая гранулема
Rheumatic granuloma



Забарвлення гематоксилином і еозином

Окраска гематоксилином и эозином

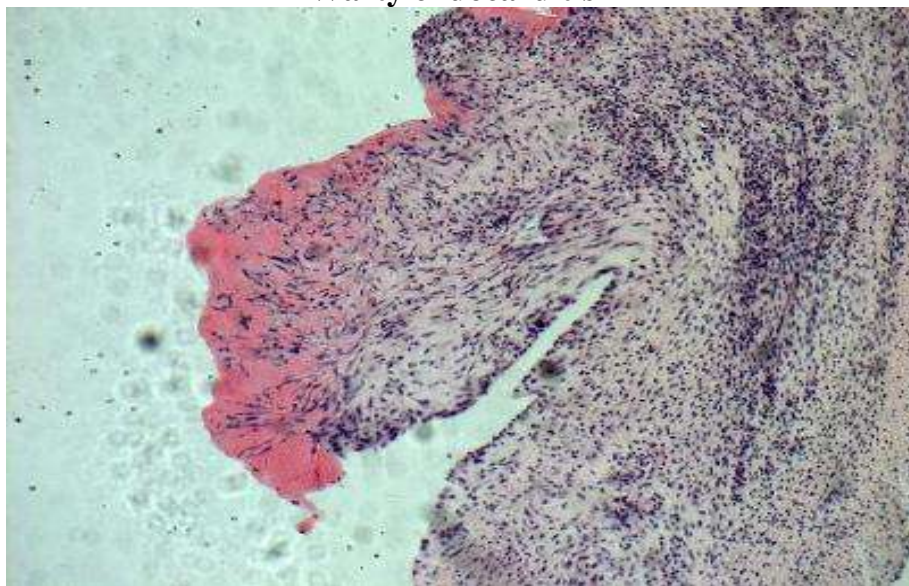
Staining with hematoxylin and eosin

В інтерстиції міокарда визначається гранульома Ашофа-Талалаєва, що складається з ділянки фібриноїдного некрозу, оточеного великими макрофагами з гіперхромними темними ядрами, лімфоцитами, плазмоцитами; м'язові волокна гіпертрофовані.

В интерстиции миокарда определяется гранулема Ашофф-Талалаева, состоящая из участка фибриноидного некроза, окруженного большими макрофагами с гиперхромными темными ядрами, лимфоцитами, плазмоцитами; мышечные волокна гипертрофированы.

In the interstitium of the myocardium, the Aschoff-granuloma is determined, consisting of a fibrinoid necrosis region surrounded by large macrophages with hyperchromic dark nuclei, lymphocytes, and plasmocytes; muscle fibers are hypertrophied.

Бородавчатий ендокардит
Бородавчатый эндокардит
Warty endocarditis



Забарвлення гематоксиліном і еозином

Окраска гематоксилином и еозином

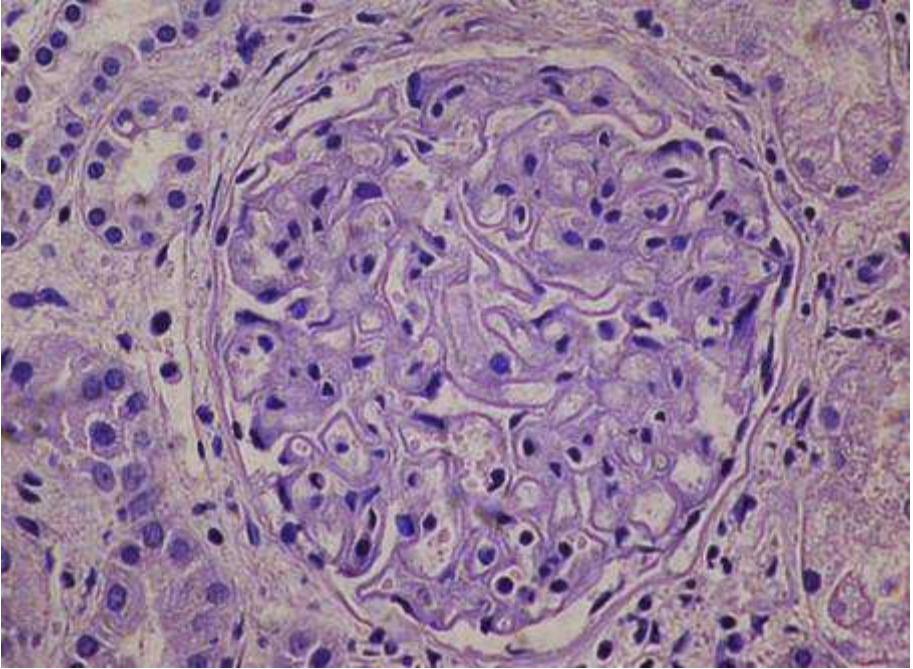
Staining with hematoxylin and eosin

Стулка клапана потовщена за рахунок склерозу і гіалінозу; на периферії стулки - мукоїдне набухання і фібриноїдний некроз, біля зони некрозу ендотелій зруйнований з прикріпленим змішаним тромбом; у товщі клапана - дифузний лімфомакрофагальний інфільтрат, новоутворені судини капілярного типу.

Створка клапана утолщена за счет склероза и гиалиноза; на периферии створки - мукоидное набухание и фибриноидный некроз, у зоны некроза эндотелий разрушен с прикрепленным смешанным тромбом; в толще клапана - диффузный лимфомакрофагальный инфильтрат, новообразованные сосуды капиллярного типа.

The valve leaf is thickened due to sclerosis and hyalinosis; on the periphery of the valve - mucoid swelling and fibrinoid necrosis; in the necrosis zone, the endothelium is destroyed with an attached mixed thrombus; in the thickness of the valve - diffuse lymphomacrophagal infiltrate, newly formed vessels of capillary type.

Вовчаковий нефрит
Волчаночный нефрит
Lupus nephritis



Забарвлення гематоксиліном і еозином

Окраска гематоксилином и еозином

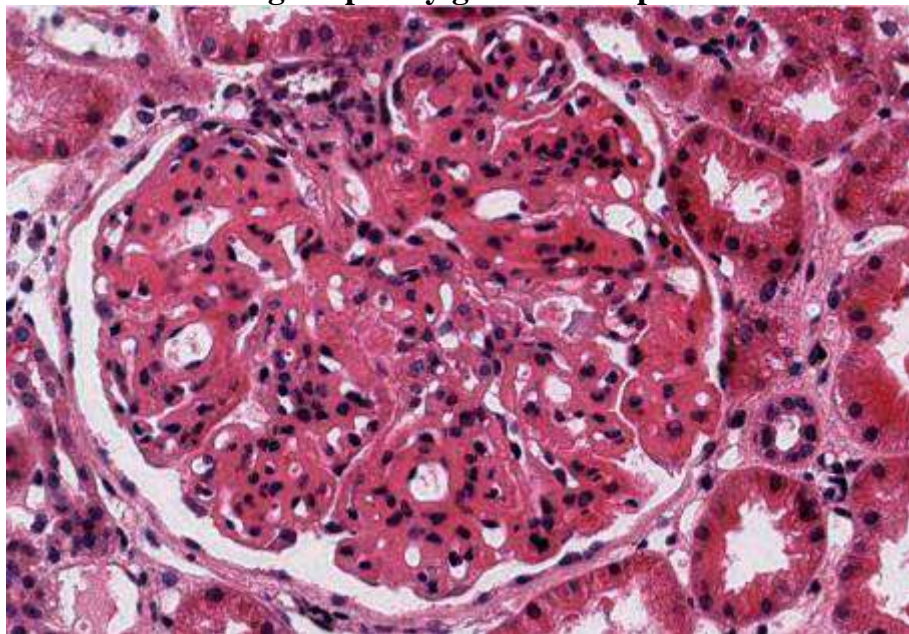
Staining with hematoxylin and eosin

Ниркові клубочки збільшені у розмірах, потовщення стінок капілярів у вигляді «дротяних петель» та проліферація клітин мезангіума.

Почечные клубочки увеличены в размерах, утолщение стенок капилляров в виде «проволочных петель» и пролиферация клеток мезангиума.

The renal glomeruli are enlarged in size, the thickening of the capillary walls in the form of "wire loops" and the proliferation of mesangium cells.

Мезангіокапілярний гломерулонефрит
Мезангиокапиллярный гломерулонефрит
Mesangiocapillary glomerulonephritis



Забарвлення гематоксилином і еозином

Окраска гематоксилином и еозином

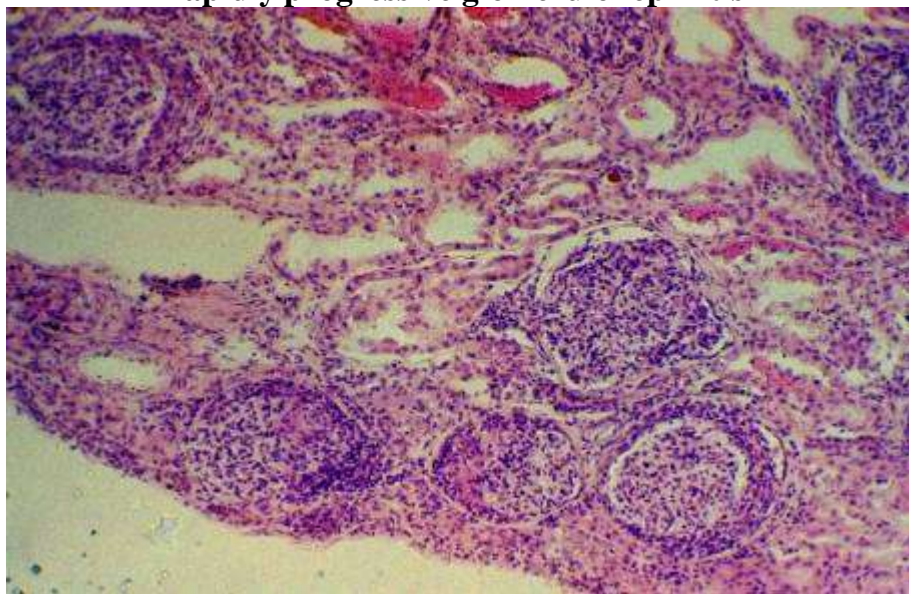
Staining with hematoxylin and eosin

Визначається дифузне потовщення стінок капілярів клубочків, помірна проліферація мезангіоцитів, з парціальним гіалінозом та лапчастим виглядом клубочків. В епітелії звивистих каналців - дистрофічні зміни.

Определяется диффузное утолщение стенок капилляров клубочков, умеренная пролиферация мезангиоцитов с парциальным гиалинозом и лапчатым видом клубочков. В эпителии канальцев - дистрофические изменения.

A diffuse thickening of the walls of the glomerular capillaries is determined; there are a moderate proliferation of mesangiocytes with partial hyalinosis and a globular view of the glomeruli. Dystrophic changes occur in the epithelium of the tubules.

Швидкопрогресуючий гломерулонефрит
Быстро прогрессирующий гломерулонефрит
Rapidly progressive glomerulonephritis



Забарвлення гематоксилином і еозином

Окраска гематоксилином и еозином

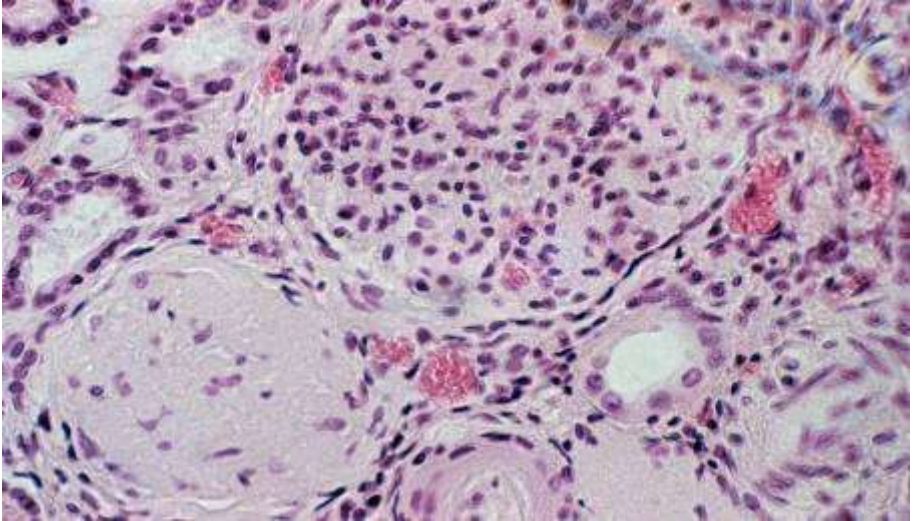
Staining with hematoxylin and eosin

Запальний процес локалізується переважно екстракапілярно і представлений проліферацією подоцитів і нефротелію з утворенням, характерних для цього виду нефриту, «півмісяців».

Воспалительный процесс локализуется преимущественно экстракапиллярно и представлен пролиферацией подоцитов и нефротелия с образованием, характерных для этого вида нефрита, «полулунный».

The inflammatory process is localized mainly extracapillary and is represented by the proliferation of podocytes and nephrothelia with the formation of "semi-moons", which specific of this type of nephritis.

Вторинно-зморщена нирка внаслідок хронічного гломерулонефриту
Вторично-сморщенная почка в результате хронического
гломерулонефрита
Secondary-wrinkled kidney as a result of chronic glomerulonephritis



Забарвлення гематоксилином і еозином

Окраска гематоксилином и еозином

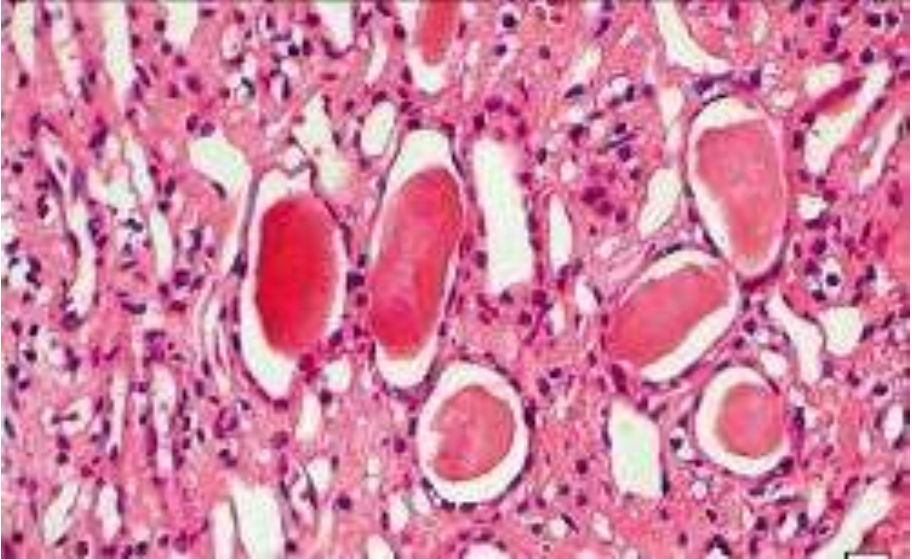
Staining with hematoxylin and eosin

В одних ділянках відзначається атрофія клубочків і канальців, заміщення їх сполучною тканиною. Клубочки мають вигляд рубчиків або гіалінових кульок; в інших ділянках клубочки збережені, іноді гіпертрофовані, капілярні петлі склерозовані, просвіт канальців розширений, епітелій потовщений; артеріоли склерозовані та гіалінізовані.

В одних участках отмечается атрофия клубочков и канальцев, замещение их соединительной тканью. Клубочки имеют вид рубчиков или гиалиновых шаров; в других участках клубочки сохранены, иногда гипертрофированы, капиллярные петли склерозированы, просвет канальцев расширен, эпителий утолщен; артериолы склерозированы и гиалинизированы.

Atrophy of glomeruli and tubules is noted in some areas, their replacement by connective tissue. The glomeruli look like ribs or hyaline balls; the glomeruli are preserved, sometimes hypertrophied in other parts of kidney, capillary loops are sclerosed, the lumen of the tubules is enlarged, the epithelium thickened; arterioles are sclerotized and hyalinized.

Хронічний пієлонефрит («щитоподібна нирка»)
Хронический пиелонефрит («щитовидная почка»)
Chronic pyelonephritis ("thyroid kidney")



Забарвлення гематоксиліном і еозином

Окраска гематоксилином и еозином

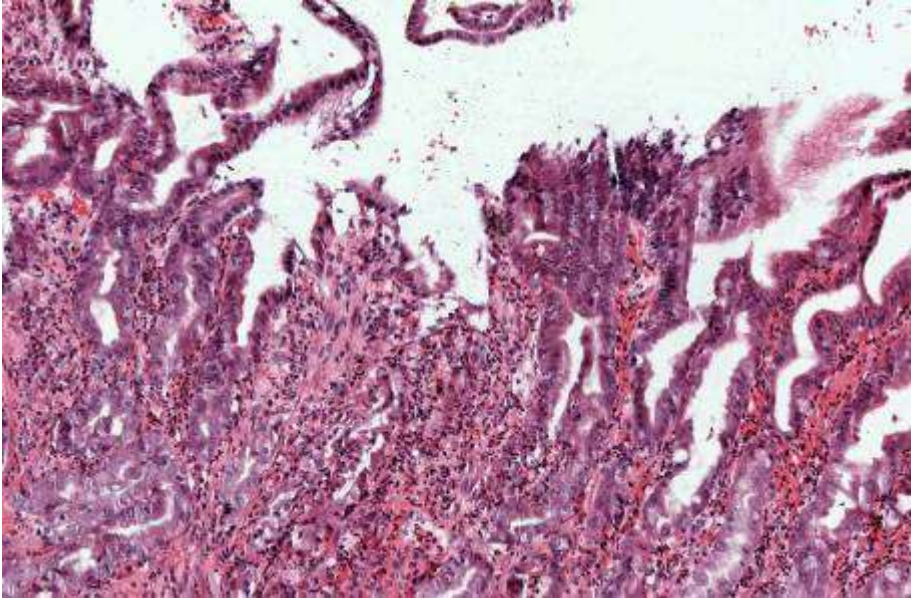
Staining with hematoxylin and eosin

Ниркові каналці розширені з атрофією епітелію, їх просвіт заповнений коллоїдоподібним вмістом (білковими циліндрами).

Почечные каналцы расширены с атрофией эпителия, их просвет заполнен коллоидоподобным содержимым (белковыми цилиндрами).

The renal tubules are dilated with atrophy of the epithelium, their lumen is filled with colloid-like content (protein cylinders).

Гострий некротичний гастрит
Острый некротический гастрит
Acute necrotizing gastritis



Забарвлення гематоксилином і еозином

Окраска гематоксилином и еозином

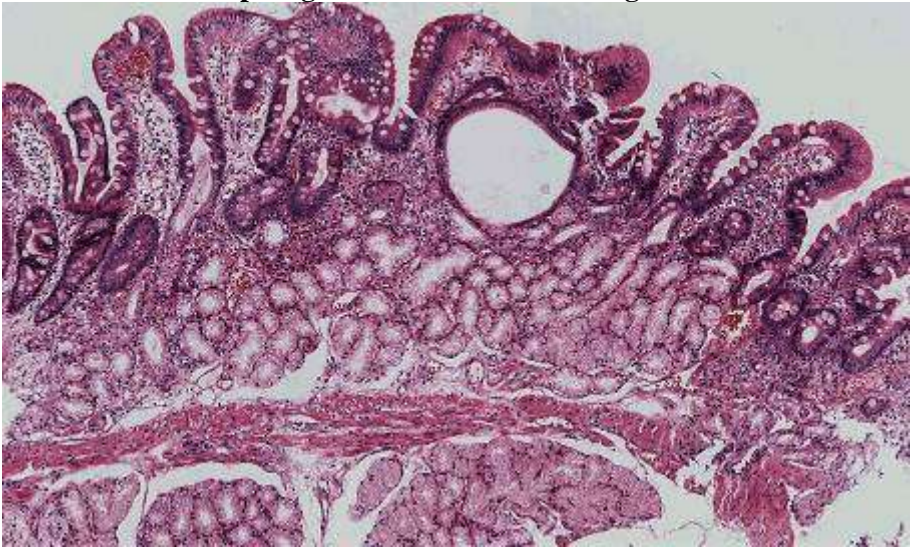
Staining with hematoxylin and eosin

В поверхневих відділах слизової оболонки спостерігаються альтеративні зміни, в глибоких відділах – запальна інфільтрація, крововиливи.

В поверхностных отделах слизистой оболочки наблюдаются альтеративные изменения, в глубоких отделах - воспалительная инфильтрация, кровоизлияния.

In the superficial sections of the mucous membrane, alterative changes are observed, in the deep sections - inflammatory infiltration, hemorrhages.

Хронічний атрофічний гастрит з перебудовою слизової оболонки
Хронический атрофический гастрит с перестройкой слизистой
оболочки
Chronic atrophic gastritis with restructuring of the mucosa



Забарвлення гематоксиліном і еозином
Окраска гематоксилином и еозином
Staining with hematoxylin and eosin

Слизова оболонка шлунка різко стоншена, залози зменшені, розташовані групами. Протоки залоз розширені. Зустрічаються фокуси кишкової метаплазії з келихоподібних клітин. У власній пластинці слизової оболонки дифузний лімфоплазмоцитарний інфільтрат, склероз.

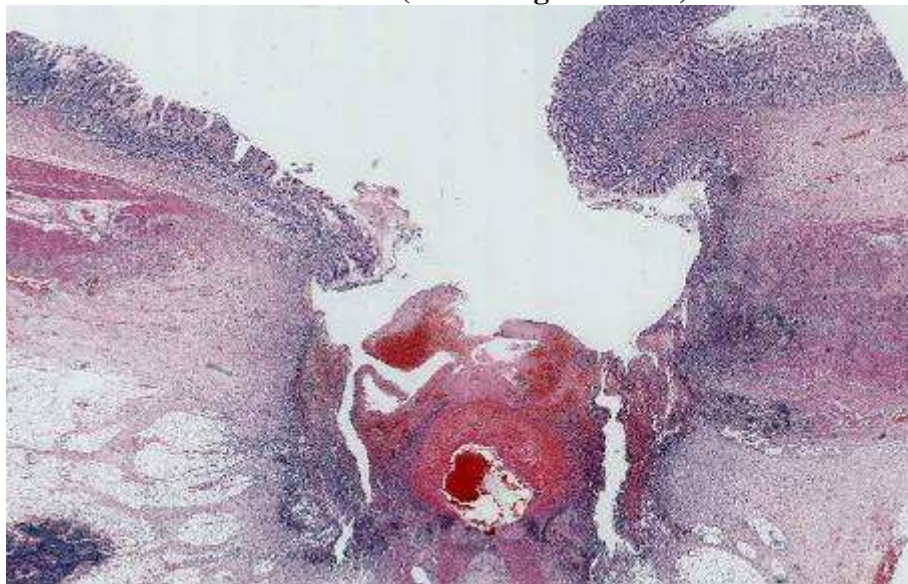
Слизистая оболочка желудка резко истончена, железы уменьшены, расположены группами. Протоки желез расширены. Встречаются фокусы кишечной метаплазии из бокаловидных клеток. В собственной пластинке слизистой оболочки диффузный лимфоплазмочитарный инфильтрат, склероз.

The mucous membrane of the stomach is sharply thinned, the glands are reduced, arranged in groups. The glandular ducts are enlarged. There are foci of intestinal metaplasia from goblet cells. In proper plate of the mucous membrane diffuse lymphoplasmocytic infiltrate, sclerosis.

**Будова стінки хронічної виразки шлунка із загостренням
(мале збільшення)**

**Строение стенки хронической язвы желудка с обострением
(малое увеличение)**

**The structure of the wall of chronic gastric ulcer with
exacerbation (small magnification)**



Забарвлення гематоксилином і еозином

Окраска гематоксилином и еозином

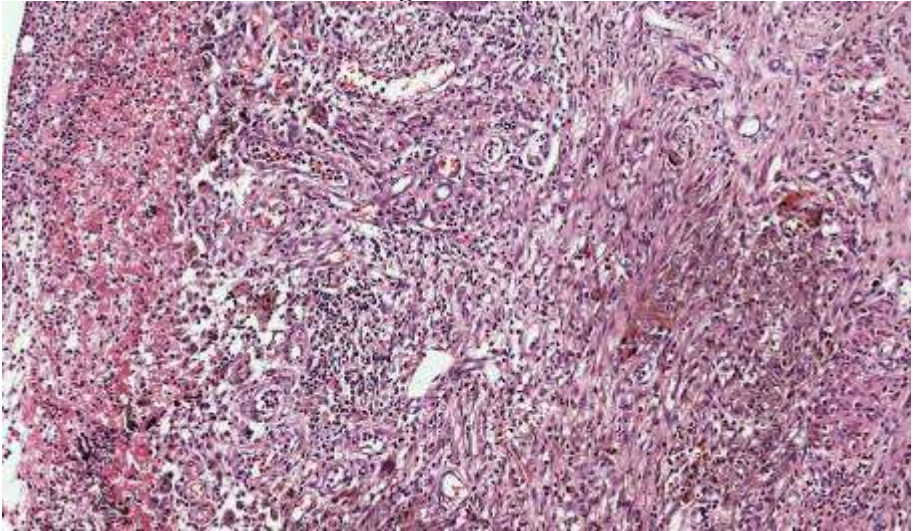
Staining with hematoxylin and eosin

Кардіальний край виразки підритий, нависає над дном виразки, пілоричний – пологий. В області дна і країв виразки спостерігається зона фібриноїдного некрозу та значний фібринозно-гнійний ексудат.

Кардиальный край язвы подрит, нависает над дном язвы, пилорический - пологий. В области дна и краев язвы наблюдается зона фибриноидного некроза и значительный фибринозно-гнойный экссудат.

The cardinal edge of the ulcer is dug, overhangs over the bottom, pyloric - gently sloping. In the region of the bottom and edges of the ulcer, a zone of fibrinoid necrosis and a considerable fibrinous-purulent exudate are observed.

**Будова стінки хронічної виразки шлунка із загостренням
(велике збільшення)**
**Строение стенки хронической язвы желудка с обострением
(большое увеличение)**
**The structure of the wall of chronic gastric ulcer with exacerbation (large
magnification)**



Забарвлення гематоксиліном і еозином

Окраска гематоксилином и еозином

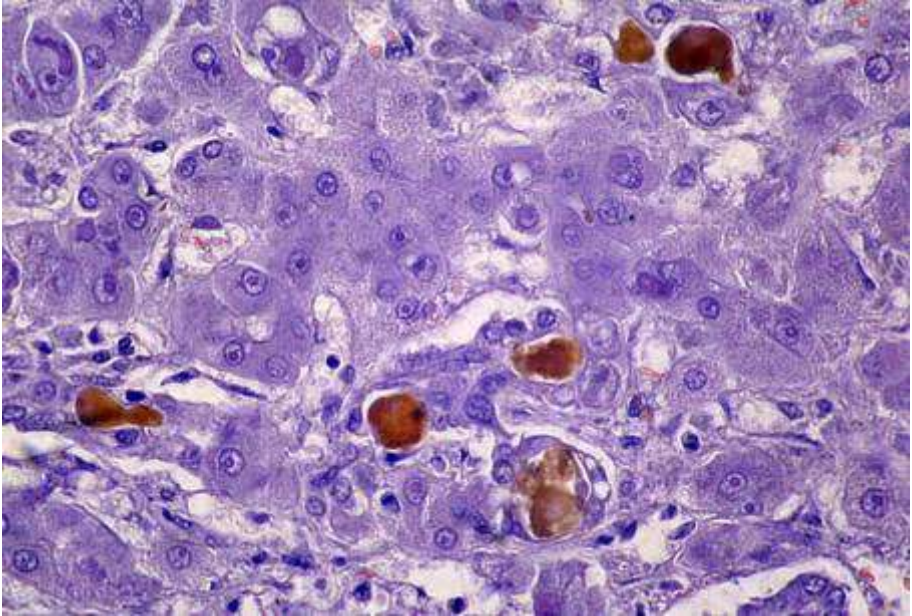
Staining with hematoxylin and eosin

В будові стінки виразки визначається три зони. Внутрішня – зона фібриноїдного некрозу з лейкоцитарною інфільтрацією. Назовні розташована грануляційна тканина з великою кількістю тонкостінних кровоносних судин і клітин, серед яких багато еозинофілів. Глибше за грануляційною тканиною розташована грубоволокниста сполучна тканина.

В строении стенки язвы определяется три зоны. Внутренняя - зона фибриноидного некроза с лейкоцитарной инфильтрацией. Кнаружи расположена грануляционная ткань с большим количеством тонкостенных кровеносных сосудов и клеток, среди которых много эозинофилов. Под грануляционной тканью расположена грубоволокнистая соединительная ткань.

Three zones are defined in the structure of the ulcer wall. Internal - the zone of fibrinoid necrosis with leukocyte infiltration. Outside there is a granulation tissue with a large number of thin-walled blood vessels and cells, among which there are many eosinophils. Under the granulation tissue is a coarse-fibrous connective tissue.

Холестатичний гепатит
Холестатический гепатит
Cholestatic hepatitis



Забарвлення гематоксилином і еозином

Окраска гематоксилином и еозином

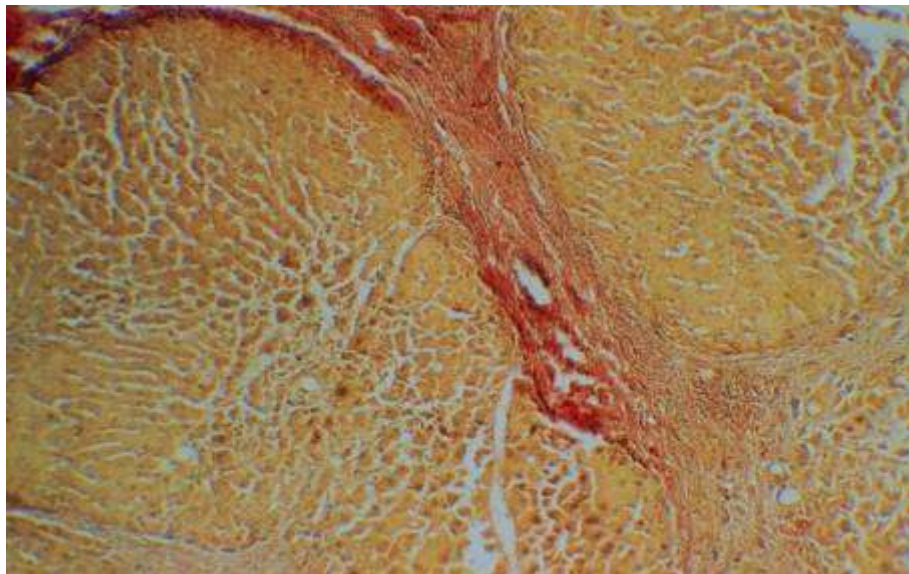
Staining with hematoxylin and eosin

Жовчні протоки та капіляри різко розширені, переповнені жовчю, стінки жовчних капілярів потовщені з лімфогістіоцитарною інфільтрацією, гепатоцити в стані білкової дистрофії.

Желчные протоки и капилляры резко расширены, переполнены желчью, стенки желчных капилляров утолщенные с лимфогистиоцитарной инфильтрацией, гепатоциты в состоянии белковой дистрофии.

The bile ducts and capillaries are sharply expanded, are full of bile, the walls of the bile capillaries are thickened with lymphohistiocytic infiltration, hepatocytes are in the state of protein dystrophy.

Портальний цирроз печінки
Портальный цирроз печени
Portal cirrhosis of the liver



Забарвлення за Ван-Гізеном

Окраска по Ван-Гизону

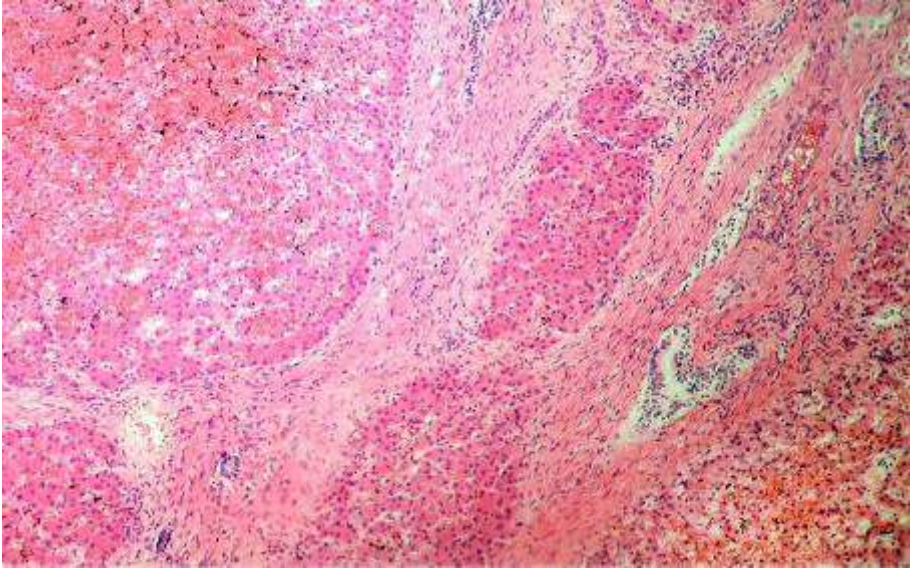
Van Gieson staining

Порушення часточкової будови печінки, утворення несправжніх часточок, які розділені вузькими пучками сполучної тканини, інфільтрованої лімфоцитами та макрофагами.

Нарушение дольчатого строения печени, образование ложных долек, разделенных узкими пучками соединительной ткани, инфильтрированной лимфоцитами и макрофагами.

There are violation of the lobular structure of the liver, the formation of false lobules, separated by narrow bundles of connective tissue, infiltrated lymphocytes and macrophages.

Цирроз печінки
Цирроз печени
Cirrhosis of the liver



Забарвлення гематоксилином і еозином

Окраска гематоксилином и еозином

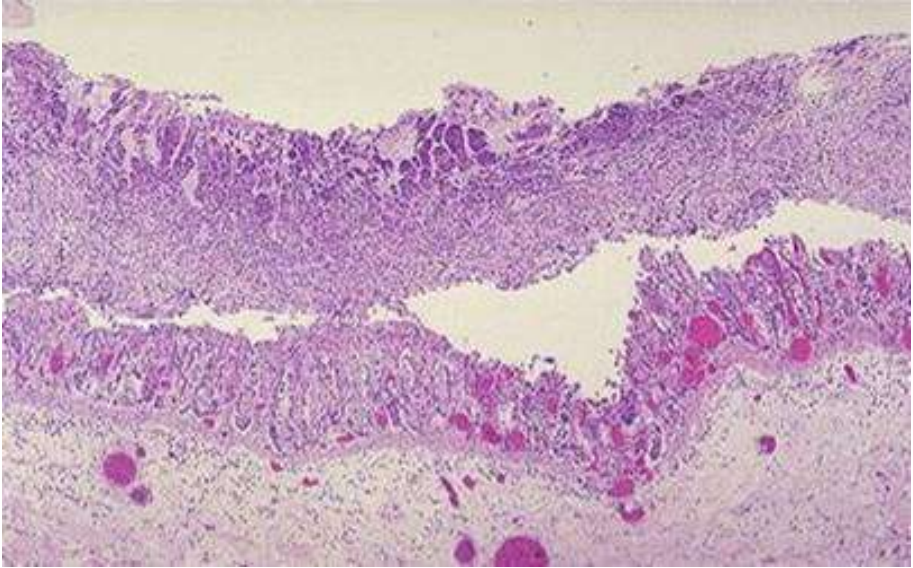
Staining with hematoxylin and eosin

Спостерігається наявність несправжніх часточок, які розділені широкими пучками сполучної тканини зі зближенням триад.

Наблюдается наличие ложных долек, разделенных широкими пучками соединительной ткани со сближением триад.

There is a presence of false lobules, separated by wide bundles of connective tissue with the convergence of triads.

Дифтеритичний коліт при дизентерії
Дифтеритический колит при дизентерии
Diphtheric colitis with dysentery



Забарвлення гематоксилином і еозином

Окраска гематоксилином и еозином

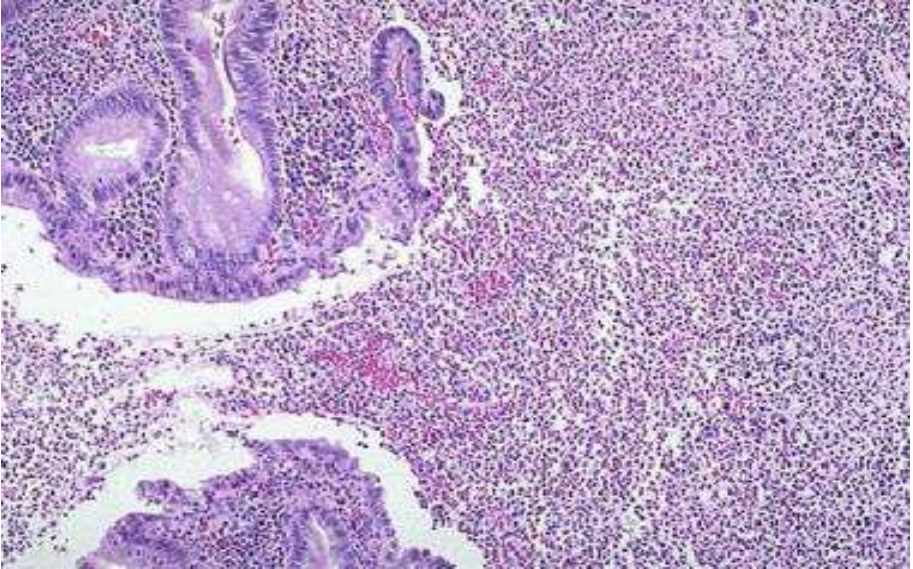
Staining with hematoxylin and eosin

Визначаються запальні зміни в різних шарах стінки кишки: в слизовій оболонці некроз, фібринозний наліт, в підслизовій оболонці - повнокрів'я, лейкоцитарна інфільтрація.

Определяются воспалительные изменения в различных слоях стенки кишки. В слизистой оболочке некроз, фибринозный налет, в подслизистой оболочке - полнокровие, лейкоцитарная инфильтрация.

Inflammatory changes in various layers of the intestinal wall are determined. There are necrosis, fibrinous plaque in the mucous membrane, plethora, leukocyte infiltration are in the submucosa.

Флегмонозный аппендицит
Флегмонозный аппендицит
Phlegmonous appendicitis



Забарвлення гематоксилином і еозином

Окраска гематоксилином и еозином

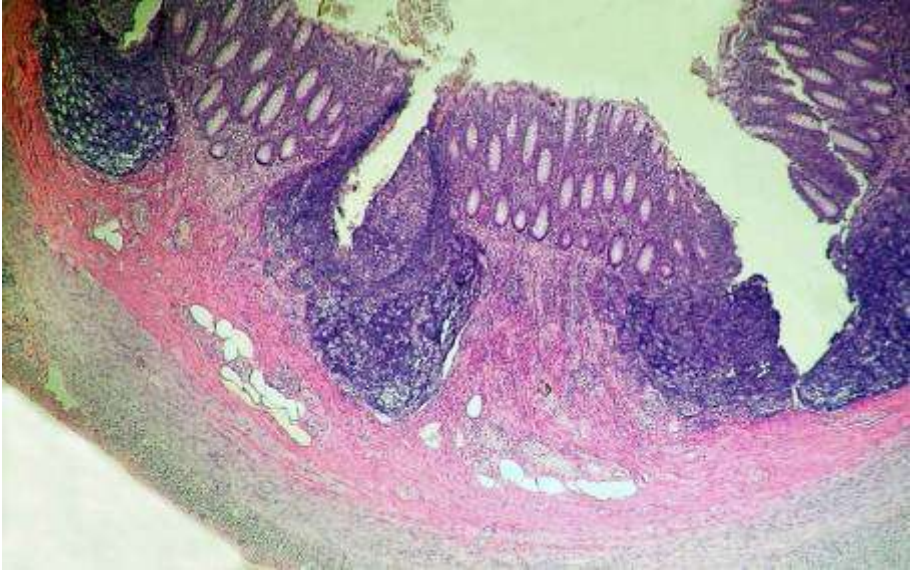
Staining with hematoxylin and eosin

В усіх оболонках стінки апендикса рясна інфільтрація нейтрофільними сегментоядерними лейкоцитами.

Во всех оболочках стенки аппендикса обильная инфильтрация нейтрофильными сегментоядерными лейкоцитами.

There is abundant infiltration by neutrophilic segment-nucleated leukocytes in all layers of the appendix wall.

Хронічний апендицит
Хронический апендицит
Chronic appendicitis



Забарвлення гематоксилином і еозином

Окраска гематоксилином и еозином

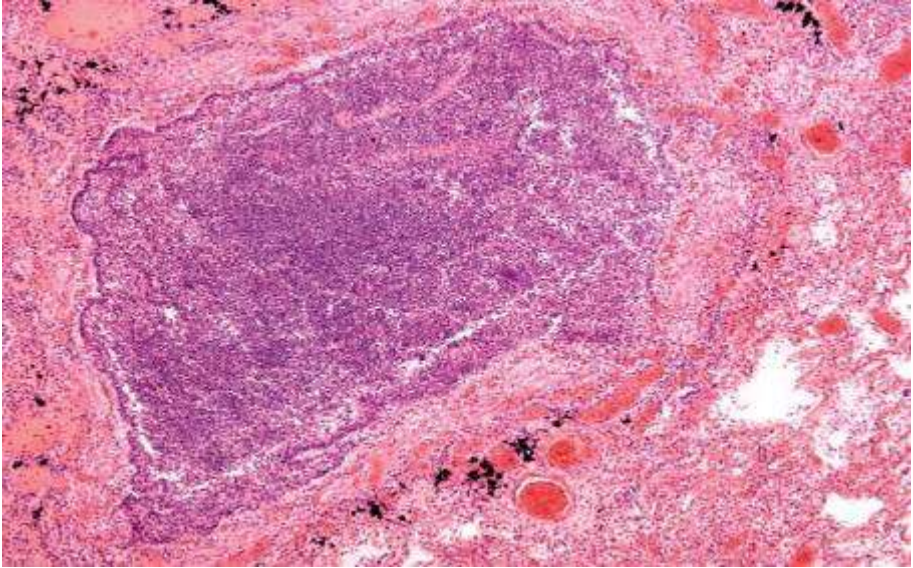
Staining with hematoxylin and eosin

Стінка апендикса потовщена, визначається її склероз, атрофія залоз.

Стенка аппендикса утолщена, определяется ее склероз, атрофия желез.

The appendix wall is thickened, sclerotized, atrophy of glands is determined.

Бронхопневмонія
Бронхопневмония
Bronchopneumonia



Забарвлення гематоксилином і еозином

Окраска гематоксилином и еозином

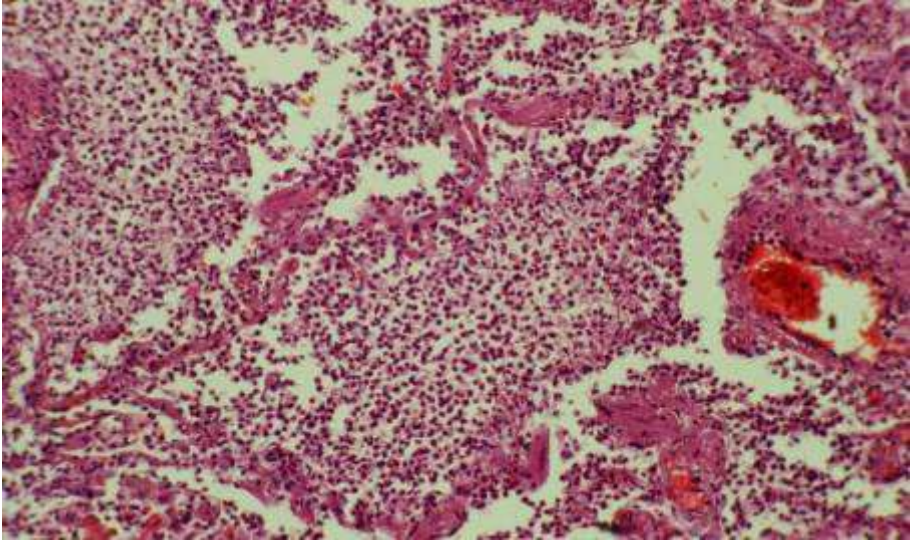
Staining with hematoxylin and eosin

Всі оболонки стінки бронха інфільтровані поліморфно-ядерними лейкоцитами (панбронхіт), в просвіті бронха серозно-лейкоцитарний ексудат з домішками злущених клітин епітелію. Є ділянки деструкції стінки бронха. В прилягаючих альвеолах теж серозно-лейкоцитарний ексудат.

Все оболочки стенки бронха инфильтрированы полиморфно-ядерными лейкоцитами (панбронхит), в просвете бронха серозно-лейкоцитарный экссудат с примесью слущенных клеток эпителия. Есть участки деструкции стенки бронха. В прилегающих альвеолах тоже серозно-лейкоцитарный экссудат.

Polymorphonuclear leukocytes (panbronchitis) are infiltrated all the walls of the bronchus wall, serous-leukocyte exudate with an admixture of desquamated epithelial cells are in the bronchus lumen. There are areas of destruction of the bronchus wall. Serous-leukocyte exudate are also in the adjacent alveoli.

Крупозна пневмонія (стадія сірої гепатизації)
Крупозная пневмония (стадия серой гепатизации)
Croupous pneumonia (stage of gray hepatization)



Забарвлення гематоксилином і еозином

Окраска гематоксилином и еозином

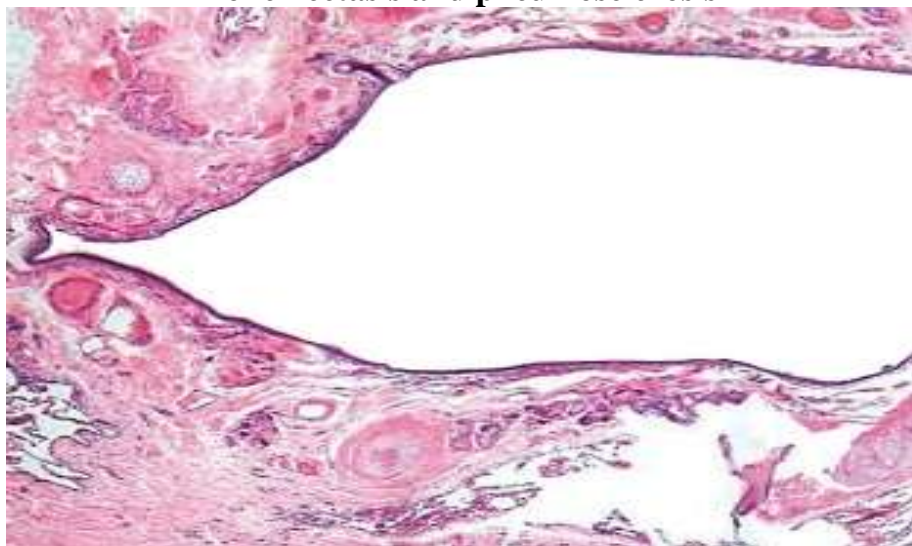
Staining with hematoxylin and eosin

Розширені просвіти альвеол заповнені екссудатом, що складається із ниток фібрину, нейтрофільних лейкоцитів, окремих альвеолярних макрофагів; капіляри альвеолярних перегородок стають пустими, невидимими.

Расширенные просветы альвеол заполнены экссудатом, состоящим из нитей фибрина, нейтрофилов, отдельных альвеолярных макрофагов; капилляры альвеолярных перегородок становятся пустыми, невидимыми.

The enlarged lumens of the alveoli are filled with exudate consisting of filaments of fibrin, neutrophils, individual alveolar macrophages; capillaries of alveolar septa become empty, invisible.

Бронхоектази та пневмосклероз
Бронхоэктазы и пневмосклероз
Bronchiectasis and pneumosclerosis



Забарвлення гематоксилином і еозином

Окраска гематоксилином и еозином

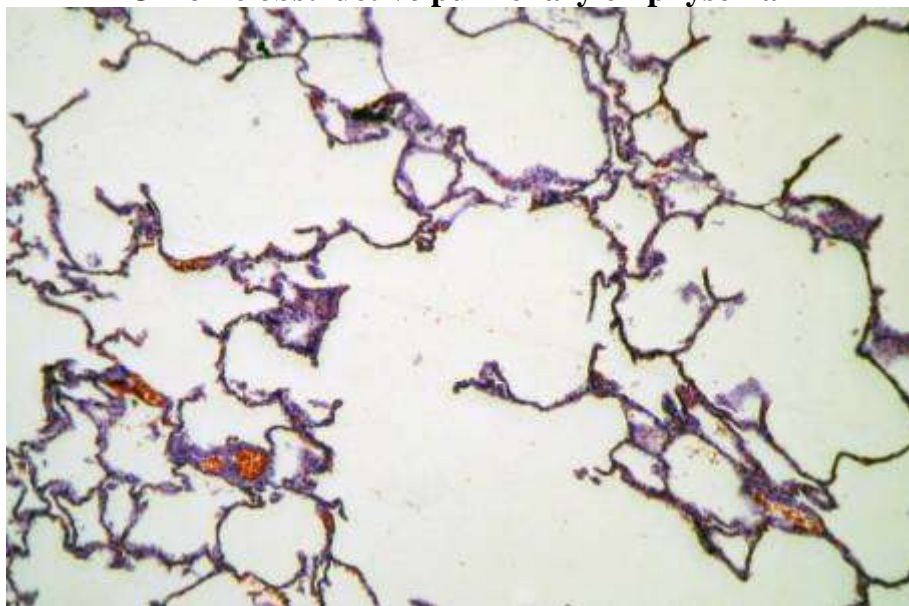
Staining with hematoxylin and eosin

Базальна мембрана слизової оболонки бронха потовщена, гіалінізована. Склероз і дифузна запальна інфільтрація (лейкоцити, лімфоцити, макрофаги) підслизового шару, слизові залози і м'язова оболонка атрофічні.

Базальная мембрана слизистой оболочки бронха утолщена, гиалинизирована. Склероз и диффузная воспалительная инфильтрация (лейкоциты, лимфоциты, макрофаги) подслизистого слоя, слизистые железы и мышечная оболочка атрофичны.

The basal membrane of the bronchial mucosa is thickened, hyalineized. There are sclerosis and diffuse inflammatory infiltration (leukocytes, lymphocytes, macrophages) of the submucosal layer; mucous membranes and muscular membrane are atrophic.

Хронічна обструктивна емфізема легень
Хроническая обструктивная эмфизема легких
Chronic obstructive pulmonary emphysema



Забарвлення гематоксилином і еозином

Окраска гематоксилином и еозином

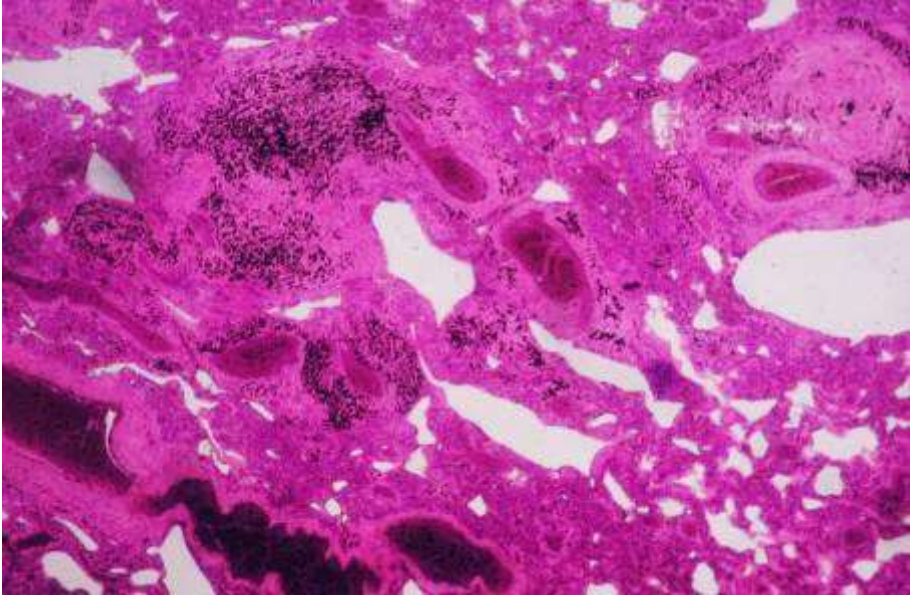
Staining with hematoxylin and eosin

Розширені просвіти респіраторних бронхіол і альвеол, міжальвеолярні перегородки значно стоншені, в багатьох ділянках розірвані, за рахунок цього утворились порожнини різного розміру та форми, стінки судин потовщені, склерозовані.

Расширены просветы респираторных бронхиол и альвеол, межальвеолярные перегородки значительно утончены, во многих участках разорваны. За счет этого образовались полости разного размера и формы, стенки сосудов утолщены, склерозированы.

The lumen of respiratory bronchioles and alveoli are enlarged, the interalveolar septa are considerably thinner, in many areas they are ruptured. Cavities of different size and shape were formed due to this; the walls of the vessels are thickened, sclerotized.

Вузковий силікоз
Узелковый силикоз
Nodal silicosis



Забарвлення гематоксиліном і еозином

Окраска гематоксилином и еозином

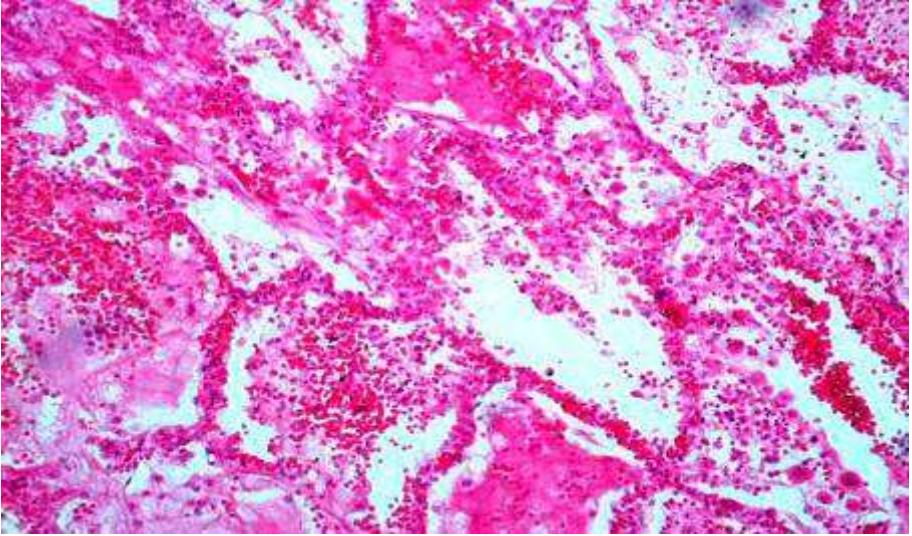
Staining with hematoxylin and eosin

В легеневій тканині визначаються силікотичні вузлики, які розташовуються тісно і часто зливаються між собою.

В легочной ткани определяются силикотические узелки, которые располагаются тесно и часто сливаются между собой.

Silicone nodules are defined in the lung tissue, which are located closely and often merge with each other.

Грипозна бронхопневмонія
Гриппозная бронхопневмония
Influenza bronchopneumonia



Забарвлення гематоксилином і еозином

Окраска гематоксилином и еозином

Staining with hematoxylin and eosin

Перибронхіально альвеоли заповнені гнійно-геморагічним ексудатом, є ділянки некрозу легеневої паренхіми. Навколо вогнищ пневмонії альвеоли розширені.

Перибронхиально альвеолы заполнены гнойно-геморрагическим экссудатом, есть участки некроза легочной паренхимы. Вокруг очагов пневмонии альвеолы расширены.

Peribronchial alveoli are filled with purulent-hemorrhagic exudate, there are areas of necrosis of the pulmonary parenchyma. The alveoli are enlarged around the foci of pneumonia.

Гігантоклітинна пневмонія

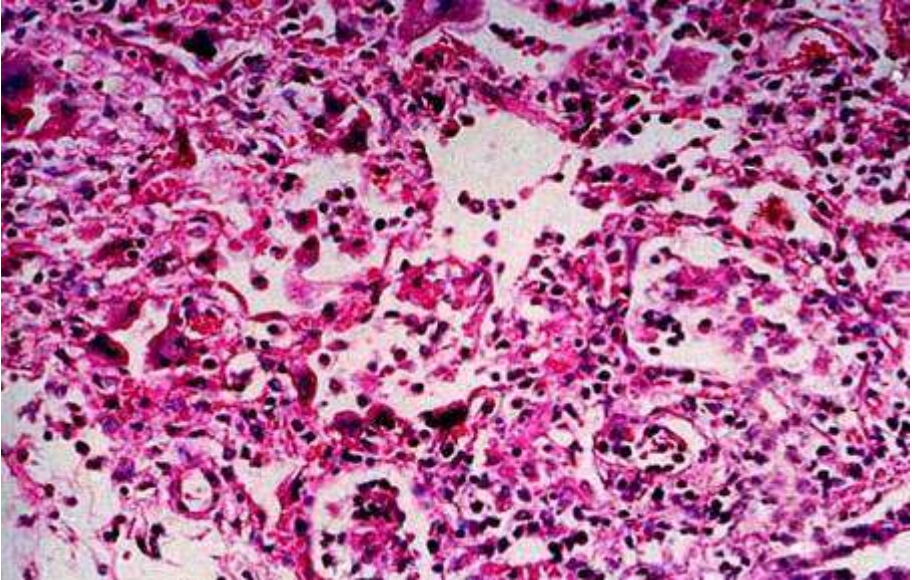
(корова пневмонія, гігантоклітинна пневмонія Герта)

Гигантоклеточная пневмония

(коровая пневмония, гигантоклеточная пневмония Герта)

Giant Cell Pneumonia

(measles pneumonia, Herth's giant cell pneumonia)



Забарвлення гематоксилином і еозином

Окраска гематоксилином и еозином

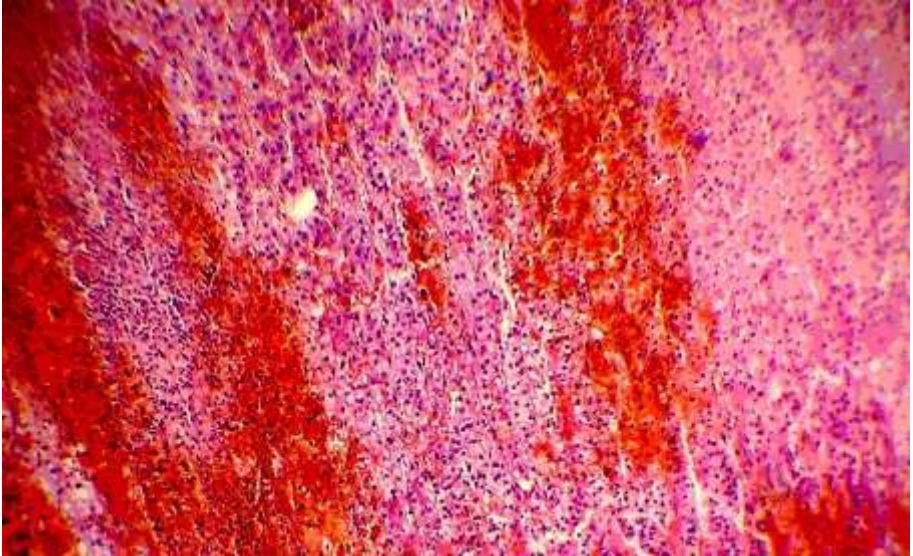
Staining with hematoxylin and eosin

В легенях інтерстиційний інфільтрат із мононуклеарних і багатоядерних клітин. Інтерстицій міжальвеолярних перегородок набряклий, у просвіті альвеол лімфоцити, гранулоцити, плазмоцити.

В легких интерстициальный инфильтрат из мононуклеарных и многоядерных клеток. Интерстиций межальвеолярных перегородок набухший, в просвете альвеол лимфоциты, гранулоциты, плазмocyты.

An interstitial infiltration of mononuclear and multinucleate cells are in the lungs. The interstitium of the interalveolar septa is swollen; lymphocytes, granulocytes, plasmocytes are in the alveolar lumen.

Крововилив в наднирник
Кровоизлияние в надпочечник
Hemorrhage in the adrenal gland



Забарвлення гематоксиліном і еозином

Окраска гематоксилином и еозином

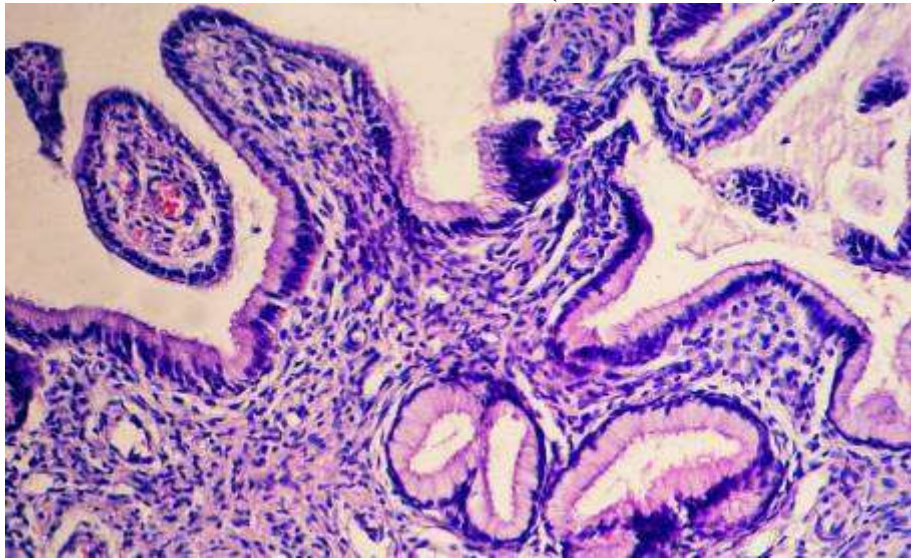
Staining with hematoxylin and eosin

Гіперемія, набряк, крововиливи, вакуолізація клітин кіркового шару, вогнищеві некрози – каріопікноз і каріолізис.

Гиперемия, отек, кровоизлияния, вакуолизация клеток коркового слоя, очаговые некрозы - кариопикноз и кариолизис.

There are hyperemia, edema, hemorrhages, vacuolation of cells of the cortical layer, focal necrosis - karyopicnosis and karyolysis.

**Несправжня ерозія шийки матки (ендоцервікоз)
Псевдоерозия шейки матки (эндоцервикоз)
Pseudo-erosion of the cervix (endocervicosis)**



Забарвлення гематоксилином і еозином

Окраска гематоксилином и еозином

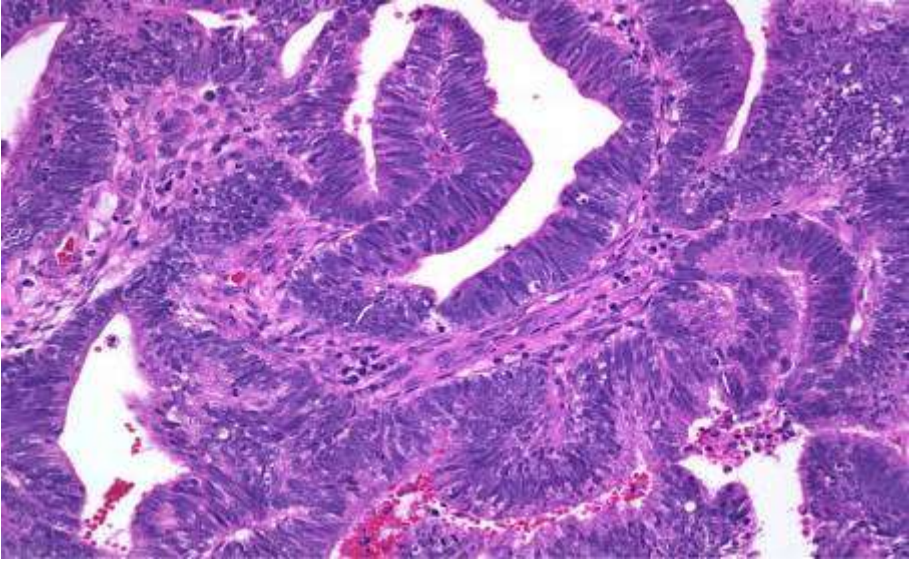
Staining with hematoxylin and eosin

Ділянка піхвової частини шийки матки вкрита циліндричним епітелієм, під покривним епітелієм визначається розростання залозистих структур.

Участок влагалищной части шейки матки покрыт цилиндрическим эпителием, под покровным эпителием определяется разрастание железистых структур.

The site of the vaginal part of the cervix is covered with a cylindrical epithelium, under the cover epithelium, the growth of glandular structures is determined.

Аденокарцинома матки
Аденокарцинома матки
Adenocarcinoma of the uterus



Забарвлення гематоксиліном і еозином

Окраска гематоксилином и еозином

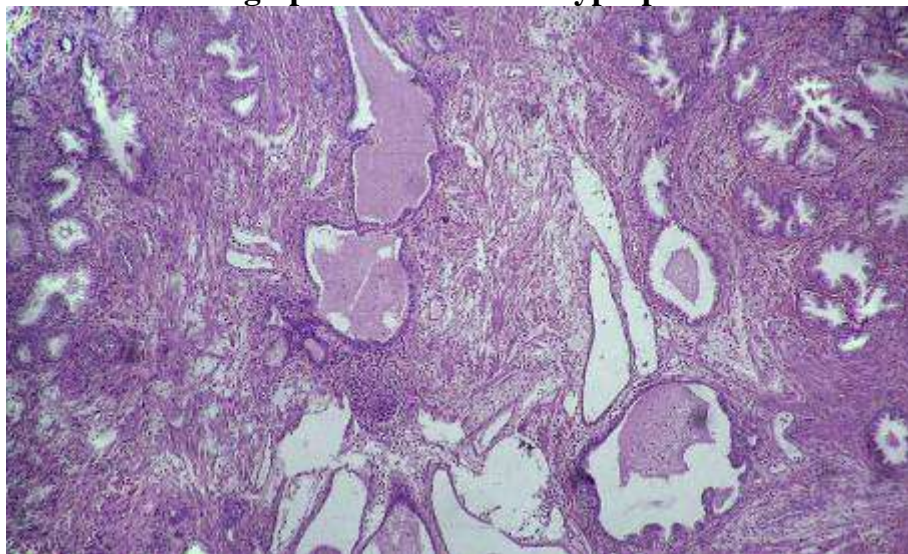
Staining with hematoxylin and eosin

У вишкребі серед згортків крові помітні атипові залозисті комплекси. Клітини, які утворюють ці залози, різних розмірів та форми з гіперхромними ядрами. В деяких ракових клітинах помітні патологічні мітози.

В соскобе среди сгустков крови видны атипичные железистые комплексы. Клетки, которые образуют эти железы, различных размеров и формы с гиперхромными ядрами. В некоторых раковых клетках определяются патологические митозы.

Atypical glandular complexes among the blood clots are determined in scrap. The cells that form these glands are of various sizes and shapes with hyperchromic nuclei. In some cancer cells, pathological mitoses are determined.

Доброякісна вузлова гіперплазія передміхурової залози
Доброкачественная узловая гиперплазия
предстательной железы
Benign prostatic nodular hyperplasia



Забарвлення гематоксиліном і еозином

Окраска гематоксилином и еозином

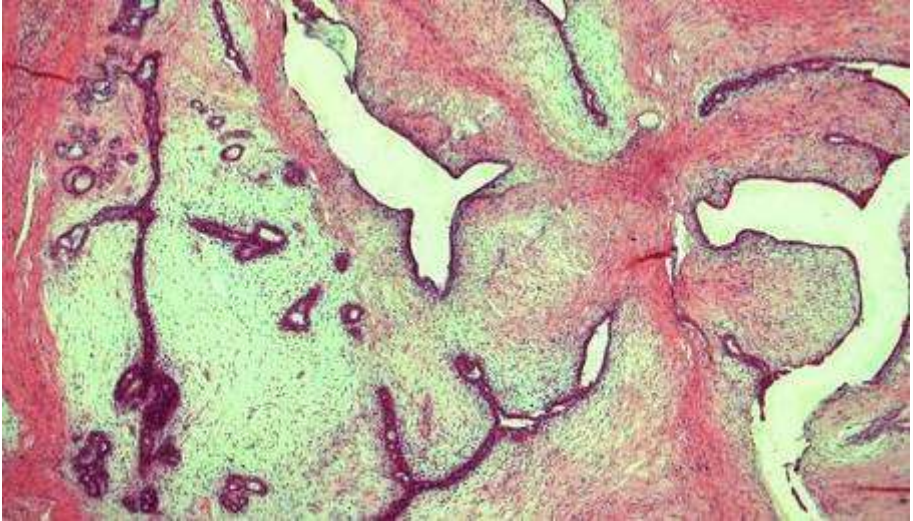
Staining with hematoxylin and eosin

Велика кількість залозистих елементів з формуванням ретенційних кіст; збільшення кількості м'язових волокон, втрата часточкової будови.

Большое количество железистых элементов с формированием ретенционных кист; увеличение количества мышечных волокон, потеря дольчатого строения.

There are a large number of glandular elements with the formation of retention cysts; increase in the number of muscle fibers, loss of lobed structure.

Фіброаденома молочної залози
Фиброаденома молочной железы
Fibroadenoma of the breast



Забарвлення гематоксилином і еозином

Окраска гематоксилином и еозином

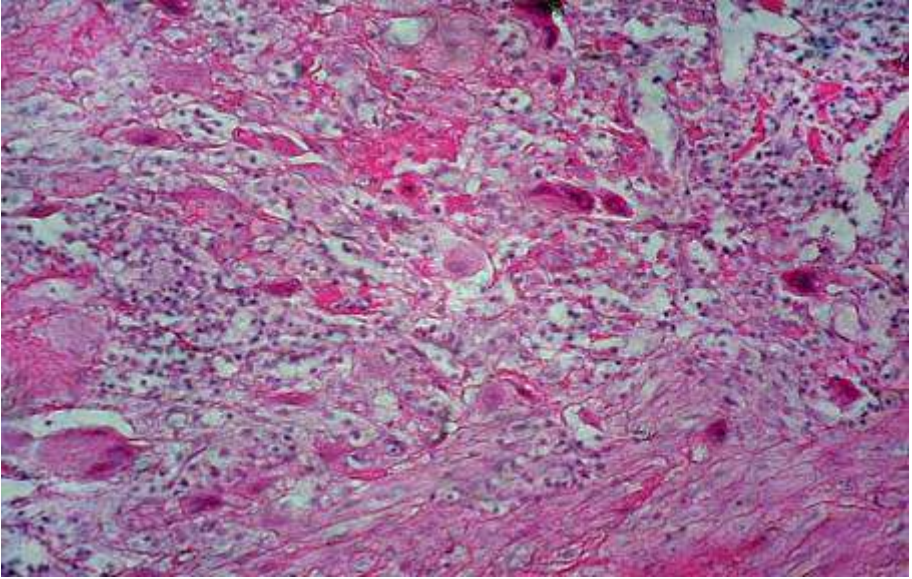
Staining with hematoxylin and eosin

Спостерігається проліферація альвеол та внутрішньочасточкових протоків. Сполучна тканина врослає у внутрішньочасточкові протоки (інтраканалікулярна фіброаденома).

Наблюдается пролиферация альвеол и внутридольковых протоков. Соединительная ткань врастает во внутридольковые протоки (интраканаликулярная фиброаденома).

There is proliferation of alveoli and intralobular ducts. The connective tissue grows into intralobular ducts (intracanalicular fibroadenoma).

Хоріонепітеліома
Хорионэпителиома
Chorionepithelioma



Забарвлення гематоксиліном і еозином

Окраска гематоксилином и еозином

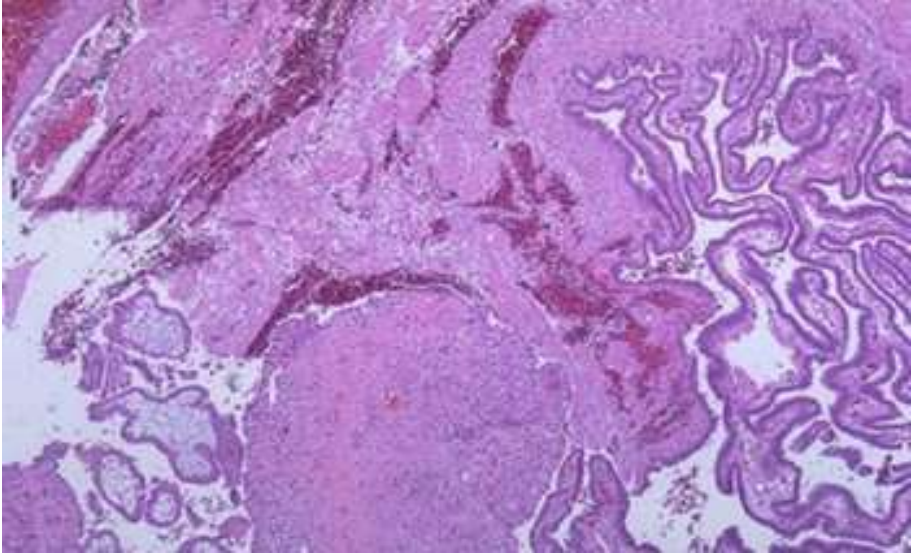
Staining with hematoxylin and eosin

Тканина пухлини представлена світлими клітинами з округлими, бідними на хроматин ядрами - клітинами Лангханса (цитотрофобласта) і крупними клітинами синцитію з гіперхромними ядрами (синцитіотрофобласта). Строма в пухлинній тканині відсутня, роль судин виконують порожнини різних розмірів, які вистелені клітинами пухлини. В тканині пухлини - численні вогнища крововиливів.

Ткань опухоли представлена светлыми клетками с округлыми, бедными на хроматин ядрами - клетками Лангханса (цитотрофобласта) и крупными клетками синцития с гиперхромными ядрами (синцитиотрофобласта). Строма в опухолевой ткани отсутствует, роль сосудов выполняют полости различных размеров, которые выстланы клетками опухоли. В ткани опухоли - многочисленные очаги кровоизлияний.

Tumor tissue represented by light cells with rounded, chromatin-poor nuclei - Langhans cells (cytotrophoblast) and large cells of syncytium with hyperchromic nuclei (syncytiotrophoblast). There is no stroma in the tumor tissue, cavities of various sizes that are lined with tumor cells perform the role of the vessels. There are numerous foci of hemorrhage in the tumor tissue.

Трубна вагітність Трубная беременность Tubarial pregnancy



Забарвлення гематоксиліном і еозином.

Окраска гематоксилином и эозином.

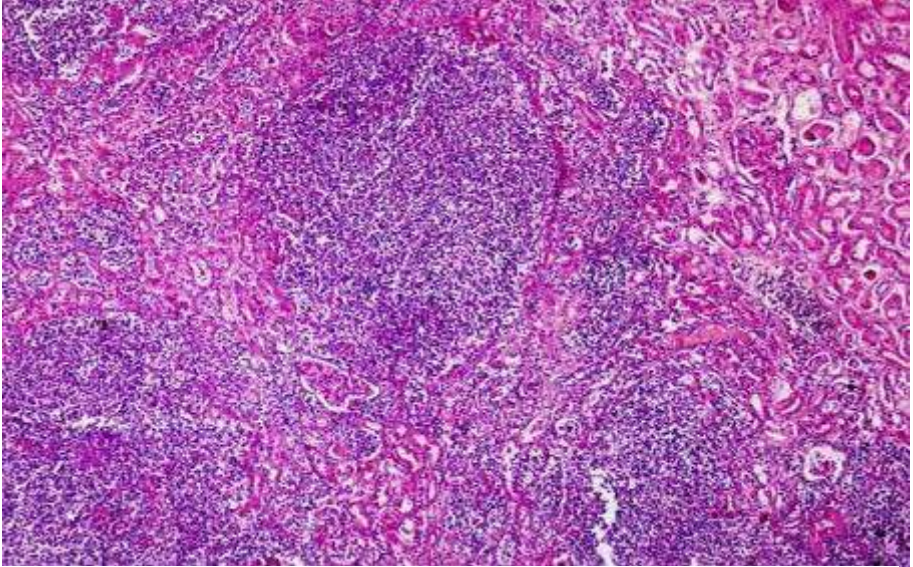
Staining with hematoxylin and eosin

В слизовій оболонці маткової труби децидуальна реакція, наявність хоріальної оболонки з ворсинами хоріона, залишки плідного яйця та згортки крові в просвіті труби. Ворсини хоріона проникли в м'язовий шар і його судини, руйнуючи тканинні елементи труби.

В слизистой оболочке маточной трубы децидуальная реакция, наличие хориальной оболочки с ворсинами хориона, остатки плодного яйца и сгустки крови в просвете трубы. Ворсины хориона проникли в мышечный слой и его сосуды, разрушая тканевые элементы трубы.

There are a decidual reaction in the mucous membrane of the uterine tube, the presence of a chorionic membrane with chorionic villi, the remains of the fetal egg and blood clots in the lumen of the tube. The chorionic villus penetrated the muscle layer and its vessels, destroying the tissue elements of the tube.

Емболічний гнійний нефрит
Эмболический гнойный нефрит
Embolic purulent nephritis



Забарвлення гематоксилином і еозином.

Окраска гематоксилином и эозином.

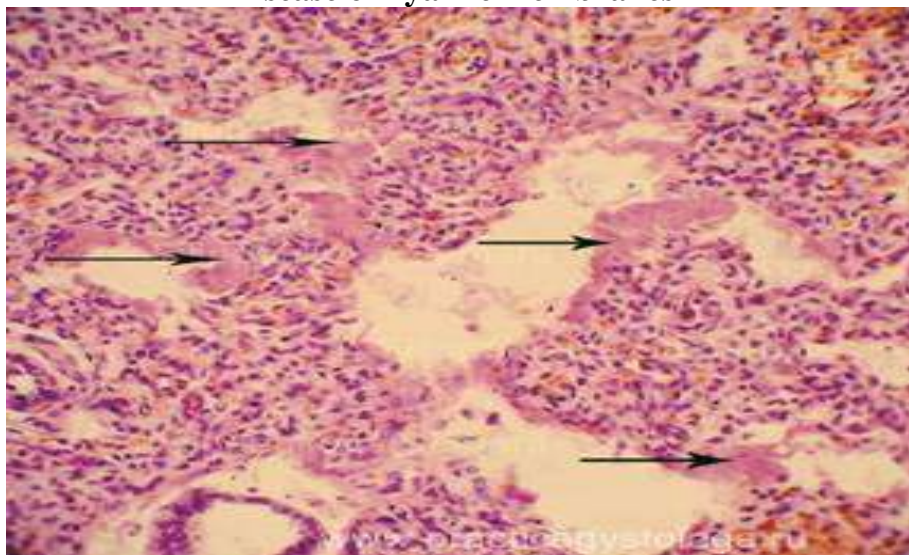
Staining with hematoxylin and eosin

Лейкоцитарні інфільтрати з формуванням абсцесів, епітелій ниркових канальців з дистрофією та некрозами.

Лейкоцитарные инфильтраты с формированием абсцессов, эпителий почечных канальцев с дистрофией и некрозами.

There are leukocyte infiltrates with the formation of abscesses, epithelium of renal tubules with dystrophy and necrosis.

Хвороба гіалінових мембран
Болезнь гиалиновых мембран
Disease of hyaline membranes



Забарвлення гематоксилином і еозином.

Окраска гематоксилином и эозином.

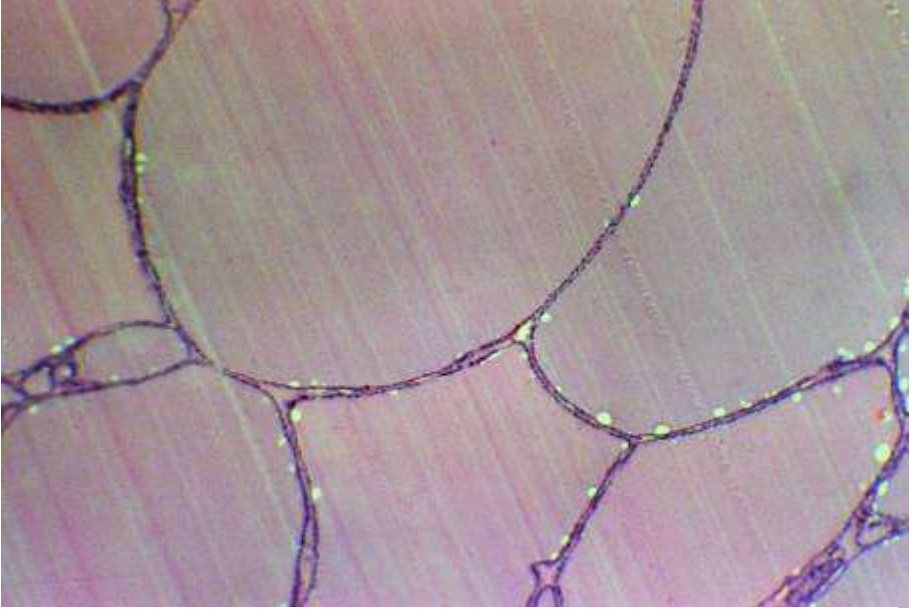
Staining with hematoxylin and eosin

В тканині легені наявні крововиливи, набряк, наявність кілець та півкілець в просвіті альвеол та бронхіол.

В ткани легкого кровоизлияния, отек, наличие колец и полуколец в просвете альвеол и бронхиол.

There are hemorrhage, edema in the lung tissue, presence of the rings and semirings in the lumen of the alveoli and bronchioles.

Колоїдний зоб
Коллоидный зоб
Colloid goiter



Забарвлення гематоксилином і еозином.

Окраска гематоксилином и эозином.

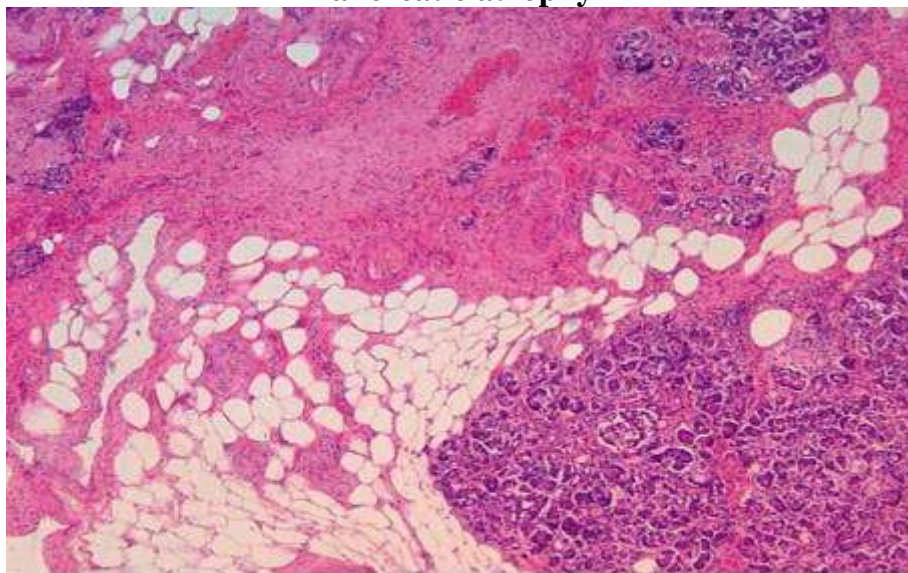
Staining with hematoxylin and eosin

Фолікули збільшені в розмірах, розтягнуті, кистозно розширені, вистелені сплосченим епітелієм, заповнені оксифільним колоїдом.

Фолликулы увеличены в размерах, растянуты, кистозно расширены, выстланы уплощенным эпителием, заполнены оксифильным коллоидом.

The follicles are enlarged in size, stretched, cystically dilated, lined with a flattened epithelium, filled with oxyphilic colloid.

Атрофія підшлункової залози
Атрофия поджелудочной железы
Pancreatic atrophy



Забарвлення гематоксилином і еозином.

Окраска гематоксилином и эозином.

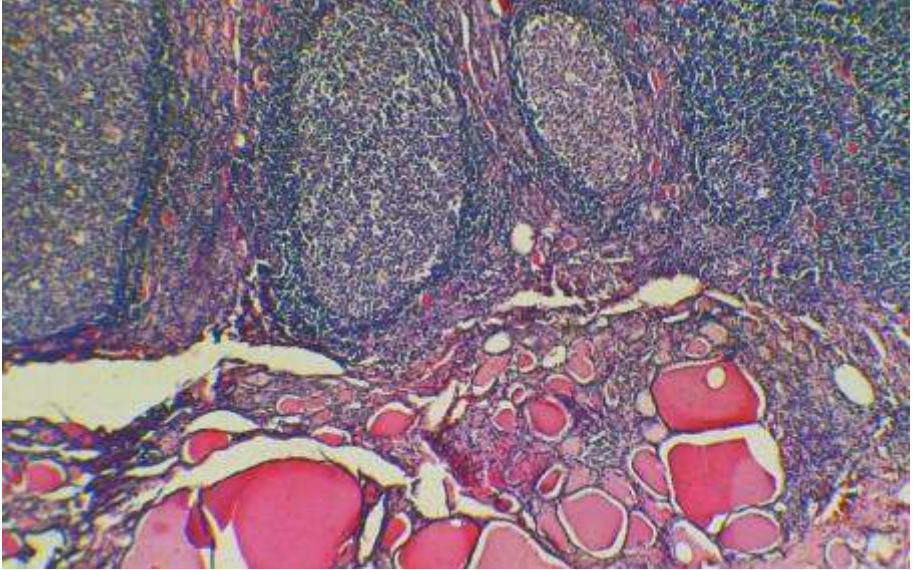
Staining with hematoxylin and eosin

У тканині підшлункової залози визначається невелика кількість дрібних склерозованих острівців Лангерганса, ліпоматоз та склероз.

В ткани поджелудочной железы определяется небольшое количество мелких склерозированных островков Лангерганса, липоматоз и склероз.

A small number of small sclerosed islets of Langerhans, lipomatosis and sclerosis are determined in the pancreatic tissue.

Аутоімунний тиреоїдит
Аутоиммунный тиреоидит
Autoimmune thyroiditis



Забарвлення гематоксилином і еозином

Окраска гематоксилином и еозином

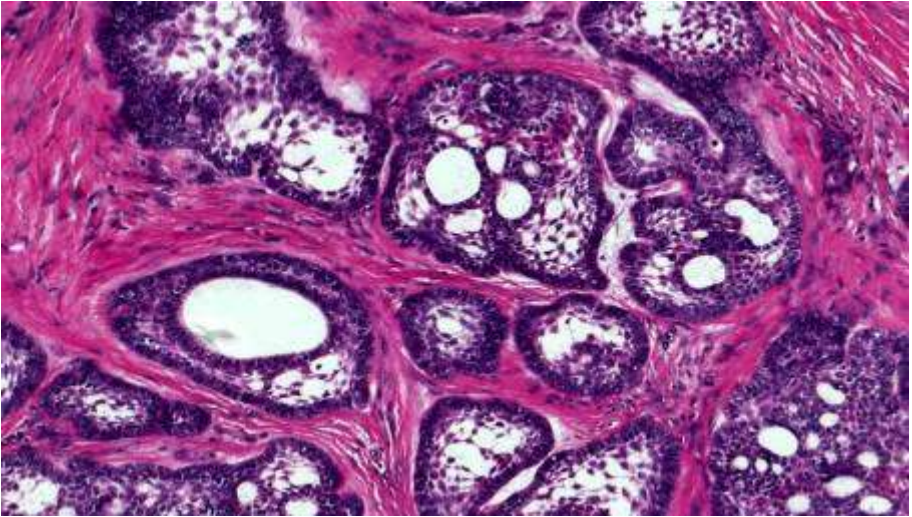
Staining with hematoxylin and eosin

Паренхіма залози з явищами атрофії, частково заміщена сполучною тканиною. В стромі – інфільтрація лімфоцитами та плазматичними клітинами, утворення лімфоїдних фолікулів.

Паренхима железы с явлениями атрофии, частично замещена соединительной тканью. В строме - инфильтрация лимфоцитами и плазматическими клетками, образование лимфоидных фолликулов.

The parenchyma of the gland is partially replaced by a connective tissue with phenomena of atrophy. There are infiltration of lymphocytes and plasma cells, the formation of lymphoid follicles in the stroma.

Фолікулярна амелобластома
Фолликулярная амелобластома
Follicular ameloblastoma



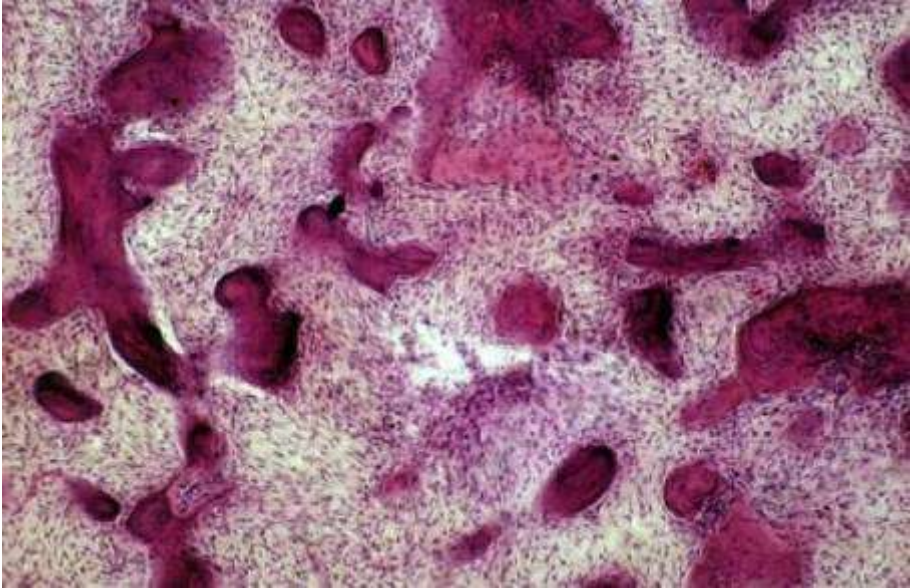
Забарвлення гематоксилином і еозином
Окраска гематоксилином и еозином
Staining with hematoxylin and eosin

Паренхіма пухлини представлена різної форми острівцями одонтогенного епітелію, який подібний за будовою до емалевого органу зародка зуба. На периферії в острівцях високі призматичні клітини, які утворюють один шар; в центрі – пухко розташовані клітини зірчастої форми, що з'єднуються між собою цитоплазматичними відростками (епітеліальний ретикулум). Між цими клітинами накопичується білкова речовина, що з часом призводить до утворення кіст різних розмірів.

Паренхима опухолі представлена різної форми островками одонтогенного епітелію, схожого по строєнню емалевого органу зародка зуба. На периферії в островках високі призматичні клітини, які утворюють один шар; в центрі - рыхло расположенные клетки звездчатой формы, соединяющиеся между собой цитоплазматическими отростками (эпителиальный ретикулум). Между этими клетками накапливается белковое вещество, что со временем приводит к образованию кист различных размеров.

The parenchyma of the tumor is represented by a different form of islets of odontogenic epithelium, similar in structure to the enamel organ of the tooth embryo. There is high prismatic cells, which form one layer on the periphery of the islets; loosely located stellate cells, connecting with each other by cytoplasmic processes (epithelial reticulum) are in the center. A protein substance accumulates between these cells, which eventually leads to the formation of cysts of various sizes.

Цементома
Цементома
Cementoma



Забарвлення гематоксиліном і еозином

Окраска гематоксилином и еозином

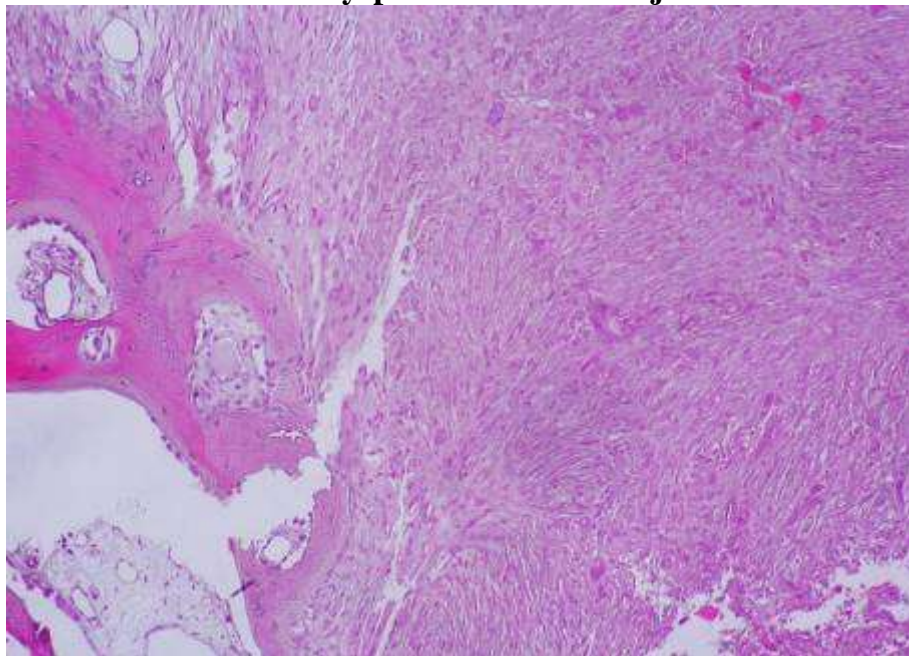
Staining with hematoxylin and eosin

Пухлина представлена масами цементоподібної речовини (цементиклі) з різко базофільним забарвленням, оточені цементобластами. Строма виражена слабо.

Опухоль представлена массами цементоподобного вещества (цементикли) с резко базофильной окраской, окруженные цементобластами. Строма выражена слабо.

The tumor is represented by masses of a cement-like substance (cementite) with a sharply basophilic coloring, surrounded by cementoblasts. The stroma is weakly expressed.

Фіброзна дисплазія нижньої щелепи
Фиброзная дисплазия нижней челюсти
Fibrous dysplasia of the lower jaw



Забарвлення гематоксиліном і еозином

Окраска гематоксилином и эозином

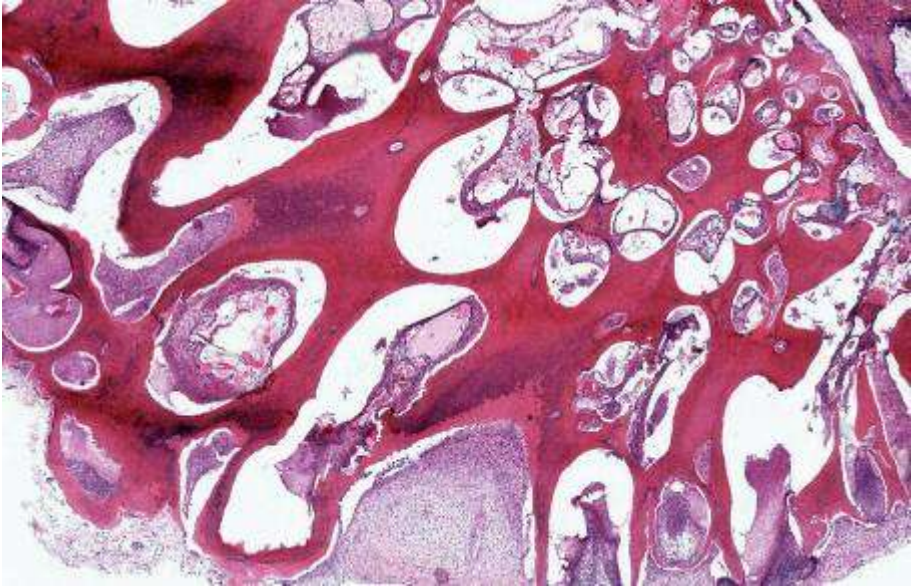
Staining with hematoxylin and eosin

Визначається волокниста фіброзна тканина, остеобласти створюють лише окремі примітивні кісткові включення.

Определяется волокнистая фиброзная ткань, остеобласты создают лишь отдельные примитивные костные включения.

Fibrous tissue are defined, osteoblasts create only a few primitive bone inclusions.

Складена одонтома
Составная одонтома
Compound odontoma



Забарвлення гематоксилином і еозином

Окраска гематоксилином и еозином

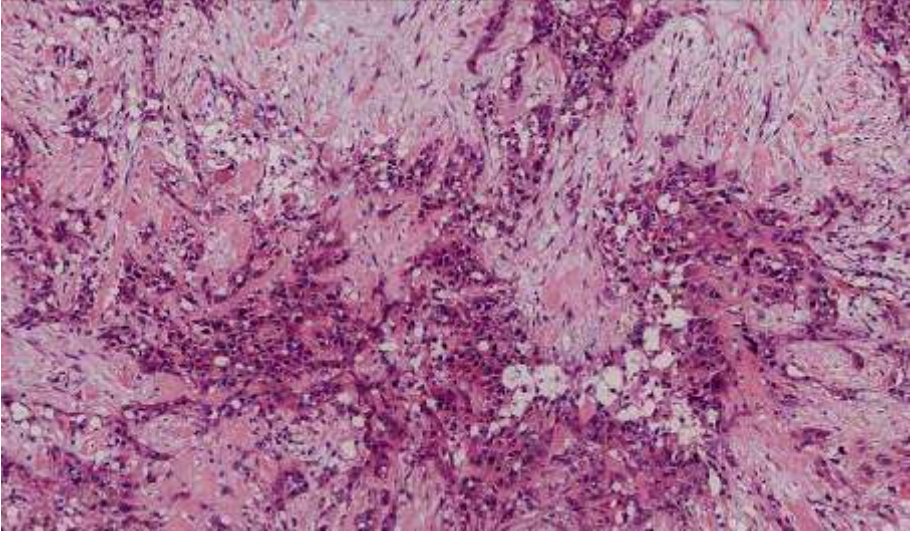
Staining with hematoxylin and eosin

Одонтома побудована з тканин декількох окремо сформованих зубів.

Одонтома построена из тканей нескольких отдельно сформированных зубов.

Odontoma is consist of the tissues of several separately formed teeth.

Мукоепідермоїдна пухлина
Мукоэпидермоидная опухоль
Mucoepidermoid tumor



Забарвлення гематоксиліном і еозином

Окраска гематоксилином и еозином

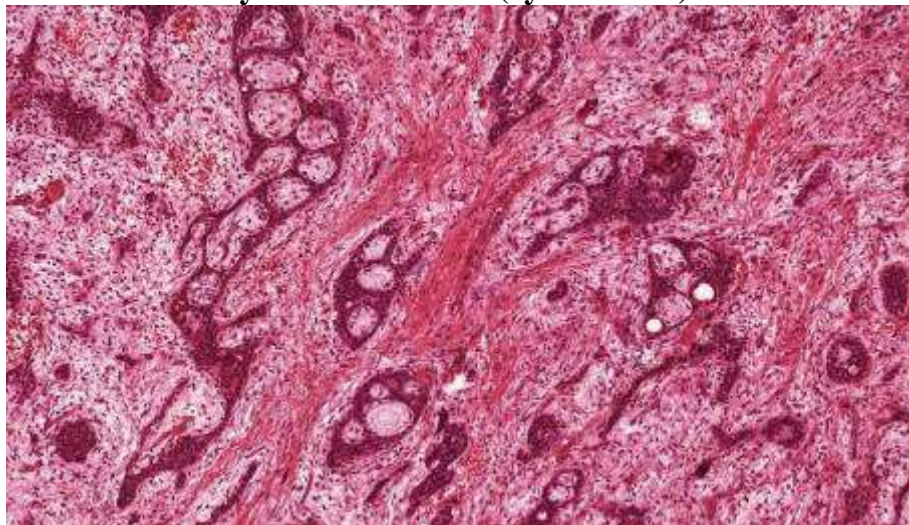
Staining with hematoxylin and eosin

Визначаються клітини епідермоїдного типу, які утворюють солідні структури та тяжі слизоутворюючих клітин.

Определяются клетки эпидермоидного типа, которые образуют солидные структуры и тяжи слизиобразующих клеток.

Epidermoid type cells which form solid structures and strands of mucus-forming cells are defined.

Аденокістозна пухлина(циліндрома)
Аденокистозная опухоль (цилиндрома)
Cylinder adenoma (cylindroma)



Забарвлення гематоксилином і еозином

Окраска гематоксилином и еозином

Staining with hematoxylin and eosin

Гіперхромні клітини кубічної форми утворюють альвеоли, солідні та решітчасті (кріброзні) структури, в яких накопичується оксифільна речовина, що утворює стовбчики, циліндри (циліндрома).

Гиперхромные клетки кубической формы образуют альвеолы, солидные и решетчатые (крибровые) структуры, в которых накапливается оксифильное вещество, образующее столбики, цилиндры (цилиндрома).

Hyperchromic cubic cells form alveoli, solid and lattice (cribrate) structures in which accumulates the oxyphilic substance forming columns, cylinders (cylinders).

Кістогранульома
Кистогранулема
Cystic granuloma



Забарвлення гематоксилином і еозином

Окраска гематоксилином и еозином

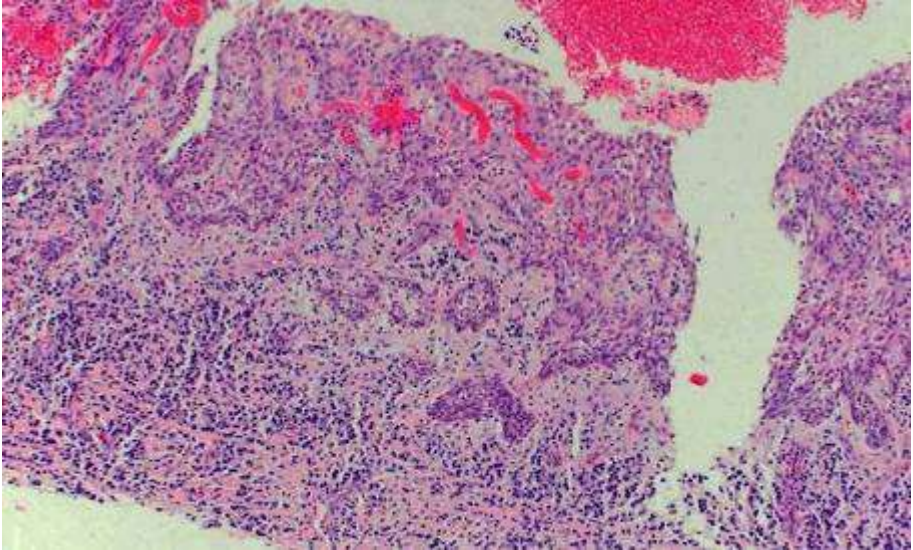
Staining with hematoxylin and eosin

В грануляційній тканині формуються порожнини, що вистелені багат шаровим плоским незроговілим епітелієм.

В грануляционной ткани формируются полости, выстланные многослойным плоским неороговевающим эпителием.

Cavities, lined by multilayer, flat, neogenic epithelium are formed in the granulation tissue.

Радикулярна кіста
Радикулярная киста
Radicular cyst



Забарвлення гематоксилином і еозином

Окраска гематоксилином и еозином

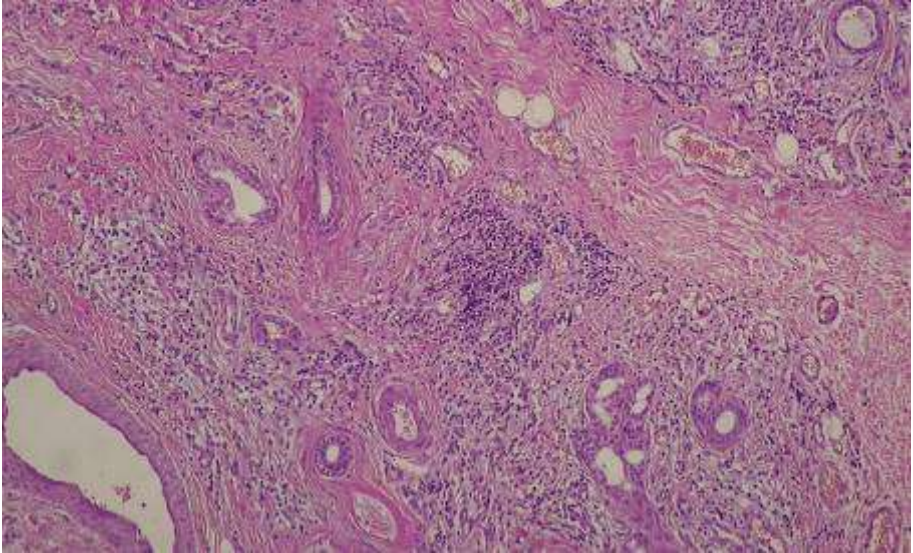
Staining with hematoxylin and eosin

Стінка кісти представлена фіброзною тканиною різної товщини з запальною інфільтрацією, кристалами холестерину, внутрішня поверхня вистелена багатошаровим плоским незроговілим епітелієм.

Стенка кисты представлена фиброзной тканью различной толщины с воспалительной инфильтрацией, кристаллами холестерина, внутренняя поверхность выстлана многослойным плоским неороговевающим эпителием.

The wall of the cyst is represented by a fibrous tissue of various thicknesses with inflammatory infiltration, cholesterol crystals, the inner surface is lined with multilayer flat non-coring epithelium.

Хронічний сіалоаденіт
Хронический сиалоаденит
Chronic sialadenitis



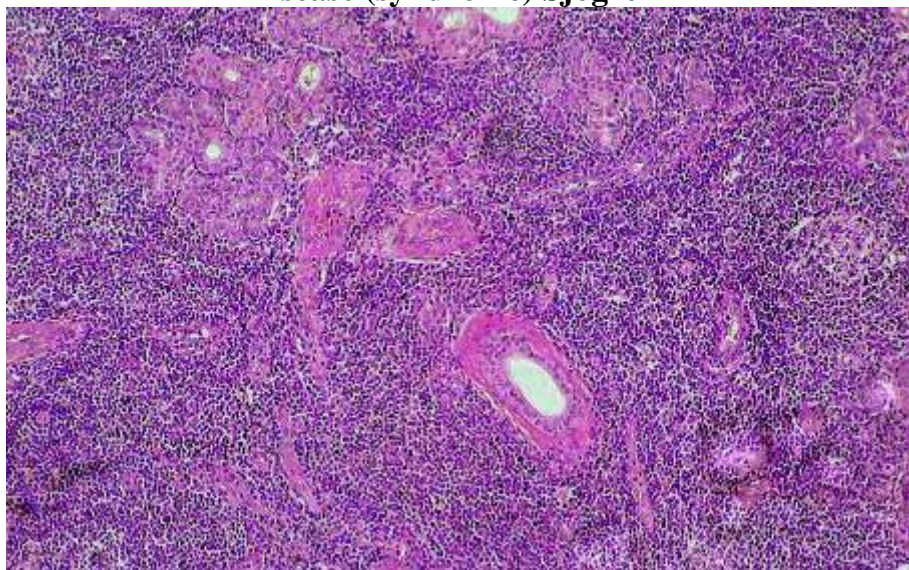
Забарвлення гематоксилином і еозином
Окраска гематоксилином и эозином
Staining with hematoxylin and eosin

Ацинарні відділи слинної залози з вираженою атрофією. Спостерігається надмірне розростання грубоволокнистої сполучної тканини (явища склерозу), має місце запальна (лімфоплазмоцитарна) інфільтрація.

Ацинарные отделы слюнной железы с выраженной атрофией. Наблюдается чрезмерное разрастание грубоволокнистой соединительной ткани (явления склероза), имеет место воспалительная (лимфоплазмocитарная) инфильтрация.

Atrophy of acinar sections of the salivary gland. Excessive growth of coarse-fibrous connective tissue (phenomenon of sclerosis) is observed, inflammatory (lymphoplasmocytic) infiltration takes place.

Хвороба (синдром) Шегрена
Болезнь (синдром) Шегрена
Disease (syndrome) Sjogren



Забарвлення гематоксилином і еозином

Окраска гематоксилином и еозином

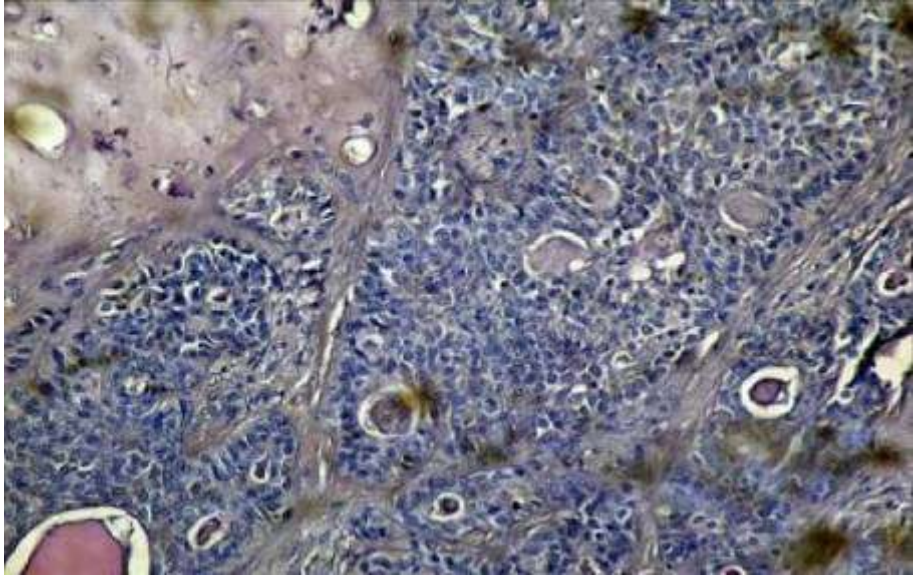
Staining with hematoxylin and eosin

Дифузні лімфоцитарні інфільтрати строми, з утворенням лімфоїдних фолікулів, атрофія залозистої паренхіми, розростання сполучної тканини (склероз).

Диффузные лимфоцитарные инфильтраты стромы с образованием лимфоидных фолликулов, атрофия железистой паренхимы, разрастание соединительной ткани (склероз).

There are diffuse lymphocytic infiltrates of the stroma with the formation of lymphoid follicles, atrophy of the glandular parenchyma, proliferation of connective tissue (sclerosis).

Змішана пухлина слинної залози
Смешанная опухоль слюнной железы
Mixed tumor of the salivary gland



Забарвлення гематоксилином і еозином

Окраска гематоксилином и еозином

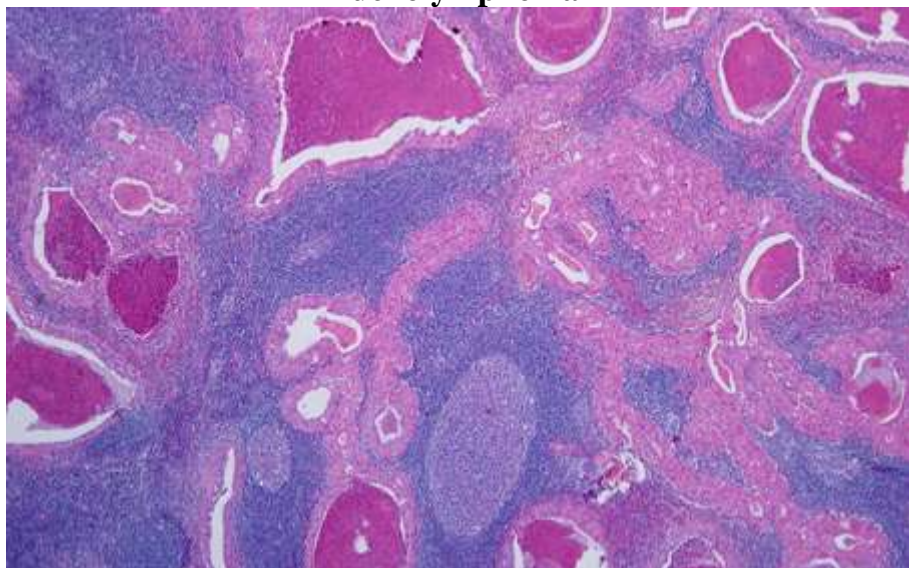
Staining with hematoxylin and eosin

Визначається наявність паренхіми у вигляді залозистих структур та надмірної строми у вигляді сполучної, хрящової і міксоїдної тканин.

Определяется наличие паренхимы в виде железистых структур и чрезмерной стромы в виде соединительной, хрящевой и миксоидной тканей.

Parenchyma as glandular structures and excessive stroma in the form of connective, cartilaginous and myxoid tissues is determined.

Аденолімфома
Аденолимфома
Adenolymphoma



Забарвлення гематоксилином і еозином

Окраска гематоксилином и эозином

Staining with hematoxylin and eosin

Еозінофільні призматичної форми епітеліоцити, які розташовані у два ряди, формують порожнисті утворення. Строма густо інфільтрована лімфоцитами, які утворюють фолікули.

Эозинофильные призматической формы эпителиоциты, которые расположены в два ряда, формируют полые образования. Строма рядом инфильтрирована лимфоцитами, образующими фолликулы.

Eosinophilic prismatic epithelial cells, which are arranged in two rows, form hollow formations. The stroma is infiltrated with lymphocytes that form follicles.

Глибокий карієс зуба
Глубокий кариес зуба
Deep tooth caries



Шліф зуба

Шлиф зуба

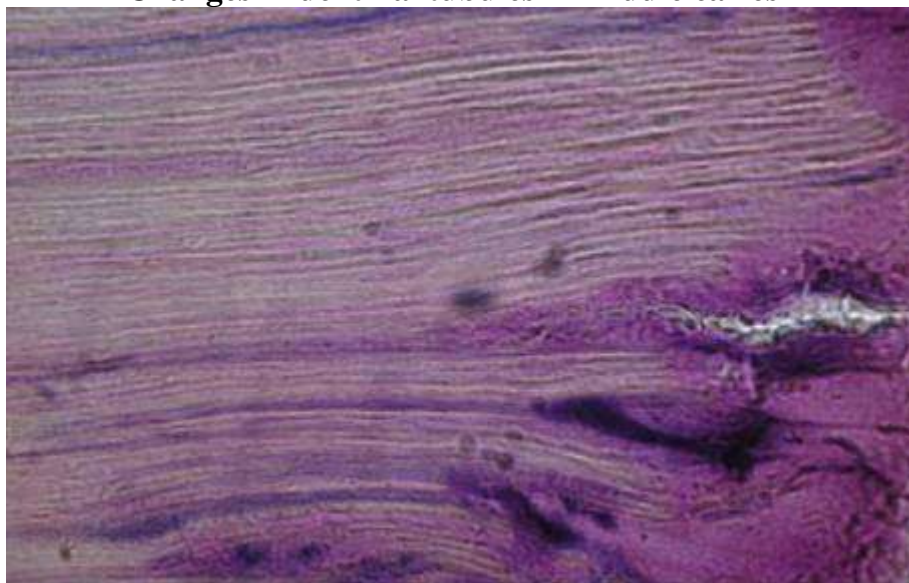
Grind of tooth

Виявляється дефект твердих тканин зуба, який сягає нижче емалево-дентинної межі.

Выявляется дефект твердых тканей зуба, который достигает ниже эмалево-дентинной границы.

A defect in the hard tissues of the tooth reaches below the enamel-dentine border.

Зміни дентинних каналців при середньому карієсі
Изменения дентинных канальцев при среднем кариесе
Changes in dentinal tubules in middle caries



Забарвлення гематоксилином і еозином

Окраска гематоксилином и еозином

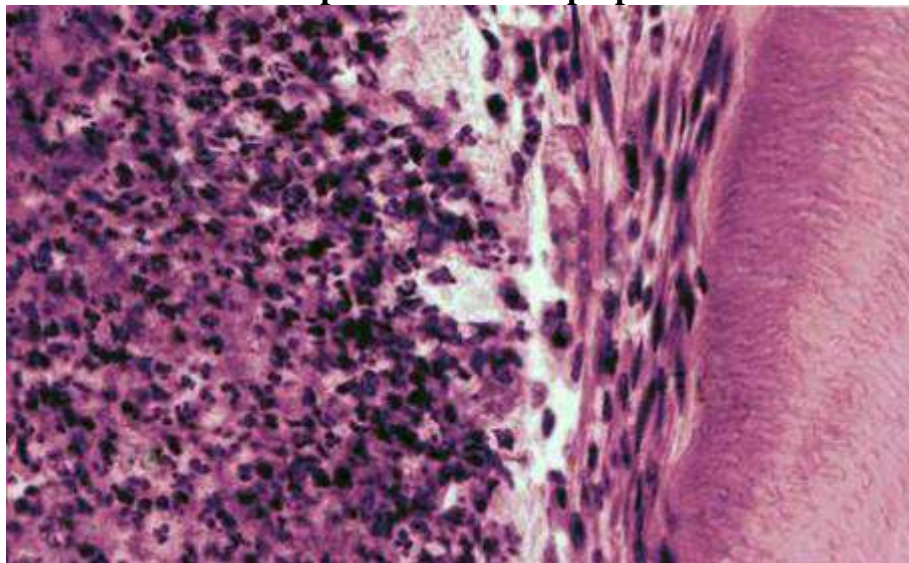
Staining with hematoxylin and eosin

Визначаються три зони дна каріозної порожнини: зона розм'якшеного дентину (повна деструкція дентину); зона прозорого або блискучого дентину (гіпермінералізація); зона замісного або іррегулярного (вторинного) дентину.

Определяются три зоны дна кариозной полости: зона размягченного дентина (полная деструкция дентина), зона прозрачного или блестящего дентина (гиперминерализации), зона заместительного или иррегулярного (вторичного) дентина.

Three zones of the bottom of the carious cavity are defined: a zone of softened dentin (complete destruction of dentin), a zone of transparent or brilliant dentin (hypermineralization), a zone of substitutional or irregular (secondary) dentin.

Гострий гнійний дифузний пульпіт
Острый гнойный диффузный пульпит
Acute purulent diffuse pulpitis



Забарвлення гематоксиліном і еозином

Окраска гематоксилином и еозином

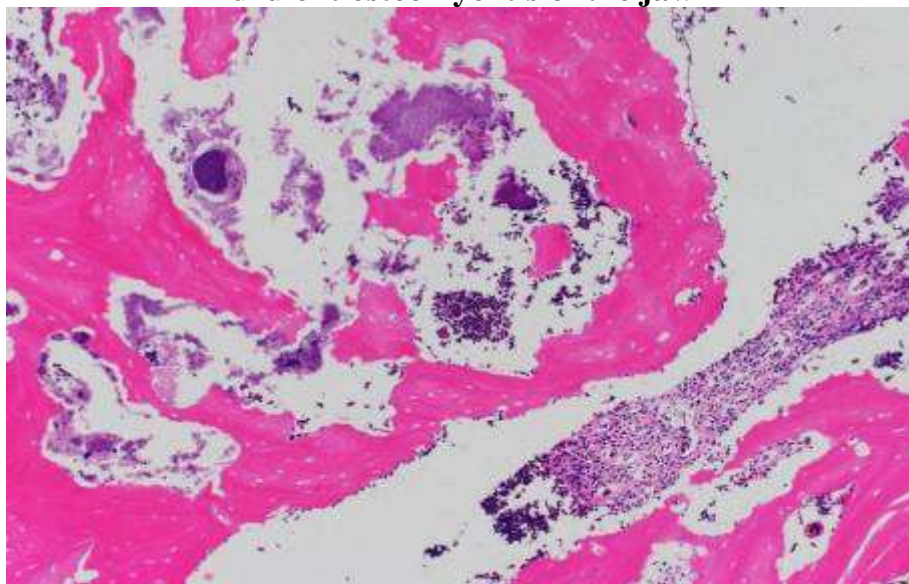
Staining with hematoxylin and eosin

У пульповій камері визначаються різко розширені, повнокровні судини, вогнища діapedезних крововиливів, дифузна інфільтрація, переважно нейтрофільними лейкоцитами, розплавлення тканини пульпи.

В пульповій камері определяються резко расширенные полнокровные сосуды, очаги диapedезных кровоизлияний, диффузная инфильтрация, преимущественно нейтрофильными лейкоцитами, расплавление ткани пульпы.

Sharply enlarged, full blood vessels, foci of diapedemic hemorrhages, diffuse infiltration, mainly neutrophilic leukocytes, melting of the pulp tissue are determined in the pulp chamber.

Гнійний остеомієліт щелепи
Гнойный остеомиелит челюсти
Purulent osteomyelitis of the jaw



Забарвлення гематоксиліном і еозином

Окраска гематоксилином и эозином

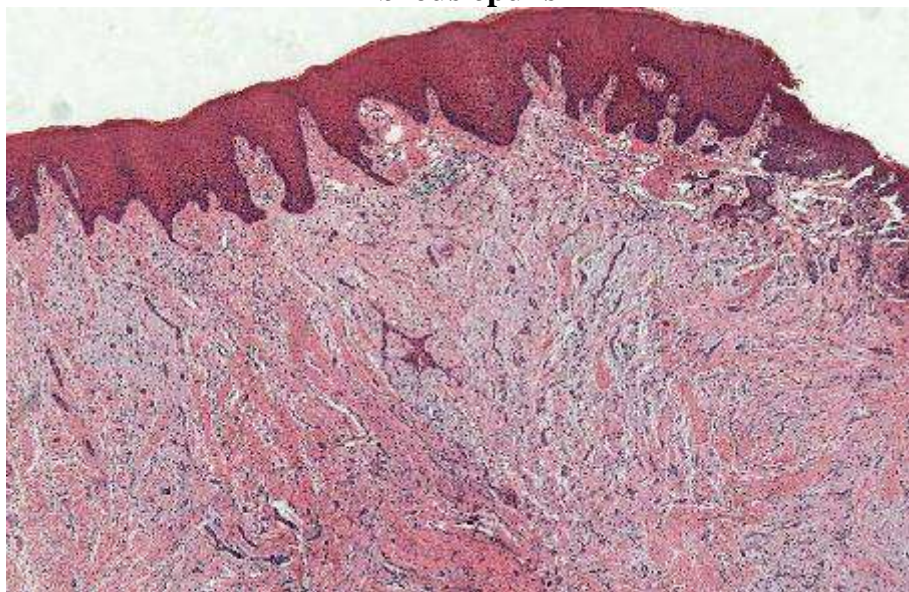
Staining with hematoxylin and eosin

Руйнування кісткової тканини з інфільтрацією кісткового мозку численними нейтрофільними лейкоцитами, наявні фрагменти некротизованої тканини (секвестри).

Разрушение костной ткани с инфильтрацией костного мозга многочисленными нейтрофильными лейкоцитами, имеются фрагменты некротизированной ткани (секвестры).

Destruction of bone tissue with bone marrow infiltration by numerous neutrophilic leukocytes, fragments of necrotic tissue (sequestration).

Фіброзний епуліс
Фиброзный эпулис
Fibrous epulis



Забарвлення гематоксиліном і еозином

Окраска гематоксилином и эозином

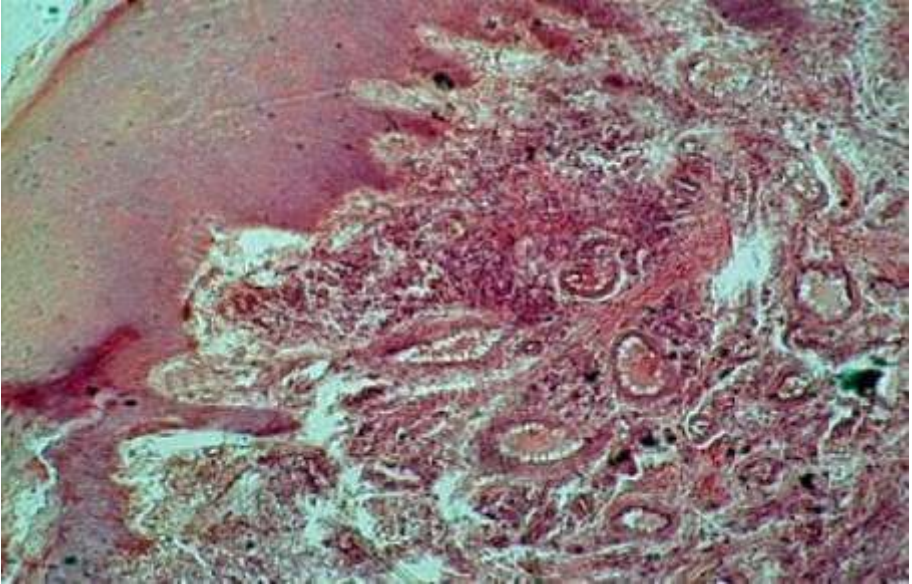
Staining with hematoxylin and eosin

Хаотично розташовані сполучнотканинні волокна, невелика кількість клітинних елементів, покритих багат шаровим плоским незроговілим епітелієм.

Хаотично расположенные соединительнотканые волокна, небольшое количество клеточных элементов, покрытых многослойным плоским неороговевающим эпителием.

Chaotically located connective tissue fibers, a small number of cellular elements covered by multi-layered squamous non-coring epithelium.

Ангіоматозний епуліс
Ангиоматозный эпулис
Angiomatous epulis



Забарвлення гематоксиліном і еозином

Окраска гематоксилином и еозином

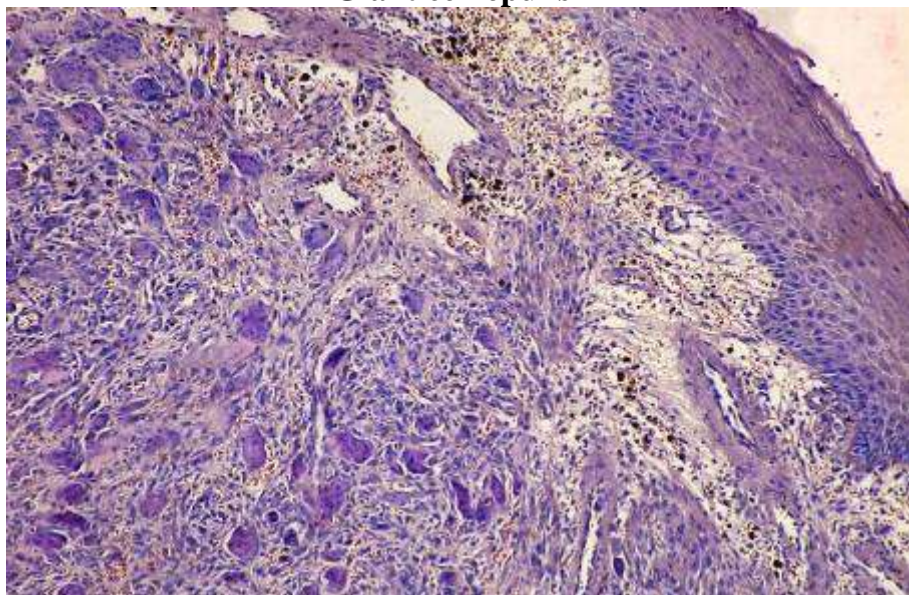
Staining with hematoxylin and eosin

Велика кількість щілиноподібних судин, вистелених ендотелієм.

Большое количество щелевидных сосудов, выстланных эндотелием.

There are a large number of slitlike vessels lined by endothelium.

Гігантоклітинний епуліс
Гигантоклеточный эпulis
Giant cell epulis



Забарвлення гематоксиліном і еозином

Окраска гематоксилином и эозином

Staining with hematoxylin and eosin

Побудований зі сполучної тканини, з великою кількістю тонкостінних судин синусоїдного типу, з наявністю великих багатоядерних клітин типу остеокластів та дрібних одноклітинних клітин типу остеобластів. Наявні крововиливи, відкладення гемосидерину.

Образован из соединительной ткани, с большим количеством тонкостенных сосудов синусоидного типа, с наличием больших многоядерных клеток типа остеокластов и мелких одноклеточных клеток типа остеобластов. Наблюдаются кровоизлияния, отложения гемосидерина.

It is formed by connective tissue, with a large number of thin-walled sinusoidal vessels, with the presence of large multinucleated cells such as osteoclasts and small mononuclear cells such as osteoblasts. There are hemorrhages, deposits of hemosiderin.

Предметний показчик

Абсцес печінки	30
Аденокарцинома	51
Аденокарцинома матки	111
Аденокістозна пухлина (циліндрома)	126
Аденолімфома	132
Аденома тонкої кишки	50
Амілоїдоз нирки	11
Амілоїдоз селезінки	12
Ангіоматозний епуліс	138
Артеріосклеротичний нефросклероз	81
Астроцитома	75
Атеросклеротична бляшка	80
Атрофія підшлункової залози	119
Аутоімунний тиреоїдит	120
Базаліома (базально-клітинний рак)	59
Блакитний невус	70
Бородавчастий ендокардит	86
Бронхоектази та пневмосклероз	104
Бронхопневмонія	102
Будова стінки хронічної виразки шлунка із загостренням (велике збільшення)	95
Будова стінки хронічної виразки шлунка із загостренням (мале збільшення)	94
Бура індурація легень	15,16,17
Вапняні метастази у міокарді (метастатичне звапніння)	14
Вовчаковий нефрит	87
Вторинно-зморщена нирка внаслідок хронічного гломерулонефриту	90
Вузковий силікоз	106
Гіаліноз артерій та білих тіл у яєчнику	10
Гіаліноз капсули селезінки	9
Гіаліново-крапельна дистрофія печінки	6
Гігантоклітинна пневмонія	108

Гігантоклітинний епуліс	139
Гігантські клітини Пирогова–Лангханса	35
Гігантські клітини сторонніх тіл	34
Гідропічна дистрофія нирки	5
Гідропічна дистрофія печінки	4
Гіпертрофія міокарда	82
Глибокий карієс зуба	133
Гліобластома	73
Гломус-ангіома	68
Гнійний лептоменінгіт	31
Гнійний остеомієліт щелепи	136
Гострий гнійний дифузний пульпіт	135
Гострий некротичний гастрит	92
Гострокінцева кондилома	40
Грануляційна тканина	43
Грипозна бронхопневмонія	107
Дерматофіброма	61
Дифтеритичний коліт при дизентерії	99
Доброякісна вузлова гіперплазія передміхурової залози	112
Емболічний гнійний нефрит	116
Ехінококоз печінки	41
Жирова дистрофія печінки	7,8
Жирова емболія судин легені	26,27
Залозистий поліп	39
Залозисто-кістозна гіперплазія ендометрію	42
Зміни дентинних каналців при середньому карієсі	134
Змішана пухлина слинної залози	131
Змішаний невус	69
Інфаркт легені	22
Інфаркт міокарда	83
Інфаркт нирки	21
Каблучкоподібний рак шлунку	58
Кавернозна гемангіома печінки	67
Канцероматоз перикарду	54

Капілярна гемангіома	66
Кардіосклероз	44,45
Кістогранульома	127
Колоїдний зоб	118
Крововилив в наднирник	109
Крововиливи у головний мозок	24
Крупновогнищевий кардіосклероз	84
Крупозна пневмонія (стадія сірої гепатизації)	103
Лейкемічна інфільтрація печінки при гострому лейкозі	77
Лейоміома тіла матки	62,63
Лімфогранулематоз	78
Мезангіокапілярний гломерулонефрит	88
Меланома	72
Менінгіома	74
Метаплазія слизової оболонки бронху	46
Метастаз залозистого раку у лімфатичний вузол	53
Мікробна емболія судин нирки	28
Мукоепідермоїдна пухлина	125
«Мускатна» печінка	25
Набряк легень	23
Неврилемома (шванома)	76
Невус з балоноподібних клітин	71
Некроз епітелію каналців нирки	19
Некроз лімфовузла при туберкульозі	20
Несправжня ерозія шийки матки (ендоцервікоз)	110
Остеома	65
Панкреонекроз	18
Папілома	47
Перехідноклітинний рак сечового міхура	55
Периневральні метастази	52
Печінка при обтураційній жовтяниці	13
Плоскоклітинний зроговілий рак	48
Плоскоклітинний незроговілий рак	49
Поліморфноклітинна саркома	64

Портальний цироз печінки	97
Проміжний міокардит	33
Радикулярна кіста	128
Ревматична гранульома	85
Світлоклітинний (гіпернефроїдний) рак нирки	60
Сифілітична гранульома (гума)	36
Складена одонтома	124
Склеромна гранульома	38
Скір	57
Слизовий рак	56
Тромб з явищами організації та каналізації	29
Трубна вагітність	115
Туберкульозна гранульома	37
Фібринозний перикардит	32
Фібroadенома молочної залози	113
Фібозна дисплазія нижньої щелепи	123
Фіброзний епуліс	137
Флегмонозний аппендицит	100
Фолікулярна амелобластома	121
Хвороба гіалінових мембран	117
Хвороба (синдром) Шегрена	130
Холестатичний гепатит	96
Хоріонепітеліома	114
Хронічна обструктивна емфізема легень	105
Хронічний апендицит	101
Хронічний атрофічний гастрит з перебудовою слизової оболонки	93
Хронічний пієлонефрит («щитоподібна нирка»)	91
Хронічний сіалоаденіт	129
Цементома	122
Цироз печінки	98
Швидкопрогресуючий гломерулонефрит	89

Предметный указатель

Абсцесс печени	30
Аденокарцинома	51
Аденокарцинома матки	111
Аденокистозна опухоль (цилиндрома)	126
Аденолимфома	132
Аденома тонкой кишки	50
Амилоидоз почки	11
Амилоидоз селезінки	12
Ангиоматозный эпюлис	138
Артериолосклеротический нефросклероз	81
Астроцитоме	75
Атеросклеротическая бляшка	80
Атрофия поджелудочной железы	119
Аутоиммунный тиреоидит	120
Базалиома (базально-клеточный рак)	59
Болезнь гиалиновых мембран	117
Болезнь (синдром) Шегрена	130
Бородавчатый эндокардит	86
Бронхопневмония	102
Бронхоэктазы и пневмосклероз	104
Бурая индукция легких	15,16,17
Быстро прогрессирующий гломерулонефрит	89
Волчаночный нефрит	87
Вторично-сморщенная почка в результате хронического гломерулонефрита	90
Гиалиново-капельная дистрофия печени	6
Гиалиноз артерий и белых тел в яичнике	10
Гиалиноз капсулы селезінки	9
Гигантоклеточная пневмония	108
Гигантоклеточный эпюлис	139
Гигантские клетки инородных тел	34
Гигантские клетки Пирогова–Лангханса	35
Гидропическая дистрофия печени	4
Гидропическая дистрофия почки	5
Гипертрофия миокарда	82

Глиобластома	73
Гломус-ангиома	68
Глубокий кариес зуба	133
Гнойный лептоменингит	31
Голубой невус	70
Грануляционная ткань	43
Гриппозная бронхопневмония	107
Дерматофиброма	61
Дифтеритический колит при дизентерии	99
Доброкачественная узловая гиперплазия предстательной железы	112
Железистый полип	39
Железисто-кистозная гиперплазия эндометрия	42
Жировая дистрофия печени	7,8
Жировая эмболия сосудов легкого	26,27
Известковые метастазы в миокарде (метастатическое обызвествление)	14
Изменения дентинных канальцев при среднем кариесе	134
Инфаркт легкого	22
Инфаркт миокарда	83
Инфаркт почки	21
Кавернозная гемангиома печени	67
Канцероматоз перикарда	54
Капиллярная гемангиома	66
Кардиосклероз	44, 45
Кистогранулема	127
Коллоидный зуб	118
Кровоизлияние в надпочечник	109
Кровоизлияния в мозг	24
Крупноочаговый кардиосклероз	84
Крупозная пневмония (стадия серой гепатизации)	103
Лейкемическая инфильтрация печени при остром лейкозе	77
Лейомиома тела матки	62,63
Лимфогранулематоз	78

Межуточный миокардит	33
Мезангиокапиллярный гломерулонефрит	88
Меланома	72
Менингиома	74
Метаплазия слизистой оболочки бронха	46
Метастаз железистого рака в лимфатический узел	53
Микробная эмболия сосудов почки	28
Мукоэпидермоидная опухоль	125
«Мускатная» печень	25
Невус из балоновидных клеток	71
Неврилеммома (шваннома)	76
Некроз лимфоузла при туберкулезе	20
Некроз эпителия канальцев почки	19
Остроконечная кондилома	40
Отек легких	23
Остеома	65
Острый гнойный диффузный пульпит	135
Острый некротический гастрит	92
Гнойный остеомиелит челюсти	136
Панкреонекроз	18
Папиллома	47
Переходноклеточный рак мочевого пузыря	55
Перинеуральные метастазы	52
Перстневидноклеточный рак желудка	58
Печень при обтурационной желтухе	13
Плоскоклеточный неороговевающий рак	49
Плоскоклеточный ороговевающий рак	48
Полиморфноклеточная саркома	64
Портальный цирроз печени	97
Псевдоэрозия шейки матки (эндоцервикоз)	110
Радикулярная киста	128
Ревматическая гранулема	85
Светлоклеточный (гипернефроидный) рак почки	60
Сифилитическая гранулема (гумма)	36
Скирр	57
Склеромная гранулема	38

Слизистый рак	56
Смешанная опухоль слюнной железы	131
Смешанный невус	69
Составная одонтома	124
Строение стенки хронической язвы желудка с обострением (большое увеличение)	95
Строение стенки хронической язвы желудка с обострением (малое увеличение)	94
Тромб с явлениями организации и канализации	29
Трубная беременность	115
Туберкулезная гранулема	37
Узелковый силикоз	106
Фибринозный перикардит	32
Фиброаденома молочной железы	113
Фиброзная дисплазия нижней челюсти	123
Фиброзный эпюлис	137
Флегмонозный аппендицит	100
Фолликулярная амелобластома	121
Холестатический гепатит	96
Хорионэпителиома	114
Хроническая обструктивная эмфизема легких	105
Хронический аппендицит	101
Хронический атрофический гастрит с перестройкой слизистой оболочки	93
Хронический пиелонефрит («щитовидная почка»)	91
Хронический сиалоаденит	129
Цементома	122
Цирроз печени	98
Эмболический гнойный нефрит	116
Эхинококкоз печени	41

Subject index

Abscess of liver	30
Acute necrotizing gastritis	92
Acute purulent diffuse pulpitis	135
Adenocarcinoma	51
Adenocarcinoma of the uterus	111
Adenolymphoma	132
Adenomatous polypus	39
Amyloidosis of the kidney	11
Amyloidosis of the spleen	12
Angiomatous epulis	138
Arteriolosclerotic nephrosclerosis	81
Astrocytoma	75
Atherosclerotic plaque	80
Autoimmune thyroiditis	120
Basaloma (basal cell carcinoma)	59
Benign prostatic nodular hyperplasia	112
Blue nevus	70
Bronchiectasis and pneumosclerosis	104
Bronchopneumonia	102
Brown induration of the lung	15,16,17
Capillary hemangioma	66
Calcium metastases in the myocardium (metastatic calcification)	14
Cardiosclerosis	44,45
Cavernous hemangioma of the liver	67
Cementoma	122
Changes in dentinal tubules in middle caries	134
Cholestatic hepatitis	96
Chorionepithelioma	114
Chronic appendicitis	101
Chronic atrophic gastritis with restructuring of the mucosa	93
Chronic obstructive pulmonary emphysema	105
Chronic pyelonephritis ("thyroid kidney")	91
Chronic sialadenitis	129

Cirrhosis of the liver	98
Colloid goiter	118
Compound odontoma	124
Croupous pneumonia (stage of gray hepatization)	103
Cylinder adenoma (cylindroma)	126
Cystic granuloma	127
Deep tooth caries	133
Dermatofibroma	61
Diphtheric colitis with dysentery	99
Disease of hyaline membranes	117
Disease (syndrome) Sjogren	130
Echinococcosis of the liver	41
Embolic purulent nephritis	116
Fatty degeneration of the liver	7,8
Fat embolism of lung vessels	26,27
Fibrinous pericarditis	32
Fibroadenoma of the breast	113
Fibrous dysplasia of the lower jaw	123
Fibrous epulis	137
Follicular ameloblastoma	121
Giant cell epulis	139
Giant Cell Pneumonia	108
Giant cells of foreign bodies	34
Giant Pirogov-Langhans cells	35
Glandular cystic endometrial hyperplasia	42
Glyoblastoma	73
Glomus-angioma	68
Granulating tissue	43
Hemorrhages in the brain	24
Hemorrhage in the adrenal gland	109
Hyaline-droplet dystrophy of the liver	6
Hyalinosis of arteries and white bodies in the ovary	10
Hyalinosis of the spleen's capsule	9
Hydropic dystrophy of the kidney	5
Hydropic dystrophy of the liver	4
Hypertrophy of the myocardium	82

Influenza bronchopneumonia	107
Interstitial myocarditis	33
Keratinizing squamous cell carcinoma	48
Kidney infarction	21
Large-scale cardiosclerosis	84
Leiomyoma of the uterus body	62,63
Leukemia infiltration of liver in acute leukemia	77
Light-cell (hyper-nephritic) kidney cancer	60
Liver with obstructive jaundice	13
Lung infarction	22
Lupus nephritis	87
Lymphogranulomatosis	78
Melanoma	72
Meningioma	74
Mesangiocapillary glomerulonephritis	88
Metaplasia of the bronchial mucosa	46
Metastasis of adenocarcinoma in the lymph node	53
Microbial embolism of kidney vessels	28
Mixed nevus	69
Mixed tumor of the salivary gland	131
Mucoepidermoid tumor	125
Mucus cancer	56
Myocardial infarction	83
Necrosis of the epithelium of the kidney's tubules	19
Necrosis of the lymph node in tuberculosis	20
Neurilemoma (Schwannoma)	76
Nevus from balloon cells	71
Nodal silicosis	106
Nonkeratinizing squamous cell carcinoma	49
Nutmeg liver	25
Osteoma	65
Pancreatic atrophy	119
Pancreatic necrosis	18
Papilloma	47
Pericardial carcinomatosis	54
Perineural metastases	52

Phlegmonous appendicitis	100
Tubarial pregnancy	115
Pointed condyloma	40
Polymorphocellular sarcoma	64
Portal cirrhosis of the liver	97
Pseudo-erosion of the cervix (endocervicosis)	110
Pulmonary edema	23
Purulent leptomeningitis	31
Purulent osteomyelitis of the jaw	136
Radicular cyst	128
Rapidly progressive glomerulonephritis	89
Rheumatic granuloma	85
Ring-cell carcinoma of the stomach	58
Scirrhou cancer	57
Scleroma granuloma	38
Secondary-wrinkled kidney as a result of chronic glomerulonephritis	90
Small intestine adenoma	50
Syphilitic granuloma (gum)	36
	95
The structure of the wall of chronic gastric ulcer with exacerbation (small magnification)	94
Thrombus with the phenomena of organization and canalization	29
Transitional cell carcinoma of the bladder	55
Tuberculosis granuloma	37
Warty endocarditis	86